



NOSITEL  
VYZNAMENÁNÍ  
ZA BRANOU  
VÝCHOVU  
I. A II. STUPNĚ

## ŘADA PRO KONSTRUKTÉRY

### ČASOPIS PRO ELEKTRONIKU

### A AMATÉRSKÉ VYSÍLÁNÍ

ROČNÍK XXXV/1986 • • ČÍSLO 4

#### V TOMTO SEŠITĚ

Vynálezy a zlepšovací návrhy .....	121
<b>ZAJÍMAVÁ A PRAKTICKÁ ZAPOJENÍ</b>	
Měřicí technika a dílenství pomůcky	
Přesný digitální měřicí kapacity .....	122
Poznámky k stavbě .....	126
Digitální měřicí kapacity .....	128
Měřicí kapacit - přípravek k DVM .....	130
Jednoduchý měřicí kapacit .....	132
Měřicí kapacit s ICL7106 .....	132
Měřicí relativní vlhkosti .....	134
Měření teploty .....	134
Digitální teploměr .....	137
Digitální otáčkoměr PLL .....	138
Logická sonda s CMOS .....	139
Impulsní generátor .....	140
Nové zapojení generátoru funkci .....	141
Výhody zapojení .....	143
Nízkofrekvenční rozmitá .....	143
Navijáček s regulaci a digitálním počítadlem .....	145
Elektroskop s tranzistory .....	146
<b>Indikátory, spínače, časovací zařízení</b>	
Časový spínač s až 100 minut .....	146
Digitální signální hodiny .....	146
Indikátor kolání síťového napětí .....	150
Indikátor změny napětí .....	150
Elektronické zapalování zářivek .....	151
Buzení digitronů a fluorescenčních displejů z C520D .....	152
Přesný termostat .....	152
Bezkontaktní regulátor teploty .....	154
<b>Video a nf technika</b>	
Přepínač videosignálů .....	154
Videoinvertor .....	154
Mixážní zařízení pro videorekordéry .....	156
TV modulátor .....	156
Elektronická výhybka .....	157
Zesilovače PMD .....	158
<b>Dopríkly pro motorová vozidla</b> .....	159

## VYNÁLEZY A ZLEPŠOVACÍ NÁVRHY

V souvislosti s nutností pracovat zcela jinak při přechodu z extenzivního na intenzivní způsob hospodaření a výroby vyvstává do popředí i nutnost rozvoje vynálezců a zlepšovatelské činnosti. Abychom si mohli utvářit představu o přenosu vynálezů a zlepšovatelů pro naše národní hospodářství, je vhodné uvést několik čísel. Problematikou a přínosem vynálezců a zlepšovatelství se v Technických novinách široce zabýval Dr. Andrej Henkef, předseda komise ÚR ČSVTS pro vynálezců a zlepšovatelství, který uvádí, že celkový společenský prospěch z realizovaných vynálezů, zlepšovacích návrhů a průmyslových vzorů byl za dobu 7. pětiletky 55 miliard korun (oproti plánovaným 45 miliardám). Z uvedených čísel je zřejmé, že přínos této činnosti je značný a významně pomáhá jak při výrobě plnění plánu podniků, tak i probojovat nové cesty při výrobě a její přípravě.

Na začátku 7. pětiletky bylo v plánu vytvořit takové podmínky, aby se více než 10 % zaměstnanců, pracujících v organizacích, účastnilo na vynálezeckém a zlepšovatelském hnutí. Při hodnocení výsledků 7. pětiletky se ukázalo, že všude tam, kde vedoucí hospodářští pracovníci vytvořili pro vynálezce a zlepšovatele alespoň základní podmínky, se na technické tvořivé práci podílelo skutečně více než 10 % pracovníků, celostátní průměr je však mnohem nižší. Na vině nejsou ovšem jen vedoucí hospodářští pracovníci, někdy celou věc komplikují i sami zlepšovatelé a vynálezci, kteří se neorientují na řešení nejdůležitějších úkolů, nesprávně zpracovávají přihlášky zlepšovacích návrhů atd.

Přetrvávajícím nedostatkem je i nedostatečné využívání výsledků tvořivé technické činnosti, ať již vynálezů, zlepšovacích námětů a návrhů i průmyslových vzorů. V celostátním průměru se totiž ukazuje, že pouze asi kolem 50 % výsledků tvořivé činnosti pracujících se realizuje v plném rozsahu. To má kromě uvedeného i mnohé jiné důvody, někdy i malou informovanost vynálezů a zlepšovatelů o úrovni světové techniky v tom či onom oboru. Přitom v některých oblastech techniky jde vývoj ve světě tak rychle dopředu, že jen soustavným studiem co největšího množství zahraničních pramenů a rychlou realizací získaných poznatků lze se udržet nebo dostat na současnou světovou úroveň.

Při hodnocení výsledků 7. pětiletky proto komise ÚR ČSVTS zdůraznila, že je třeba, aby příslušní pracovníci v organizacích si vzali za povinnost informovat vynálezce a zlepšovatele o světové technice, poskytovat jim příslušnou literaturu v přijatelné formě, tj. v překladech tak, aby z ní bylo možno čerpat poznatky pro další tvořivou technickou činnost. V této souvislosti je také třeba využít všech možností komplexních racionalizačních brigád, brigád socialistické práce i společenských organizací, zejména ČSVTS, SSM, Svařarmu.

V 8. pětiletce, v níž se počítá se zvýšením společenského přínosu vynálezecké-

ho a zlepšovatelského hnutí na 70 miliard korun, je třeba učinit organizační, technická a jiná opatření tak, aby byl úkol splněn, aby se hnutí vynálezů a zlepšovatelů dále rozšiřovalo a aby se zkvalitnily vynálezy i zlepšovací návrhy tak, aby jich bylo možno realizovat mnohem více než dosavadní asi 50 %. Po zvážení všech nedostatků a rezerv je zřejmé, že se musí klást důraz předeším na jakost a rychlou realizaci vynálezů a zlepšovacích návrhů. Splitit požadavek jakosti znamená kromě jiného poskytovat pracovníkům již vzpomenuté moderní a komplexní informace o špičkových výrobcích a technologiích, materiálních atd. Proto nestačí jako dosud jednou ročně pořádat aktivity vynálezů a zlepšovatelů, ale je třeba je soustavně vzdělávat a učit. Také dosavadní způsob školení o právních a ekonomických otázkách je třeba z větší míry nahradit či vystřídat školením o technické tvorivosti. Přitom tato školení nemohou být jen věcí útvarů pro vynálezy a zlepšovací návrhy, ale do vzdělání se musí zapojit také útvary vědeckotechnických informací, které soustředí technickou literaturu a rozšiřují poznatky. Navíc je třeba orientovat se na mládež, nový způsob práce s vynálezci a zlepšovateli spočívá i v nutnosti, pracovat s předem vytípovanými pracovníky, kteří mají smysl pro tvořivou činnost, zprvu je při práci vést a postupně je přivádět k samostatnému řešení čím dál tím složitějších a náročnějších úkolů.

Vzhledem k tomu, že v 8. pětiletce má být podle plánu přijato a předeším realizováno alespoň 60 % podaných zlepšovacích návrhů, bude třeba dát vynálezům a zlepšovatelům i materiál a prostředky, které umožní urychlit realizaci zlepšovacích návrhů a vynálezů, a bude třeba zainteresovat je i hmotně (odměnami) na účasti při zkoušení a zavádění vynálezů a zlepšovacích návrhů do praxe.

Mnohem větší celkový přínos z vynálezů a zlepšovacích návrhů by jistě přineslo i to, kdyby byly osvědčené vynálezy a zlepšovací návrhy mnohem více rozšířovány mezi podniky a závody jednoho koncernu, popř. i mezi podniky a závody koncernu s příbuznou výrobou. Nezanedbatelná je i otázka mezinárodní spolupráce, spočívající v tomto případě v lepší a důslednější dělbě práce mezi jednotlivými zeměmi RVHP.

Skromným příspěvkem redakce AR k tvůrčí činnosti amatérů i profesionálů jsou právě ta čísla AR řady B s obsahem, podobným obsahu tohoto čísla. Při přípravě Zajímavých a praktických zapojení není cílem redakce pouze uveřejnit taková zapojení, v nichž by se pouhou náhradou zahraničních obvodů dosáhlo stejných výsledků jako v originálních zapojeních, ale předeším ukázat na přístroje a zapojení, která přinášejí něco nového, ať již po stránce elektrického zapojení, mechanického řešení nebo použití mo-

#### AMATÉRSKÉ RÁDIO ŘADA B

Vydává ÚV Svazarmu ve vydavatelství NAŠE VOJSKO, Vladislavova 26, 133 66 Praha 1, tel. 26 06 51-7. Šéfredaktor Ing. Jan Klaba, Redakční radu řídí Ing. J. T. Hyán. Redaktor L. Kalousek, OKIFAC. Redakce Jungmannova 24, 113 66 Praha 1, tel. 26 06 51-7, šéfredaktor linka 354, redaktor linka 353, sekretářka linka 355. Ročně vydeje 6 čísel. Cena výtisku 5 Kčs; poštěná předplatné 15 Kčs. Rozšíření PNS, v jednotkách ozbrojených sil vydavatelství NAŠE VOJSKO, administrace Vladislavova 26, Praha 1. Objednávky přijímá každá pošta i doručovatel. Objednávky do zahraničí vyřizuje PNS, ústřední expedice a doružení tisku, závod 01, Káfkova 9, 160 00 Praha 6. Tiskne NAŠE VOJSKO, n. p., závod 08, 160 05 Praha 6, Vlastina ulice č. 889/23. Za původnost a správnost příspěvku odpovídá autor. Návštěvy v redakci a telefonické dotazy po 14. hodině. Číslo indexu 46 044.

Toto číslo má výtisk podle plánu 9. 8. 1986.

© Vydavatelství NAŠE VOJSKO.

derních součástek. Pak již jen závisí na realizátoruvi zapojení nebo přístroje, aby využil s použitím našich součástek těch částí zapojení nebo přístroje, které umožní např. zlepšit funkci třeba i stávajících přístrojů, ušetřit energii, materiál, součástky apod.

V neposlední řadě je i zřejmé, že při dnešním rozšíření elektroniky do všech

oblastí života společnosti není možné ani účelné, aby nás průmysl dovázel nebo vyráběl součástky a přístroje, které jsou jednoúčelové nebo slouží jen malému okruhu lidí, je však užitečné poskytovat v časopise takové podklady a informace, aby si zájemci mohli postavit výlučná zařízení, pokud je potřebují a využijí. I takové informace a přístroje jsou obsa-

hem Zajímavých a praktických zapojení.

A především... Nejde o to, je třeba znova zdůraznit, bezduše kopirovat zahraniční zapojení, ale pracovat s nimi tvořivě, promyšleně a se znalostí věci – tak by bylo třeba přistupovat i k obsahu tohoto čísla AR řady B pro konstruktéry.

L.K.

# ZAJÍMAVÁ A PRAKTIČKÁ ZAPOJENÍ

**Ing. Josef Ludvík**

**Co psát úvodem? O rychlém rozvoji elektroniky? O množství nových integrovaných obvodů, které se téměř každodenně objevují v publikovaných zapojeních, o nichž nelze dlouho sehnat potřebné údaje? O nemožnosti, jak tyto obvody nahradit obvody, které lze u nás sehnat? Každý zná tuto situaci a v té či oné podobě se s ní setkal, stejně jako s nedostatkem (někdy přechodným, někdy trvalým) některých součástek na našem trhu. Ze je třeba probrat doslova haldy zahraničních časopisů, než se najde námět, který by bylo možno v našich podmínkách realizovat? To je také notoricky známá skutečnost. A tak nezbývá než se pustit do popisu vybraných zapojení s tím, že čtenář pochopí situaci autora a jeho snahu přinést něco, co „tady ještě nebylo“ a to často i za cenu složitosti nebo momentální nerealizovatelnosti z běžně dostupných součástek.**

## Měřicí technika a dílencké pomůcky

### Přesný digitální měřič kapacity do 1 $\mu\text{F}$

Popsaný přístroj pracuje na odlišném principu, než většina dosud popsaných podobných přístrojů, měří náboj kondenzátoru. Využívá se velkou rozlišovací schopnosti (zlomky  $\mu\text{F}$ ), dobrou linearietou a stabilitou. Lze na něm měřit nejen jednotlivé kondenzátory, ale i rozdíl kapacit dvou kondenzátorů. Měřený kondenzátor může být připojen i přívodech, dlouhými až 2 m, přived neovlivňuje výsledek měření.

#### Některé technické údaje

Princip měření:	měření náboje.
Třída přesnosti:	asi 0,2.
Doba ustálení:	asi 10 minut.
Rozsah indikace:	-99 až 999.
Ss napětí na měřeném kondenzátoru:	asi 3,6 V.
Rozsah pracovních teplot:	+10 až +40 °C.
Teplotní součinitel nuly na rozsahu 9,99 $\mu\text{F}$ :	$\leq 0,005 \text{ \%}/\text{K}$ .
nuly na ostatních rozsazích:	$0,001 \text{ \%}/\text{K}$ ,
nuly při měření na přívodech:	$0,05 \text{ \%}/\text{K}$ ,
max. kapacity:	$0,015 \text{ \%}/\text{K}$ .

Princip zapojení je schematicky na obr. 1. Přístroj se skládá z řídící části (tranzistory  $T_8$ ,  $T_9$ ,  $T_{10}$ ), přepínače (tranzistory  $T_{3,1}$  až  $T_{3,5}$ ), vyhodnocovací části ( $IO_2$ ,  $T_4$ ) a číslicového voltmetu (na obrázku není zakreslen).

Pro funkce přepínací části jsou nutná řídící napětí  $U_{s1}$  a  $U_{s2}$ , odvozená od stabilního oscilátoru. Při tom je nutné dodržet podmínu:  $U_{s1} - U_{s2} = 0$ , aby sériově zapojené tranzistory  $T_{3,1}$  a  $T_{3,2}$ , popř.  $T_{3,5}$  a  $T_{3,4}$  nevedly současně. V první polovině přepínací periody jsou  $T_a$  a  $T_b$  zavřeny a  $T_c$  vede. Zdroj proudu  $I_{s3}$  je v této době zkratován tranzistorem  $T_c$ .  $T_{3,1}$  a  $T_{3,5}$  jsou uzavřeny. Zdroje proudu  $I_{s1}$  a  $I_{s2}$  napájejí báze tranzistorů  $T_{3,2}$  a  $T_{3,4}$ , které jsou otevřeny, to vede k úplnému vybití kondenzátorů připojených k  $X_1$  až  $X_4$ . Ve druhé polovině periody vedou  $T_a$  a  $T_b$ ,  $T_c$  je uzavřen. Pak teče proud  $I_{s3}$  do bází  $T_{3,1}$  a  $T_{3,5}$ . Kondenzátory  $C_x$ ,  $C_{10/12}$  a  $C_{11/17}$  jsou nabité proudem, jehož velikost je dána proudem  $I_{s3}$  a zesilovacím činitelem tranzistorů. Přímým připojením bází obou tranzistorů je

zajištěn časově shodný průběh zvětšování napětí na všech kondenzátořech.

Napětí se přestane zvětšovat v okamžiku, kdy napětí na kolektoru  $T_{3,2}$  je větší než  $U_{ref} + U_{D3}$ . Dioda  $D_3$  se otevře a blokuje tak další zvětšování napětí na bázích  $T_{3,1}$  a  $T_{3,5}$  a tedy i další nabíjení připojených kondenzátorů.

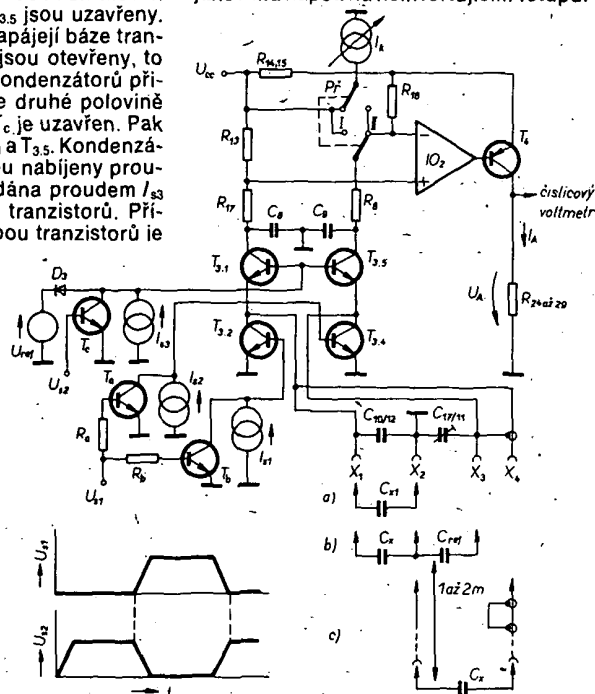
Náboj potřebný k nabítí kondenzátorů je odebrán z  $C_8$  a  $C_9$ , a podle rovnice

$$Q = CU$$

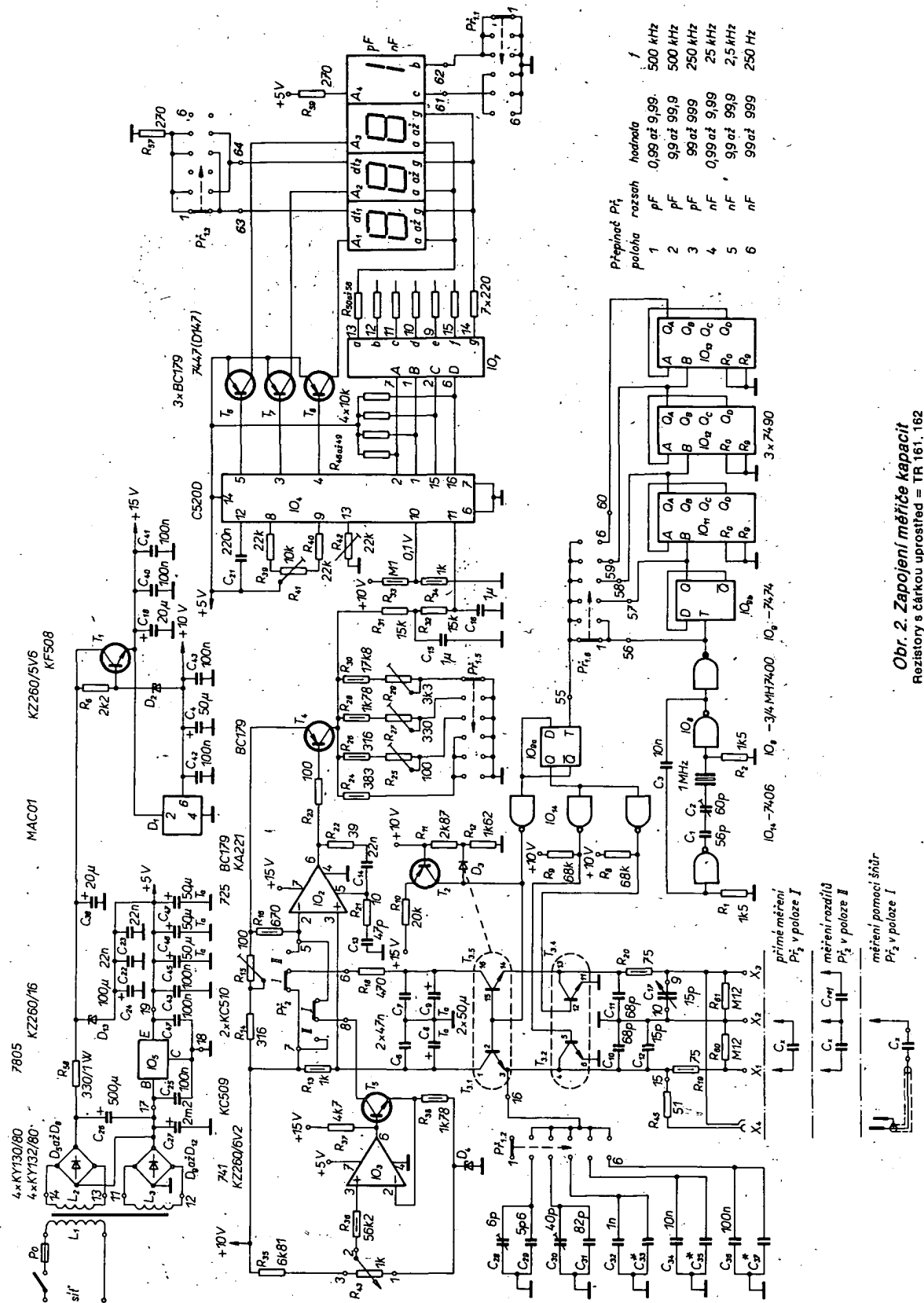
je závislý na maximálním nabíjecím napětí, v našem případě  $U_{ref}$  a kapacitách kondenzátorů, nikoli však na průběhu nabíjecího napětí. Energie, odebraná z  $C_8$  a  $C_9$  je nahrazena přes rezistory  $R_{17}$  a  $R_{18}$  ze zdroje  $U_{cc}$ . Je-li  $C_8 \gg C_{10/12} + C_x$  a  $C_9 \gg C_{11/17}$ , jsou proudy

$$\begin{aligned} I_{R17} &= f(C_{10-12} + C_x) U_{ref} \\ I_{R18} &= f C_{11-17} U_{ref}. \end{aligned}$$

Vyhodnocovací část s operačním zesilovačem  $IO_2$  vyhodnocuje rozdíl těchto proudů. Úbytek napětí na  $R_{13}$  úměrný proudu  $/R_{17}$  zmenšuje napětí na neinvertujícím vstupu  $IO_2$ . Je-li úbytek na  $R_{14/15} + R_{16}$ , daný proudem  $/R_{18}$ , menší než úbytek na  $R_{13}$ , otevří  $IO_2$  tranzistor  $T_4$  tak, až přidavný proud tekoucí rezistorem  $R_{14/15}$  a tranzistorem  $T_4$  posune napětí na invertujícím vstupu na stejnou velikost, jakou má napětí na neinvertujícím vstupu.



Obr. 1. Princip zapojení měřiče kapacit



Obr. 2. Zapojení měřiče kapacit  
Rezistory s čárkou uprostřed = TR 161, 162

Výpočtem lze stanovit  $f_m$ :

$$I_m = I_{R17} \frac{R_{13}}{R_{14/15}} - I_{R18} \left(1 + \frac{R_{16}}{R_{14/15}}\right).$$

Za podmínky  $R_{13} = R_{14/15} + R_{16}$  a dosazováním do vzorců vyjde

$$I_m = \frac{R_{13}}{R_{14/15}} U_{ref} (C_{x1} C_{10'/12} - C_{16/17}).$$

Zvolené napětí s dvojitým provedením přepínačního obvodu a diferenciálním vy-

hodnocením má přednost v tom, že proudy, působené parazitními kapacitami, se navzájem ruší. Optimálního výsledku a dobré stability nuly dosáhneme použitím spináčích tranzistorů  $T_3$  ve společném pouzdro a těsnou tépendlovou vazbou s  $D_1$ .

pouzdro a tesnou teplinou vazebou s  $D_3$ . Další-výhodou tohoto zapojení je možnost měření rozdílu kapacit. Podle poslední rovnice je  $\frac{1}{m}$  úměrný rozdílu kapacit  $C_x - C_{rel}$ . Kondenzátor  $C_{17}$  slouží v obou způsobech měření ke kompenzaci externích parazitních kapacit. Jeho základní kapacita je upravena kondenzátorem  $C_{12}$ .

Další možností je měřit kapacity na nepřístupných místech. Přepnutím přepínače do polohy I je větev  $R_{18}$ ,  $T_{3.5}$ ,  $T_{3.4}$  napájena přímo ze zdroje  $U_{cc}$ . K nastavení nuly, to znamená ke kompenzaci  $C_{10/12}$  a montážních kapacit je nutné zavést do invertujícího vstupu  $IO_2$  proud přímo z řízeného zdroje. Tím se sice zhorší stabilita.

B/4  
86 Amatérské RÁDIO

nuly na 0,05 %/K, ale získá se možnost měřit pomocí měřicích šnúr. K nulování (svorka  $X_2$ ) použijeme běžnou laboratorní šnúru. Měřený kondenzátor připojíme na svorku  $X_1$  stíněným vodičem, jeho stínění je připojeno na  $X_3$ . Pro zjednodušení je pro tento vodič použita svorka  $X_4$ . Na svorce  $X_3$  – tedy na stínění – je napětí vyrazené měřicí větve. Protože paralelním spojením bází  $T_{3,1}$  a  $T_{3,5}$  se mění napětí na  $X_1$  a  $X_3$  souhlasně, není mezi nimi – tedy mezi vnitřním vodičem a stíněním žádný potenciálový rozdíl a tedy ani žádný náboj. Vnitřní drát stíněného vodiče slouží výhradně k přivádění náboje do měřeného kondenzátoru.

Realizované zapojení přístroje je na obr. 2. Řidící napětí získáme z krystalového oscilátoru 1 MHz a z připojených děličů. Jednotlivé signály různých kmitočtů z děličů přepínáme  $P_{1,6}$  a  $P_{1,4}$  a přivádíme je na řidici část, složenou z děliče  $IO_{9a}$  (1:2) a hradel  $IO_{14}$ . Klíčovací poměr je 0,5, takže nabíjecí a vybijecí časy jsou zcela shodné.

Tranzistory  $T_a$ ,  $T_b$  a  $T_c$  podle obr. 1 jsou realizovány hradly  $IO_{14}$  (7406), tranzistory  $T_3$  jsou ve společném pouzdře po dvou (KC510). Řidící proudy pro  $T_{3,2}$  a  $T_{3,4}$  jsou odebrány z vnitřního zdroje 10 V přes  $R_8$  a  $R_9$ . Pro horní dvojici tranzistorů ( $T_{3,1}$  a  $T_{3,5}$ ) je proudovým zdrojem  $T_2$ . Vyhodnocovací část je osazena k dosažení lepší teplotní stability operačním zesilovačem MAA725. Pro nastavení přesného rozdílového napětí slouží  $R_{15}$ . Výstupní napětí je na kolektoru  $T_4$  jako úbytek na rezistorech  $R_{24}$  až  $R_{30}$ . Konstantní napětí je získáno ze zdroje referenčního napětí MAC01. Původně byl místo MAC01 použit operační zesilovač, ukázalo se však, že je zbytečný a byl vynechán, proto není na obr. 2  $IO_1$  zakreslen.  $T_1$  pracuje jako omezovač proudu pro celou analogovou část tak, aby zkraty na svorkách  $X_1$  až  $X_4$  nemohly poškodit tranzistory  $T_3$ . Tranzistor  $T_1$  současně dává z emitoru napětí 15 V pro napájení operačních zesilovačů.

V číslicovém voltmetu je použit obvod C520D. Přepustí  $R_{31}$ ,  $C_{15}$ ,  $R_{32}$ ,  $C_{16}$  jsou potlačeny vlivy rušivých napětí, které se mohou vyskytnout hlavně na rozsahu 999 nF. Zobrazení výsledku je třímístné, čtvrtá číslice, která byla použita, indikuje rozsah pF (segment b) a nF (segment C). K obvodu C520D – ekvivalent AD2020 Analog Devices – patří dekodér 9374 Fairchild, s použitým dekodérem 7447 nebo D147 je nezvyklé zobrazení přetížení a znaménka minus [Ja].

K přepínání desetičinných teček je použit přepínač  $P_{1,3}$  pro indikaci rozsahů  $P_{1,1}$ . Abysto bylo možno využít možnosti obvodu C520D indikovat záporné hodnoty až -99 pro měření záporných rozdílů a pro snazší nastavení nuly je vstup pro  $C_x$  ( $X_1$ ) „zatižen“ kondenzátory  $C_{28}$  až  $C_{37}$ . Ty mají kapacitu 1/10 konečné kapacity příslušného rozsahu. Tyto kondenzátory mají být kvalitní s minimální teplotní a časovou závislostí. Kapacity kondenzátorů přesné nastavíme paralelním (sériovým) spojením kondenzátorů tak, aby napětí na kolektoru  $T_4$  bylo 100 mV na všech rozsazích. Děličem  $R_{33}$ ,  $R_{34}$  získáme rovněž 100 mV na vstupu 10  $IO_4$ , takže napětí na diferenčních vstupech 10 a 11 bude právě nulové. Obvod C520D má sice možnost nastavení nuly na vstupech 8 a 9, ale rozdílná velikost odporů rezistorů vzhledem k napájecímu napětí zmenšuje teplotní stabilitu nuly.

V původním článku autor rozebírá ne-přesnosti, které vyplývají z použitého

principu měření a naměřené výsledky linearity. Pro zlepšení jsou vstupy zatíženy kondenzátory  $C_{10}$ ,  $C_{11}$  asi 68 pF. Dalšího zlepšení bylo dosaženo sériovým zařazením rezistorů 75  $\Omega$  do přívodů  $X_1$  a  $X_3$ .  $R_{60}$  a  $R_{61}$  zlepšují linearitu v rozsazích nanofarad. Z naměřených výsledků vyplývá, že nejkritičtější je rozsah 999 pF, kde křivka odchylek protiná nulu při  $C_x = 750$  pF. Tato kapacita je tedy nutná pro nastavování. Podobně to platí i pro rozsah 999 nF. Při měření šnúrami je podle impedance stíněného vodiče možné, že bude nutné nastavit odpor rezistoru  $R_{45}$  rovněž při  $C_x = 750$  pF na rozsahu 999 pF.

### Stavba přístroje

Přístroj je postaven na deskách s plošnými spoji podle obr. 3, vnitřní a vnější vzhled přístroje jsou na obr. 4 a 5. Kontrolujeme napájecí napětí 10 V, 15 V a 5 V. Jestliže pracuje i digitální voltmetr a přístroj reaguje na změnu kapacit na vstupních svorkách při  $P_{1,2}$  v poloze I (měření se šnúrami), po deseti minutách můžeme přistoupit k nastavení.

Kmitočet oscilátoru nastavíme trimrem  $C_2$  a na svorkách  $X_1$ ,  $X_2$  na rozsahu 9,99 pF musíme naměřit signál o kmitočtu 500 kHz. Uplně přesné nastavení není důležité, ale bude výhodné tehdy, když chceme mít po ruce pro jiná měření přesný, kalibrovaný kmitočet, a to na úrovni TTL. Některé krystaly mají snažku kmitat na harmonických nebo nekmitat vůbec, v tomto případě obvod upravíme změnou kapacity kondenzátoru  $C_1$  (jejím zvětšením až desetkrát), příp. zvětšením  $R_2$  na 2,2 k $\Omega$ . V tabulce jsou správné kmitočty oscilátoru a děliče:

Poloha přepínače $P_{1,1}$	kmitočet
1, 2	1 MHz
3	500 kHz
4	50 kHz
5	5 kHz
6	500 Hz

Na výstupu z  $IO_{9a}$  má být signál polovičního uvedených kmitočtů – to je řídící kmitočet.

Při dosažení dobré stability je třeba ke stavbě použít někde rezistory TR 161 až 162. Nastavovači odpory jsou typu WK 67911, protože obvykle trimry se pro jemné nastavování nehodí. Jako sdružené tranzistory použijeme KC510 ( $T_{3,1}$  a  $T_{3,5}$ ,  $T_{3,2}$  a  $T_{3,4}$ ). Rychlá dioda  $D_3$  je připevněna nebo jinak tepelně vodivě spojena (silikonová vazeliná, „chladič“ vazeliná) s pouzdrem  $T_{3,1}$  +  $T_{3,5}$ . Kondenzátory  $C_8$  a  $C_9$  jsou tantalové. Otočný přepínač  $P_{1,2}$  je typu TS 121 do plošných spojů a má 6 poloh.  $P_{1,2}$  je miniaturní posuvný přepínač, který je připevněn na čelní desku. Kondenzátor  $C_{17}$  je také na čelní desce, má kapacitu 2 až 15 pF, nejlepší je vzdutový, miniaturní.  $R_3$  by měl být několikatotáckový Aripot, ale ten je nedostupný a proto byl z nouze použit WK 67911 na opěrné desce připevněn na čelním panelu, ovladatelný šroubovákem. Transformátor je „na zeleze“ M17:  $L_1$  má 3000 z o Ø 0,14 mm,  $L_2$  má 270 z o Ø 0,14 mm,  $L_3$  má 110 z o Ø 0,6 mm..

Při nastavování potřebujeme přesné kondenzátory pro každý rozsah (asi 75 % max. kapacity, tedy 7,5 pF, 75 pF, 750 pF, 7500 pF, 75 nF a 750 nF, 750 nF potřebujeme dva. Na  $IO_4$  (který je lépe dávat do objímky) měříme napětí 100 mV číslicovým voltmetrem.

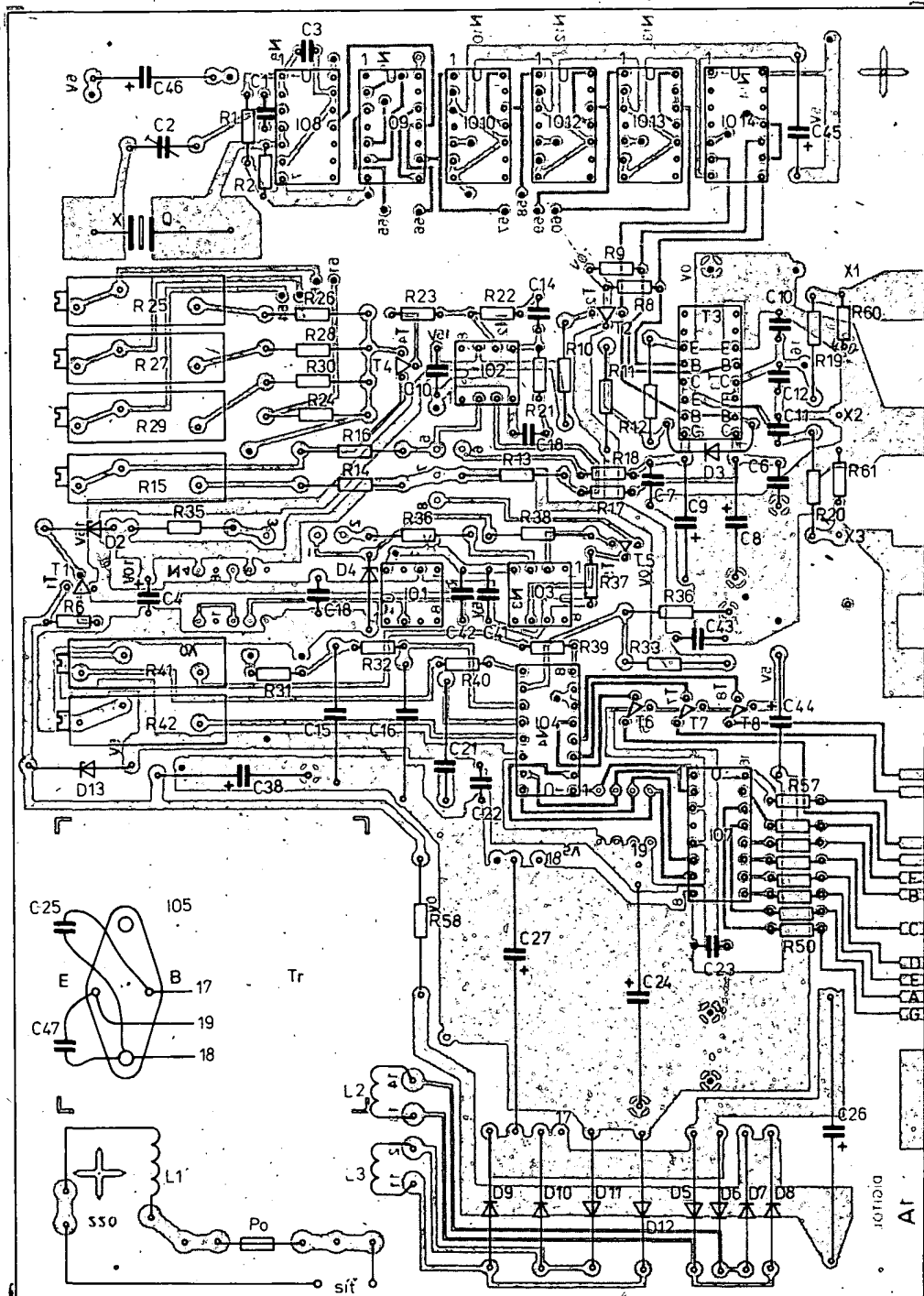
Plně přesnosti dosáhneme až po 10 minutách zahřátí, po zapnutí můžeme ovšem měřit ihned, nevadí-li odchylka asi 1 až 3 %. Na rozsazích nF je měření bez problémů. Poté se vyskytuje předešlý u rozsahu 9,99 pF, kde se uplatňuje i vliv kapacit přívodů, naši ruky apod. Proto je výhodné udělat si přípravek, který natravilo zasuneme do svorek, do něhož můžeme kondenzátory uchytit u „kořene“ jejich vývodů. Rozsah 9,99 pF není určen pro měření pomocí šnúr, protože se uplatňuje i vliv jejich polohy a nastavení nuly je obtížné.

Diferenční měření je výhodné pro měření odchylek od normálu. Referenční

### Postup nastavování

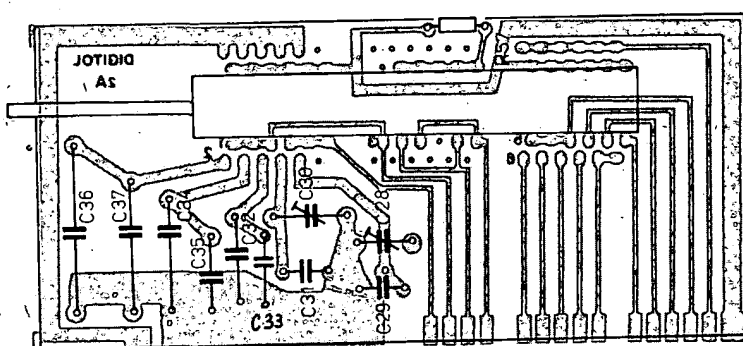
Při seřizování je přepínač  $P_{1,2}$  v poloze II – přímé a diferenční měření

Rozsah $P_{1,1}$	Na vstup. svorkách	Nastavíme pomocí na displeji
999 nF	$C_x = C_{ref} = 0$	$R_{41} : 000$
999 nF	$C_x = 750$ nF, $C_{ref} = 0$	$R_{42}$ : kapacita $C_x$
999 nF	$C_x = 750$ nF, $C_{ref} = 750$ nF	přečteme údaj na displeji ( $h_1$ )
999 nF	vyměníme $C_x$ s $C_{ref}$	přečteme údaj na displeji ( $h_2$ )
999 nF	ponecháme	vypočteme: $0,5(h_1-h_2)$ a výsledek pomocí $R_{15}$ nastavíme na displeji
999 nF	$C_x = 750$ nF, $C_{ref} = 0$	$R_{42}$ : kapacita $C_x$
999 nF	všechny postupy od začátku opakujeme, až výsledky jsou správné a při změně $C_x$ a $C_{ref}$ zůstávají stejné	
Seřízení nuly		
9,99 pF	$C_x = C_{ref} = 0$ , $R_{17}$ ve střední poloze	změnou kondenzátoru mezi měřicími svorkami přibl.: 000
9,99 pF	$C_x = C_{ref} = 0$	$C_{17} : 000$
99,9 pF	$C_x = C_{ref} = 0$	$C_{28} : 000$
999 pF	$C_x = C_{ref} = 0$	$C_{30} : 000$
9,99 nF až 99,9 nF	$C_x = C_{ref} = 0$	$C_{32}$ , popř. $C_{34} : 000$
Seřízení horní meze rozsahů		
9,99 pF	$C_x = 7,5$ pF, $C_{ref} = 0$	$R_{29}$ : kapacita $C_x$
99,9 pF	$C_x = 75$ pF, $C_{ref} = 0$	$R_{27}$ : kapacita $C_x$
999 pF	$C_x = 750$ pF, $C_{ref} = 0$	$R_{25}$ : kapacita $C_x$
	kontrolujeme obdobně v rozsazích nF	
Měření šnúrami		
999 pF	$C_x = 750$ pF	kontrola, popř. nastavení $R_{45}$



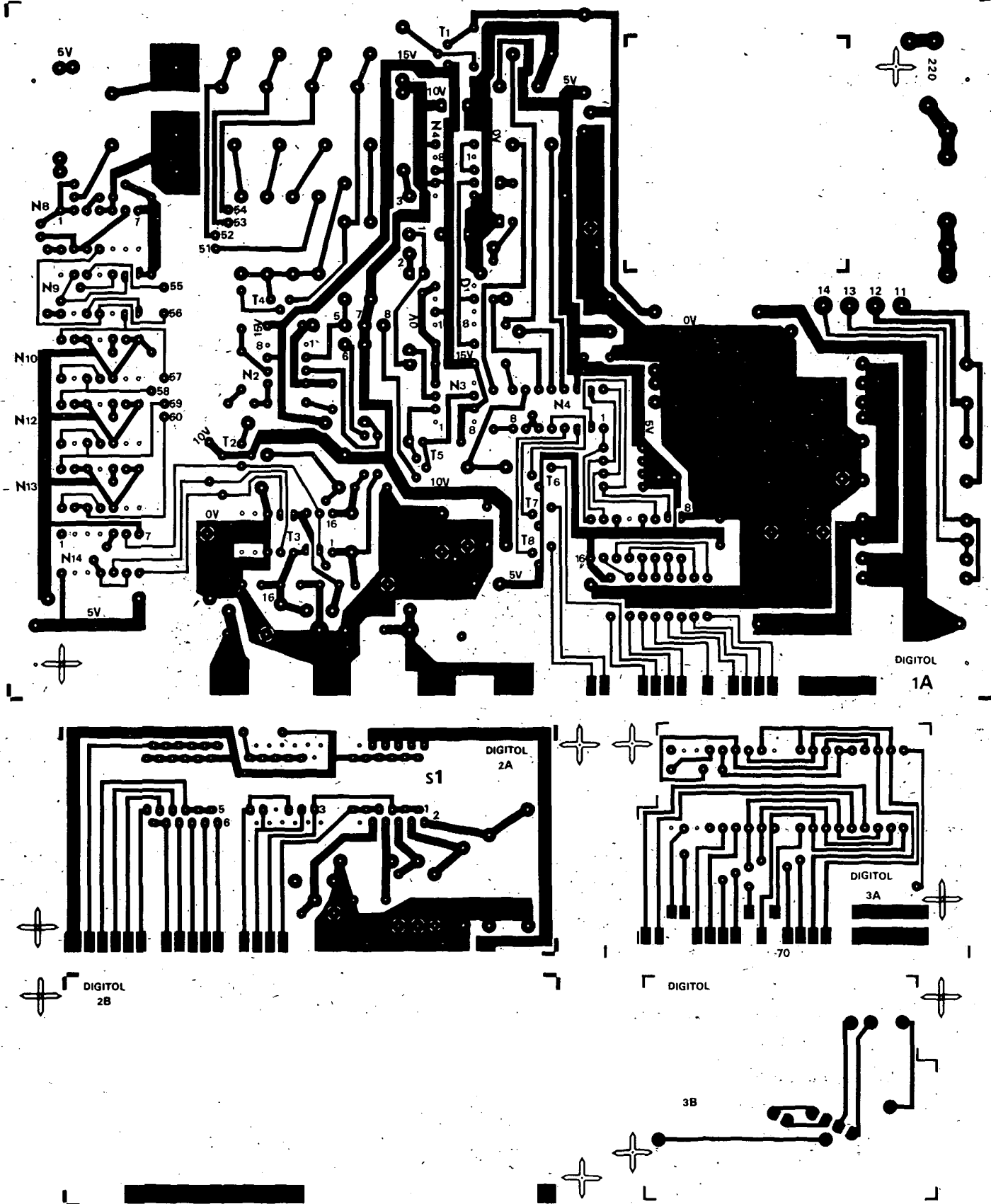
propojovací drát nebo nýtek

Osazené desky s plošnými spoji měříce kapacit, nahoře základní deska, dole deska přepínače Př. Třetí deska (viz další strana) je určena pro zobrazovače VQE24 (VQE14) z NDR



kondenzátor zapojíme na svorky  $X_2$ ,  $X_3$  ( $C_{ref}$ ) a měřený na svorky  $X_1$  –  $X_2$  ( $C_x$ ). Přístroj ukáže odchylku od kapacity referenčního – normálového – kondenzátoru, buď kladným nebo záporným číslem. Důležité je, aby kapacity kondenzátorů nepřekročily příliš horní mez nastaveného rozsahu, protože by se mohlo uplatnit rozdíl v linearitě obou měřicích větví. Nezapomeňme také, že záporná maximální indikace je 99.

Spokojíme-li se s přesností menší než 0,5 %, pak připojením  $C_{ref} = 1$ , 2 nebo 3  $\mu\text{F}$  obdržíme měřicí rozsahy 1 až 2, 2 až 3 a 3 až 4  $\mu\text{F}$ . Můžeme měřit i větší kapacity – měříme pak sériové zapojení kondenzátoru menší známé kapacity a kondenzátor neznámé kapacity a tu určíme výpočtem. Radio Fernsehen Elektronik č. 2-3/1985

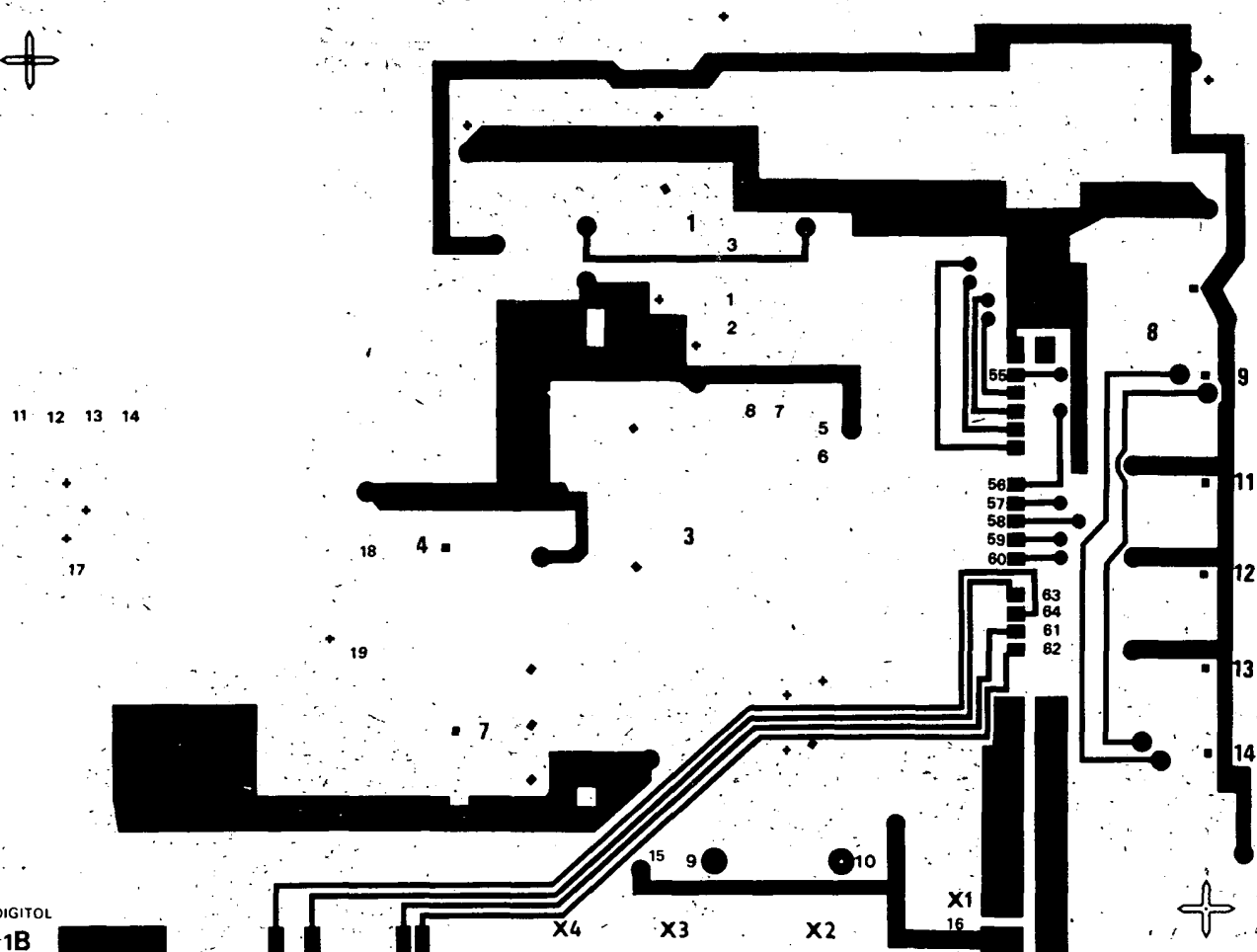


Obr. 3. Desky s plošnými spoji měřiče kapacit (deska U224, U225, U226)

#### Poznámky ke stavbě

Protože se jedná o poměrně přesný měřicí přístroj, bude třeba použít většinou stabilní odpory, jak jsou uvedeny v seznam-

mu součástek, a některé bude třeba i skládat. Některá pořadová čísla nejsou obsazena, tato čísla nejsou uvedena ani v seznamu součástek. O vynechání IO, již byla zmínka v textu.



Původně byl použit displej Siemens HA21321 (dvojitý), ale deska s plošnými spoji je navržena pro dvojici číselic z NDR, která se prodává u nás VQE14 (24). Základní deska s plošnými spoji je oboustranná. Na předním okraji jsou pájecí plošky pro kolmé upevnění desky s displejem, v pravé polovině základní desky jsou rovněž pájecí plošky pro připájení kolmé desky s přepínacím rozsahů a normálovými kondenzátory. Na základní desce jsou označeny body, které je třeba propojit s druhou stranou desky kouskem drátu pájením. Vývody součástek nikde nejsou propojkami, které by bylo třeba pájet i na straně součástek.

Zapojení je vyzkoušené, jsou v provozu dva přístroje, které pracují velmi uspokojivě.

#### Seznam součástek

##### Kondenzátory

C <sub>1</sub>	56 pF, keram.
C <sub>2</sub>	trimax. 60 pF
C <sub>3</sub>	10 nF, keram.
C <sub>4</sub>	TE 004, 50 µF
C <sub>6</sub> , C <sub>7</sub>	47 nF, keram.
C <sub>8</sub> , C <sub>9</sub>	TE 152, 50 µF
C <sub>10</sub> , C <sub>11</sub>	68 pF, keram.
C <sub>12</sub>	15 pF, keram.
C <sub>13</sub>	47 pF, keram.
C <sub>14</sub>	22 nF, keram.
C <sub>15</sub> , C <sub>16</sub>	TC 215, 1 µF
C <sub>17</sub>	otočný kondenzátor na panelu
C <sub>18</sub>	TE 004, 50 µF
C <sub>21</sub>	TC 215, 0,22 µF
C <sub>22</sub> , C <sub>23</sub>	100 nF, keram.
C <sub>24</sub>	TE 982, 100 µF

C <sub>25</sub>	100 nF, keram.
C <sub>26</sub>	TE 986, 500 µF
C <sub>27</sub>	TE 673, 2200 µF
C <sub>28</sub>	keram. trimr 6 pF
C <sub>29</sub>	5,6 pF, keram.
C <sub>30</sub>	keram. trimr 40 pF
C <sub>31</sub>	82 pF, keram.
C <sub>32</sub> , C <sub>33</sub>	1 nF, svítek + dopln.
C <sub>34</sub> , C <sub>35</sub>	10 nF, svítek + dopln.
C <sub>36</sub> , C <sub>37</sub>	100 nF, svítek + dopln.
C <sub>38</sub>	TE 986, 20 µF
C <sub>40</sub>	100 nF, keram.
C <sub>41</sub> , C <sub>42</sub> , C <sub>43</sub>	100 nF, keram.
C <sub>44</sub> , C <sub>45</sub> , C <sub>46</sub>	TE 152, 50 µF
C <sub>47</sub>	100 nF, keram.

##### Rezistory

R <sub>1</sub> , R <sub>2</sub>	1,5 kΩ
R <sub>6</sub>	2,2 kΩ
R <sub>8</sub> , R <sub>9</sub>	68 kΩ
R <sub>10</sub>	20 kΩ, TR 161
R <sub>11</sub>	2,84 kΩ, TR 161
R <sub>12</sub>	1,62 kΩ, TR 161
R <sub>13</sub>	1 kΩ, TR 161
R <sub>14</sub>	316 Ω, TR 161
R <sub>15</sub>	100 Ω, WK 67911
R <sub>16</sub>	681 Ω, TR 161
R <sub>17</sub> , R <sub>18</sub>	470 Ω
R <sub>19</sub> , R <sub>20</sub>	75 Ω, TR 161
R <sub>21</sub>	10 Ω
R <sub>22</sub>	39 Ω
R <sub>23</sub>	100 Ω
R <sub>24</sub>	383 Ω, TR 161
R <sub>25</sub>	100 Ω, WK 67911
R <sub>26</sub>	316 Ω, TR 161
R <sub>27</sub>	330 Ω, WK 67911
R <sub>28</sub>	1,78 kΩ, TR 161
R <sub>29</sub>	3,3 kΩ, WK 67911
R <sub>30</sub>	17,8 kΩ, TR 161

R <sub>31</sub> , R <sub>32</sub>	15 kΩ
R <sub>33</sub>	100 kΩ, TR 161
R <sub>34</sub>	1 kΩ, TR 161
R <sub>35</sub>	6,81 kΩ, TR 161
R <sub>36</sub>	56,2 kΩ, TR 161
R <sub>37</sub>	4,7 kΩ
R <sub>38</sub> , R <sub>40</sub>	1,78 kΩ, TR 161
R <sub>39</sub>	22 kΩ
R <sub>41</sub>	10 kΩ, WK 67911
R <sub>42</sub>	22 kΩ, WK 67911
R <sub>43</sub>	1 kΩ, potenciometr
R <sub>44</sub>	51 Ω
R <sub>46</sub> až R <sub>49</sub>	10 kΩ
R <sub>50</sub> až R <sub>56</sub>	220 Ω
R <sub>57</sub> , R <sub>59</sub>	270 Ω
R <sub>58</sub>	330 Ω, 1 W
R <sub>60</sub> , R <sub>61</sub>	120 kΩ
R <sub>43</sub>	– několikaotáčkový, příp. WK 67911 připevněn na panel

##### Diody

D <sub>1</sub>	MAC01
D <sub>2</sub>	KZ260/5V6
D <sub>3</sub>	KA206
D <sub>4</sub>	KZ260/6V2
D <sub>5</sub> až D <sub>8</sub>	KY130/80
D <sub>9</sub> až D <sub>12</sub>	KY132/80
D <sub>13</sub>	KZ260/16

Obr. 4. Přesný digitální měřič kapacity do 1 µF (2. str. obálky)

Obr. 5. Vnitřní uspořádání měřiče kapacit (2. str. obálky)

Položidové součástky diskrétní i IO

T <sub>1</sub>	KF508
T <sub>2</sub>	BC179
T <sub>3.1</sub> + T <sub>3.5</sub>	KC510
T <sub>3.2</sub> + T <sub>3.4</sub>	KC510
T <sub>4</sub>	BC179
T <sub>5</sub>	KC509
T <sub>6</sub> až T <sub>8</sub>	BC179
IO <sub>2</sub>	MAA725
IO <sub>3</sub>	MAA741
IO <sub>4</sub>	C520D
IO <sub>5</sub>	MAA7805
IO <sub>7</sub>	D147C (D146C)
IO <sub>8</sub>	MH7400
IO <sub>9</sub>	MH7474
IO <sub>11</sub> až IO <sub>13</sub>	MH7490
IO <sub>14</sub>	UCY7406N

### Digitální měřič kapacity s rozsahem od 1 pF do 10 000 μF (10 mF)

Měření kapacit podle obr. 6 je založeno na měření času, potřebného pro nabítí kondenzátoru C<sub>x</sub> přes odporník R<sub>1</sub> na napětí 2/3 U<sub>s</sub>. Potřebný čas se měří klasicky čítacem, přičemž vhodnou volbou R<sub>1</sub> a kmitočtu lze dosáhnout toho, že údaj na displeji udává přímo kapacitu měřeného kondenzátoru.

Přístroj se skládá z vlastního měřicího obvodu, zdroje přesného kmitočtu, čítace s displejem a s řídící logiky. Měřicí obvod využívá všech dobrých vlastností časovače 555.

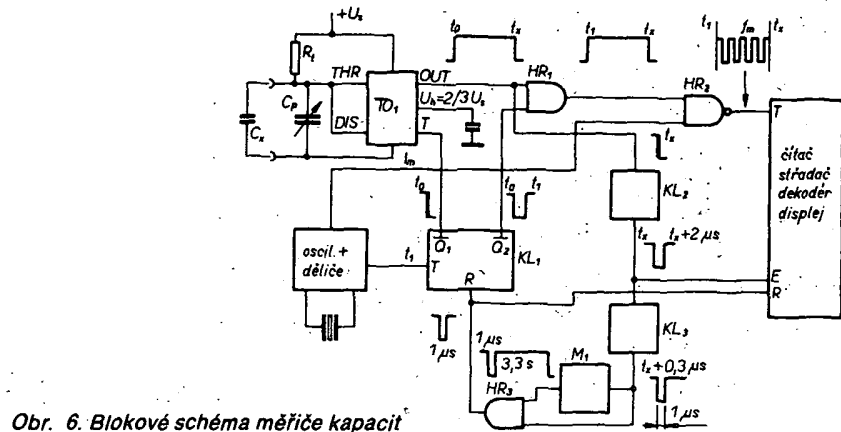
Aby bylo možno vykompenzovat vliv parazitních kapacit a případných přívodů, vstup je stále zatištěn kondenzátorem C<sub>p</sub> a začátek měření je posunut o jeho kapacitu.

Při popisu funkce měřicího přístroje vycházíme podle obr. 6 od okamžiku, kdy je měřicí obvod TO<sub>1</sub> spuštěn sestupnou hranou impulsu z klopového obvodu KL. Vnitřní vybíjecí tranzistor (vývod DIS) obvodu TO<sub>1</sub> (555) se zavírá, kondenzátory C<sub>x</sub> a C<sub>p</sub> se začínají nabíjet přes R<sub>1</sub> ze zdroje U<sub>s</sub> podle rovnice:

$$t = (-\ln 1 - \frac{U_h}{U_s})R(C_x + C_p)$$

a výstup OUT přechází do logického stavu H. Protože výstup Q<sub>2</sub> přešel na úroveň L, na hradlo HR<sub>1</sub> je úroveň L a hradlo HR<sub>2</sub> je nepropustné pro signál o kmitočtu f<sub>m</sub>. Po uplynutí doby t<sub>1</sub>, odvozené od kmitočtu f<sub>1</sub>, odpovídající kapacitě C<sub>p</sub>, se uvede výstup Q<sub>2</sub> KL<sub>1</sub> do stavu H, hradlo HR<sub>1</sub> na H a začíná propouštět signál o kmitočtu f<sub>m</sub> z oscilátoru a děliče do čítace. Zatím se zvětšuje stále napětí na vstupu THR IO<sub>1</sub>, až dosáhne úrovni 2/3 U<sub>s</sub>. V tom okamžiku (t<sub>2</sub>) vnitřní komparátor 555 překlopí jeho výstup do stavu L, otevře se vybíjecí tranzistor, který rychle vyboje C<sub>x</sub> a C<sub>p</sub>. (V definativní verzi hotového přístroje byly přidány tranzistory T<sub>3</sub> a T<sub>4</sub>, aby velké náboje kondenzátorů velkých kapacit mohly být rychle vybité.) Na výstupu 555 je stav L, hradlo HR<sub>1</sub> také přechází do stejněho stavu a hradlo HR<sub>2</sub> ukončí plnění čítace.

Sestupnou hranou výstupního signálu je spuštěn klopový obvod KL<sub>2</sub>, který vyše záporný impuls na vstup E čítace, čímž se jeho obsah přenese do paměti a na displej. Tentýž impuls spustí i časovací obvod KL<sub>3</sub>, který se zpožděním asi 0,3 s vyše přes hradlo HR<sub>3</sub> nulovací impuls jednak do čítace a jednak do klopového obvodu



Obr. 6. Blokové schéma měřiče kapacit

KL<sub>2</sub>. Zpoždění 0,3 s je nutné proto, aby C<sub>x</sub> a C<sub>p</sub> měly dostatek času na vybití. Nulovací impuls současně přeruší a uvolní funkci multivibrátoru M<sub>1</sub>, který produkuje záporné impulsy s opakovacím kmitočtem asi 0,3 Hz, t = 3,3 s. Příchod nulovacího impulu přeruší běžící cyklus a jeho skončení spustí další a na jeho konci je, pokud dříve neprjde nový impuls z KL<sub>3</sub>, záporný impuls, který působí přes HR<sub>3</sub> jako nulovací pro KL<sub>1</sub> a čítací. Funkce tohoto multivibrátoru je nutná, protože po zapnutí v důsledku náhodných kombinací stavů u a někdy i při měření může dojít k situaci, že KL<sub>1</sub> zůstane trvale na úrovni H a měřicí cyklus je zastaven. V tomto případě se uplatní M<sub>1</sub>, který uvede nulovacím impulsem obvody do výchozího stavu. Opakovací kmitočet 0,3 Hz vychází z nejdélší doby měření, která je v našem případě 2,54 s.

Skutečné provedení přístroje je na obr. 7 a časový diagram na obr. 8.

Srdcem celého přístroje je časovač IO<sub>6</sub>, na jeho přesnosti spínání závisí přesnost měření. Podle údajů výrobce je tato přesnost lepší než 1 % a teplotní stabilita je pod 50 ppm/K v rozsahu 0 až 70 °C. Kritickým místem je velikost 2/3 U<sub>s</sub>, v našem případě 3,334 V. Toto napětí je dáno vnitřním odporovým děličem, ale je je možné i kompenzovat na vývodu 5. Kompenzační rezistory R<sub>1</sub> a R<sub>8</sub> by měly být stabilní, např. TR 161.

Odpor R<sub>1</sub> habijecích rezistorů vychází z času t<sub>1</sub>, který je dán zvoleným kmitočtem tak, aby číselný údaj displeje odpovídal přímo měřené kapacitě. Na rozsahu 9999 pF při kmitočtu 3,333 MHz (10 MHz : 3) jsou to 3 ms a tomu odpovídá

$$R_1 = \frac{t}{C_p(-\ln 1)} = \frac{U_h}{U_s} \cdot 0,9104 = 273,1 \text{ k}\Omega$$

Pro rozsah 999,9 nF je R<sub>1</sub> shodný, měřicí čas bude

$$t = RC(-\ln 1) = \frac{U_h}{U_s} = RC \cdot 1,098 = 0,3 \text{ s}$$

tomu odpovídá 33,33 kHz.

Pro rozsah 99,99 μF ponecháme kmitočet a změníme R<sub>1</sub> na 2,731 kΩ. Poslední rozsah 9999 μF bude mít kmitočet 3,333 kHz, tedy měřicí čas 3 s, z toho R<sub>1</sub> = 273,1 Ω. To je již skutečně hornímez jak pro habijecí, tak i pro vybíjecí proud tranzistorem T<sub>4</sub>. Rovněž strmost zvětšování napětí na interním komparátoru IO<sub>6</sub> je malá a může vést k chybám. Jednotlivé rezistory R<sub>1</sub> (R<sub>1</sub> → R<sub>6</sub>) musí být vybrány a nastaveny při cejchování. Spouštěcí impuls pro IO<sub>6</sub> získáme z klopového obvodu KL<sub>1</sub> (IO<sub>11-1</sub>) a signálem o kmitočtu

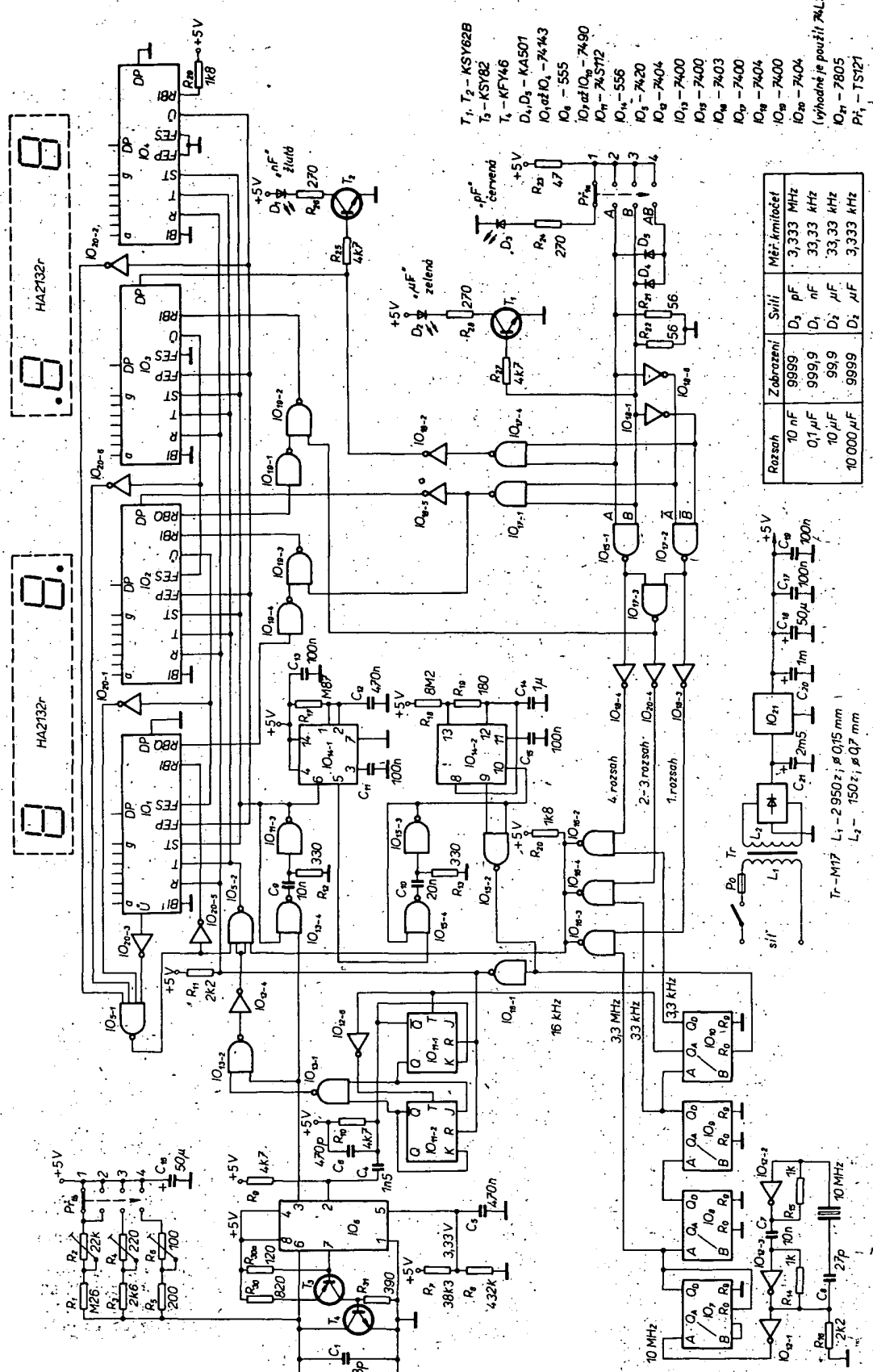
16 kHz je prostřednictvím hradla IO<sub>11-2</sub> a hradla IO<sub>13-1</sub> zajištěn začátek (IO<sub>13-2</sub>, IO<sub>12-4</sub>, IO<sub>5-2</sub>) přenosu počítacího signálu, zpoždění o 30 μs. Toto zpoždění (t<sub>0</sub> → t<sub>1</sub>) představuje na prvním rozsahu kapacitu 130 pF. Touto kapacitou je tedy zatížen vstup, aby údaj na displeji souhlasil s C<sub>x</sub>. Část této kapacity tvoří C<sub>1</sub>, a část nastavitelný C<sub>2</sub>. Při měření potom postupujeme tak, že zmenšou C<sub>2</sub> kompenzujeme případnou chybu nebo kapacitu přívodů a nastavíme na displeji nulu. Potom můžeme měřit. Tato kompenzace má význam jen na prvním rozsahu, na druhém je chyba zanedbatelná a na vyšších zcela bez významu.

Je třeba si uvědomit, že ztrátový činitel měřených kondenzátorů se uplatňuje nejvíce na začátku rozsahů, kdy se napětí zvětšuje strmě, a samozřejmě na nejnižším rozsahu. Kondenzátory s velkým svodem nebo sériovým odporem dávají zkreslené výsledky. Kondenzátory se svodem je vhodnější měřit na vyšších rozsazích, kde se při menším R<sub>1</sub> svod uplatní méně, naopak při sériovém odporu přesnější výsledky dostaneme na nižším rozsahu.

Výstup časovače IO<sub>6</sub> je přiveden na klopový obvod KL<sub>2</sub> (IO<sub>13-4</sub>, IO<sub>13-3</sub>, C<sub>9</sub>, R<sub>12</sub>). Na výstupu klopového obvodu je sestupnou hranou měřicího signálu vytvoren krátký záporný impuls, který slouží k převedení stavu čítace do paměti a na displej a rovněž ke spuštění zpoždovacího obvodu KL<sub>3</sub>, který je tvořen polovinou dvojitěho časovače IO<sub>14-1</sub> (556). Místo dvojitěho časovače 556 je možné použít dva jednoduché časovače 555. Klopový obvod vyšle kladný impuls asi 0,3 s (R<sub>17</sub>, C<sub>12</sub>), jeho týdeníkem hranou spustí klopový obvod IO<sub>15-4</sub>, IO<sub>15-3</sub>, C<sub>10</sub>, R<sub>13</sub>. Záporný impuls jednak přeruší činnost multivibrátoru M<sub>1</sub> a jednak přes hradlo IO<sub>15-2</sub> vynuluje poslední dělič zdroje kmitočtu, klopový obvod KL<sub>1</sub> (IO<sub>11-1</sub>, IO<sub>11-2</sub>) a čítací. Skončením tohoto impulsu → přechodem IO<sub>15-2</sub> na úroveň L → jsou uvedené obvody připraveny pro další činnost.

Zdrojem signálu přesného kmitočtu je krytalový oscilátor 10 MHz, na kterém je závislá přesnost měření. Za oscilátorem jsou čtyři děliče, první → IO<sub>7</sub> → dělič třemi, ostatní pak deseti. Poslední z čítaců je nulován tak, aby interval 30 μs (16,666 kHz) byl spuštěn shodně uvolněním klopového obvodu KL<sub>1</sub>. Jednotlivé signály jsou přivedeny na hradla s otevřeným kolektorem (IO<sub>16-3</sub>, IO<sub>16-4</sub> a IO<sub>16-2</sub>), které tvoří přepínač kmitočtů ovládaný přepínačem rozsahů.

Přepínač rozsahů → P<sub>1</sub> → jednou částí spíná R<sub>1</sub> až R<sub>6</sub> v měřicím obvodu a druhou části ovládá logiku, která řídí hradla přepínače kmitočtů (IO<sub>16-3</sub>, IO<sub>16-4</sub>, IO<sub>16-2</sub>), dalej spíná diody k indikaci rozsahů (pF, nF, μF), zapíná desetinné tečky a konečně



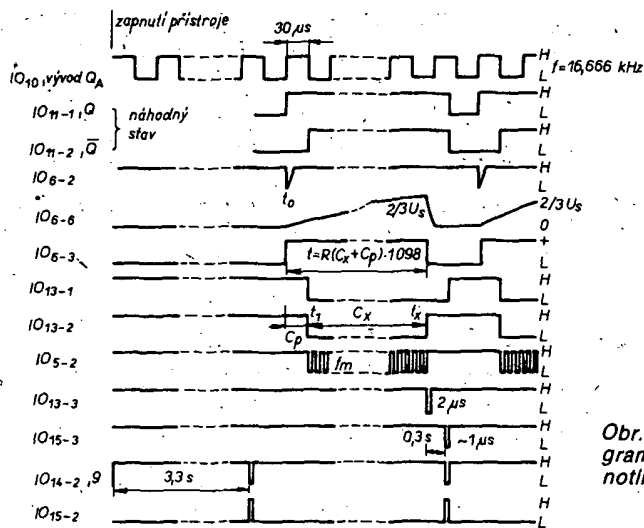
Obr. 7. Schéma zapojení měřítce kapacit

pomoci hradel  $IO_{19-1}$  až  $IO_{19-4}$  ovládá obvod pro potlačení přebytečných nul.

Cítač pracující v paralelním režimu byl sestaven z obvodů SN74143, což je desítkový čítač, paměť, dekodér pro LED s vnitřními odpory. Při naplnění čítače na 9999 se pomocí hradel  $IO_{20-3}$ ,  $IO_{20-1}$ ,  $IO_{20-6}$ ,  $IO_{20-2}$  a  $IO_{5-1}$  zablokuje v  $IO_{5-2}$  přenos hodinových impulsů do čítače, takže na displeji zůstanou devítka jako indikace přeplnění.

Protože obvody SN74143 nejsou běžně dostupné, je na obr. 9 modifikace z dostupných prvků 7490, 7475 a D146 (147). V obr. 8 jsou označeny návaznosti podle obr. 7, přičemž nové prvky nejsou číslovány. Zapojení je celkem běžné, pro indikaci

přeplnění je využit přechod výstupu  $Q_D$  poslední dekády z H na L, kterým se překlopí obvod D do stavu L a výstupem Q zablokuje čítačovou řadu ve stavu 9999. Tento stav ukončí příchod nulovacího impulu na vstup S.



Obr. 8. Časový diagram průběhu v jednotlivých bodech měřiče kapacit

Jak vyplývá z popisu funkce, pro přesnost celého zařízení jsou určující  $R_s, U_s, U_h$  a  $f_m$ , které se navzájem ovlivňují. Mimo to musíme vzít v úvahu ještě i vliv saturačního napětí vybíjecího tranzistoru a předpokládali jsme, že měřený kondenzátor se začínají nabíjet od nuly, ale to ve skutečnosti není pravda. Protože se jednotlivé impulsy navzájem ovlivňují, můžeme změnou jednoho kompenzovat chybu druhého.

Nejdůležitější je zajistit „tvrdé“ a stálé napájecí napětí  $U_s$ , zajistit vhodným děličem a pro krystalový oscilátor zajistit maximální stabilitu – potom připadné odchyly vyrovnat změnou  $R_s$ . Protože  $C_{14}$  i  $R_{18}$  mají velké tolerance, může se stát, že při měření na nejvyšších rozsazích spustí multivibrátor dříve, než skončí doba měření. Pak stačí  $C_{14}$  nebo  $R_{18}$  zvětšit tak, aby při měření kapacit větších než asi 12 000  $\mu F$  přístroj ukázal přeplnění.

Stavba měřiče kapacity je dost náročná práce. Podle obr. 7 byly postaveny dva identické přístroje, které jsou již sest let v provozu. Po zapnutí u obou naskočí nějaké náhodné – ale vždy stejně – číslo; asi po dvaceti sekundách se objeví nula, přístroj je připraven k měření. Případný posuv nuly u nejnižšího rozsahu vyrovnáme  $C_{12}$ . Při měření – to platí především u elektrolytických kondenzátorů – vlivem svodu se čísla mění, ale měření i v tom případě dosahuje přesnosti lepší než 2 %.

Přístroj byl postaven na oboustranné plátnové desce v délce 190 × 145 mm, displej byl na zvláštní desce (obr. 10 a 11). Vzhledem k tomu, že součástky – i pasivní – z velké části nebyly tuzemského původu a SN74143 je prakticky nedostupný, ne-považují otiskání nákresu desky s plošnými spoji za účelné.

Radio Electronics 9/1978

Obr. 10. Digitální měřič kapacit s rozsahem 1 až 10 000  $\mu F$  (2. str. obálky)

Obr. 11. Vnitřní uspořádání měřiče kapacit (2. str. obálky)

## Měřič kapacit – přípravek k 3 1/2místnému DVM

### Měřicí metoda

Měřicí metoda je na obr. 12. Neznámá kapacita  $C_x$  je určena měřením napětí na délci  $C_x/R_s$ . Zvolíme-li odpor  $R_s$  mnohonásobně menší než kapacitní odpor  $X_C$  pro střídavý proud, pak  $C_x$  bude

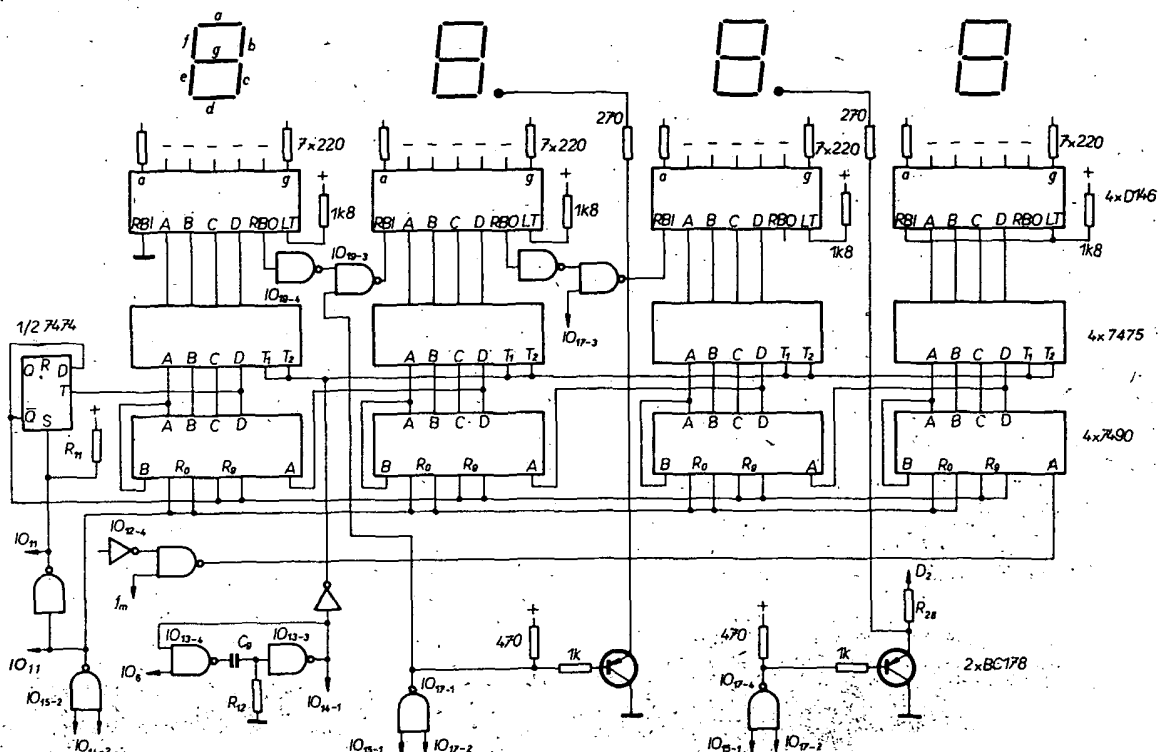
$$C_x = \frac{U_1/U}{2\pi f R_s}$$

kde  $U, f, R_s$  jsou známé a konstantní veličiny, takže jedinou proměnnou je  $U_1$ . Samozřejmě nechceme pracovat při měření kapacity s kalkulačkou, ale chceme kapacitu číst přímo.

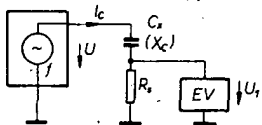
### Blokové schéma a princip činnosti

Na obr. 13 je blokové schéma zapojení, v němž je ještě navíc usměrňovač a digitální voltmetr. Generátor vyrábí napětí trojúhelníkovitého průběhu, které se přivádí na měřený kondenzátor zapojený v obvodu diferenciátoru. Na výstupu diferenciátoru se objevuje napětí pravoúhlého průběhu, jehož amplituda je měřítkem velikosti  $C_x$  (jako  $U_1$ ). Poté je tento signál usměrněn a změřen číslicovým voltmetrem.

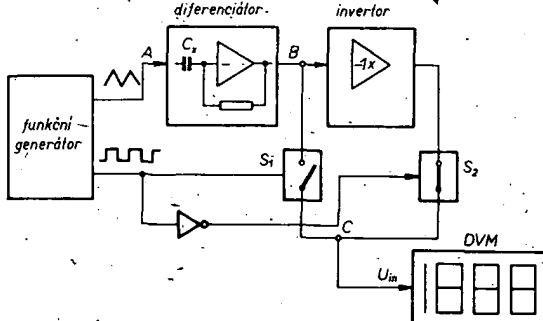
Usměrňovač je zapojen jako „fázově citlivý synchronní usměrňovač“, což značí sice komplikované, ale funkce je snadno pochopitelná. Signál pravoúhlého průběhu je přiváděn ve fázi na spínač  $S_1$  (nebo



Obr. 9. Uprava čítače pro měřic kapacit s našimi součástkami



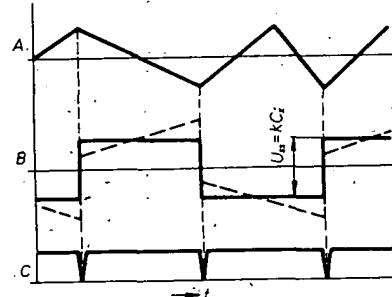
Obr. 12. Princip měřicí metody -



Obr. 13. Blokové schéma měřiče kapacit jako doplňku k DVM

invertovaný na  $S_2$ ). Spínače jsou řízeny (synchronně s napětím trojúhelníkovitého průběhu) tak, že spínají pouze kladné půlperiody napětí pravoúhlého průběhu. Signály ze spínačů se sčítají, takže dostáváme ss napětí.

Na obr. 14 jsou průběhy napětí v jednotlivých částech. Sešikmení signálu pravoúhlého průběhu nastává, protéká-li měřeným kondenzátorem zbytkový



Obr. 14. Průběhy napětí ve vybraných bodech.

proud. Tento proud nevstupuje do měření ze dvou důvodů. Předně zmizí vytvořením střední hodnoty – průběh C – a dále není vůbec usměrňovačem registrován – protože vůči napětí trojúhelníkovitého průběhu je posunut o  $90^\circ$ .

### Zapojení

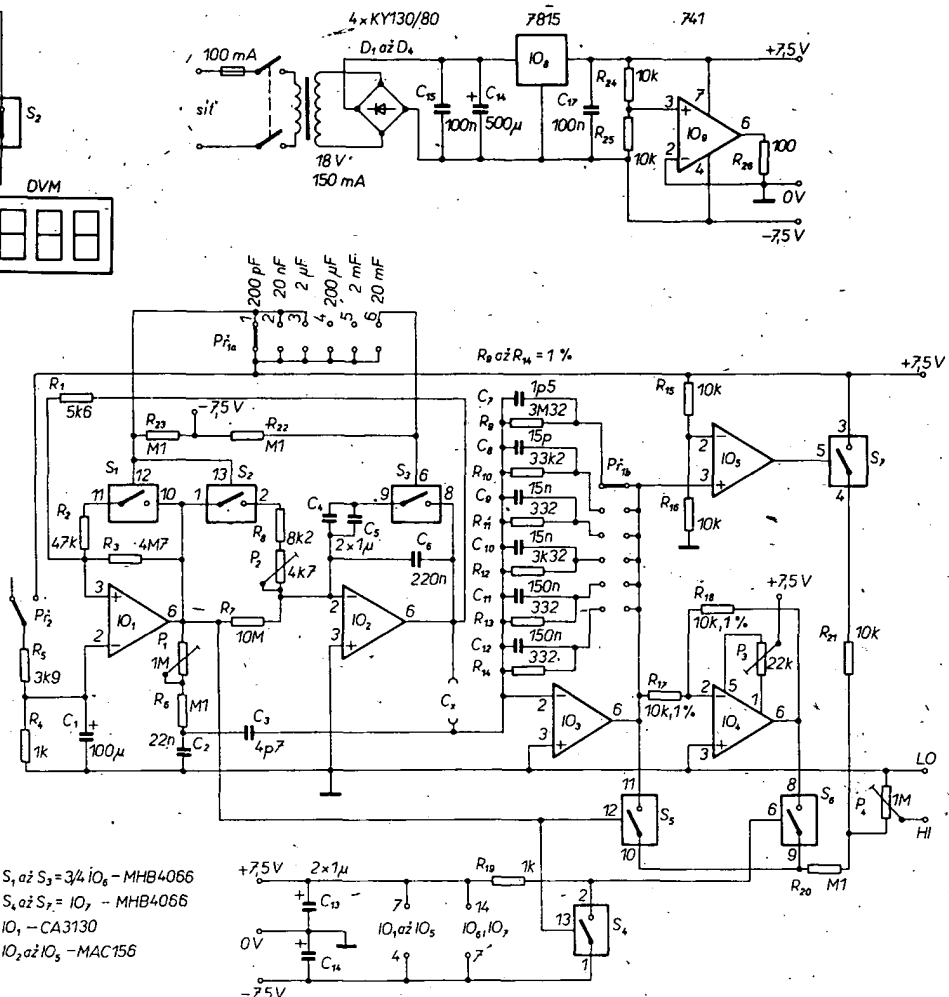
Konkrétní zapojení na obr. 15 ( $IO_1$ ,  $IO_2$ ) tvoří funkční generátor.  $IO_1$  je zapojen jako Schmittův klopový obvod. Ten dodává konstantní napětí integrátoru  $IO_2$ , které integrátor převádí na stoupající. Dosáhne-li stoupající napětí prahové úrovni klopového obvodu, změní integrující napětí polaritu. Pak se integrované napětí zmenší až do dosažení druhého stavu klopového obvodu. Tímto způsobem získáváme napětí na výstupu  $IO_1$  pravoúhlého a na výstupu  $IO_2$  trojúhelníkovitého průběhu. Napětí trojúhelníkovitého průběhu je zkusebním napětím pro kondenzátor  $C_x$ , který je zapojen jako součást diferenciátoru  $IO_3$ . Na výstupu  $IO_3$  je tedy napětí pravoúhlého průběhu úměrné kapacitě měřeného kondenzátoru. Usměrňovač je tvořen integrovanými spínači ( $MHB4066$  – 4 spínače v jednom pouzdře)  $S_5$ ,  $S_6$  a dostává signál buď přímo nebo přes invertor  $IO_4$ . Řídící signál pro spínače je odebíráno z  $IO_1$  a přichází jednou přímo na  $S_5$  a po druhé invertovaný pomocí  $S_4$  na  $S_6$ . Výstupní signály z  $S_5$  a  $S_6$  se sčítají

Obr. 16. Měřič kapacit jako doplněk k DVM (2. str. obálky)

Obr. 17. Vnitřní uspořádání měřiče kapacit (2. str. obálky)

vítého průběhu asi 1,8 V při 1 kHz. U elektrolytických kondenzátorů nad 2  $\mu\text{F}$  je mezivrcholová velikost zkušebního signálu 18 mV při 100 Hz mimo rozsah 20 mF, při kterém by byl příliš zatížen operační zesilovač. Proto je kmitočet rozsahu snížen na 10 Hz. Presnost měření na všech rozsazích by měla být 1 % mimo poslední rozsah, kdeje 10 až 15 %. Chceme-li měřit elektrolytické kondenzátory na rozsahu 2  $\mu\text{F}$ , sepneme přepínač  $P_2$ . Tím se zvětší

Obr. 13. Blokové schéma měřiče kapacit jako doplňku k DVM



Obr. 15. Celkové schéma zapojení měřiče kapacit jako doplnku k DVM

a jsou přiváděny přes  $R_{20}$  a  $P_2$  na vstup číslicového voltmetu.

Dolní propust  $P_1$ ,  $R_6$ ,  $C_2$  formuje napětí pravoúhlého průběhu z  $IO_1$  na trojúhelníkový průběh. Tento signál přichází přes  $C_3$  na vstup  $IO_3$ . Protože zkušební signál je vůči tomuto signálu invertován, je možné timto způsobem kompenzovat parazitní kapacitu na vstupních svorkách. V praxi to znamená, že při otevřeném vstupu nastavíme  $P_1$  tak, aby ukazoval nulu.

Při špatném zvoleném rozsahu způsobuje výstupní signál z  $IO_5$  indikaci přeplnění na DVM. Je-li totiž kapacita kondenzátoru  $C_x$  příliš velká pro nastavený rozsah, pracuje  $IO_3$  nikoli jako diferenciátor, ale jako komparátor. Proto se na výstupu  $IO_3$  objeví napětí pravoúhlého průběhu, které je vůči správnému signálu posunuto o  $90^\circ$ . Usměrňovač tedy nedostává žádné napětí a DVM by ukazoval nulu.  $IO_5$  proto sepne při určité vstupní úrovni spínače  $S_7$  a na vstup DVM přichází napětí přes  $R_{21}$ , takže DVM ukáže přeplnění.

Ještě několik slov k měřicím rozsahům a zkušebním signálům. Rozsahy se přepínají přepínačem  $P_1$ . Při kondenzátoru 0 až 2  $\mu\text{F}$  je amplituda signálu trojúhelníko-

zkušební signál asi na 1,5 V, aby na kondenzátoru nebylo záporné napětí.

Na výstupu je zapojen několikaotáčkový potenciometr  $P_4$ , z jehož jezdce bude muset odebírat napětí pro DVM (rozsah 200 mV).

Přepínání desetinných teček není navrženo, záleží na použitém DVM. Na výkresu (obr. 16 a 17) je DVM vestavěn přímo do měřiče kapacit.

### Nastavení

Nejprve přepneme  $P_1$  do polohy 20 mF a trimrem  $P_3$  nastavíme nulu. Poté přepneme na rozsah 2000 pF a odpovědným trimrem  $P_1$  opět nastavíme nulu. Nyní přístroj vypneme a místo rezistoru  $R_{12}$  zapojíme přesný odpor 332 k $\Omega$  (1 %) a místo kondenzátoru  $C_{10}$  150 pF. Na měřicí svorky připojíme svítkový kondenzátor 1,5  $\mu\text{F}$  a  $P_1$  přepneme na rozsah 200  $\mu\text{F}$ . Přístroj

zapneme a údaj zaznamenáme. Pak přepneme  $P_1$  do polohy  $2\ \mu F$  a trimrem  $P_2$  nastavíme stejný údaj. Poloha desetinné tečky nehráje roli. Pak odstraníme náhradní  $R_{12}$  a  $C_{10}$  a připojíme na jejich místo predepsané součástky.

Konečně připojíme na svorky kondenzátor  $10\ nF$ ,  $1\%$ , přepneme  $P_1$  do polohy  $20\ nF$  a trimrem  $P_2$  nastavíme na displeji přesně  $10,00\ nF$ . Na přesností tohoto kondenzátoru závisí přesnost nastavení. Pokud použijeme k měření hotový multimeter, nebudu souhlasit polohy desetinných teček. Použijeme-li panelový voltmeter (např. ICL7106, 7107), můžeme desetinné tečky přepínat třetí sekcí  $P_1$ .

Pokud bychom chtěli rozšířit měřicí kapacity o rozsahy  $2\ nF$ ,  $200\ nF$ ,  $20\ \mu F$ , budou pro ně členy  $RC$  v diferenciátoru  $332\ k\Omega/15\ pF$ ,  $3,32\ k\Omega/1,5\ nF$ ,  $33,2\ k\Omega/1,5\ nF$ .

Před měřením musíme vždy kondenzátor vybit!

*Elektor 2/84*

### Jednoduchý měřič kapacit jako doplněk multimetru

Přístroj je určen pro panelový voltmetr s rozsahem  $200\ mV$  s obvodem ICL7106. Princip měření ukazuje blokové schéma na obr. 18. Signál z vývodu 21 (back plane) obvodu ICL7106 zpracováváme ve zdroji spouštěcích impulsů (obr. 19). Jejich šířka je  $50\ ns$  a jsou záporné. Tyto impulsy spouštějí monostabilní klopový obvod. Jeho konstanta  $RC$  je dána normálovými rezistory a měřeným kondenzátorem  $C_x$ . Šířka výstupního impulsu je potom přímo úměrná neznámé kapacitě. V integrátoru dostáváme napětí přímo úměrně šířce impulsu z monostabilního klopového obvodu (MKO), které měříme panelovým voltmetrem. Kondenzátor  $C_x$  zvětšuje kapacitu původního kondenzátoru hodin obvodu ICL7106. Tím se prodlouží perioda (asi na  $20\ ms$ ) spouštěcího kmitočtu tak, že můžeme měřit až do rozsahu  $20\ \mu F$  (perioda  $20\ ms$ ).

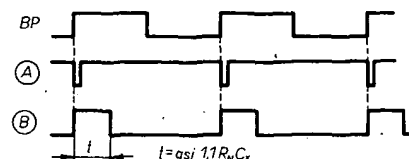
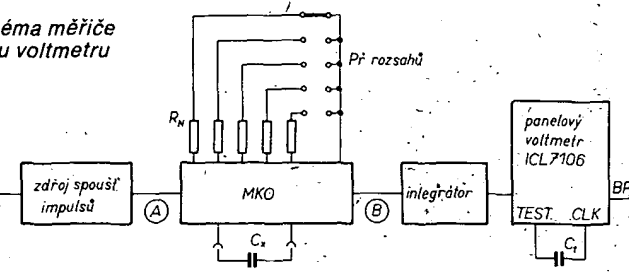
Zapojení měřiče kapacit je na obr. 20. Zdroj spouštěcích impulsů je vytvořen z oddělovacích tranzistorů  $T_1$ ,  $T_2$ . Mezi nimi je zapojen derivační článek, který zkraje impulsy na  $50\ ns$ , a dioda, která odřezává zápornou část signálu.

Samotný MKO je tvořen verzí CMOS časovače 555 s označením ICM7555. Lze použít i 555, ale ten má větší spotřebu (asi  $2\ mA$ ) a na rozsahu  $20\ \mu F$  nepracuje vždy spolehlivě (není lineární). Výběrem lze však získat i 555 s vhodnými parametry. Integrátor se skládá z kondenzátoru  $C_3$  a rezistoru  $R_{11}$ . Z  $C_3$  odeberáme napětí, které na potřebnou velikost nastavíme trimrem  $P_2$ . Jehož běžec je připojen na vstup IN HI voltmetru. Vstup IN LO je oddělen od COMMON a je na něj přivedeno napětí, kterým nulujeme měřič kapacit, aby neměřil parazitní kapacity přívodů. Kondenzátor  $C_4$  se připojuje navíc, původní člen  $RC$  mezi vývody 40, 39, 38 zůstává zachován.

Přepínání desetinných teček a případné přepínání funkcí  $U$ ,  $I$ ,  $R$ ,  $C$  na multimeteru je třeba řešit podle typu přístroje. Závisí na použité konstrukci a dostupných prvcích. Přesnost měření kapacity je asi  $\pm 2\ %$ .

*Practical Electronics 7/81*

Obr. 18. Blokové schéma měřiče kapacit k panelovému voltmetu



Obr. 19. Průběhy napětí v měřiči kapacit

### Měřič kapacit s obvodem ICL7106.

Jedná se o malý měřič kapacit v rozsahu  $1\ pF$  až  $20\ \mu F$  s přesností  $\pm 0,5\ %$ , napájený devítivoltovou baterií. Odběr je asi  $2\ mA$ .

Princip měření bude objasněn na zjednodušeném zapojení na obr. 21. Referenční napětí je transformováno sériovým zapojením integračního a derivačního stupně. Integrační stupeň pracuje s pevnými hodnotami, zatímco derivační stupeň pracuje s měřeným  $C_x$  a normálovými  $R_N$ .

#### Princip měření

Během měřicího cyklu jsou všechny spínače v nakreslené poloze. Na výstupu IO<sub>1</sub> vzniká napětí pilovitého průběhu se sklonem  $10\ V/S$ . Operační zesilovač IO<sub>2</sub> má zavedenu zpětnou vazbu rezistorem  $R_N$ , takže na jeho vstupu je trvale nula. Měřený kondenzátor  $C_x$  je vybijen konstantní

rychlosťí. Na výstupu IO<sub>2</sub> se projeví vybijecí proud jako ekvivalentní napětí, které je v digitálním voltmetru s dvojí integrací srovnáno s referenčním napětím. Protože  $U_{ref}$  je i na začátku měřicího řetězce, nemá žádný vliv na výsledek měření. Údaj displeje se řídí rovnicí:

$$\text{údaj} = K \frac{C_x R_N}{C_1 R_1},$$

kde  $K$  je dělící poměr  $R_{28}/R_{29}$  referenčního napětí v DVM.

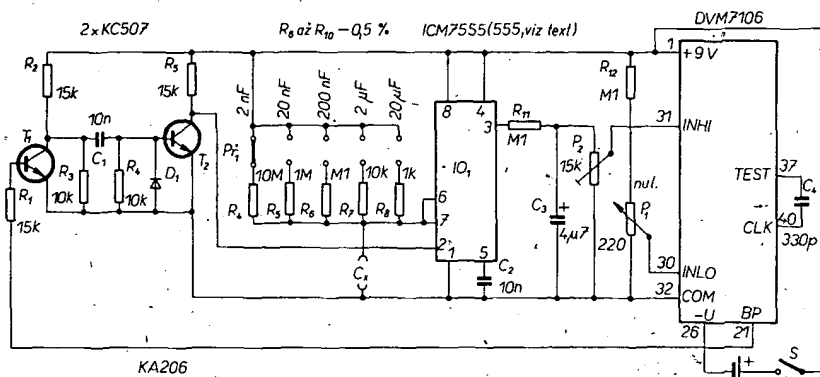
Systém nezpůsobuje žádné chyby mezi měřicími rozsahy. Parazitní vstupní kapacita derivačního stupně se neplatní, protože vstup IO<sub>2</sub> je bez paměti. Na konci měřicího cyklu se všechny spínače sepnou. Výstup IO<sub>1</sub> přechází do kladných hodnot, takže  $C_x$  se opět nabije.

Jeden ze spínačů přemostuje IO<sub>2</sub>, protože na jeho výstupu objeví vstupní rozdílové napětí. Protože vstup DVM je v této fázi uzemněný, nabije se  $C_7$  na velikost vstupního rozdílového napětí a způsobuje tak automatické vyrovnaní nuly.

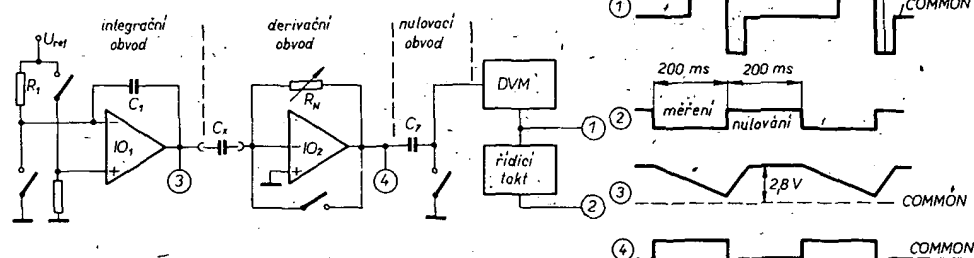
Po  $200\ ms$  přechází všechny spínače do výchozí polohy a měřicí cyklus začíná znova. Uvnitř měřicí fáze DVM startuje po  $100\ ms$  později. Časový rozdíl je nutný, aby mohly odeznít zákmity derivačního stupně.

#### Zapojení (obr. 22)

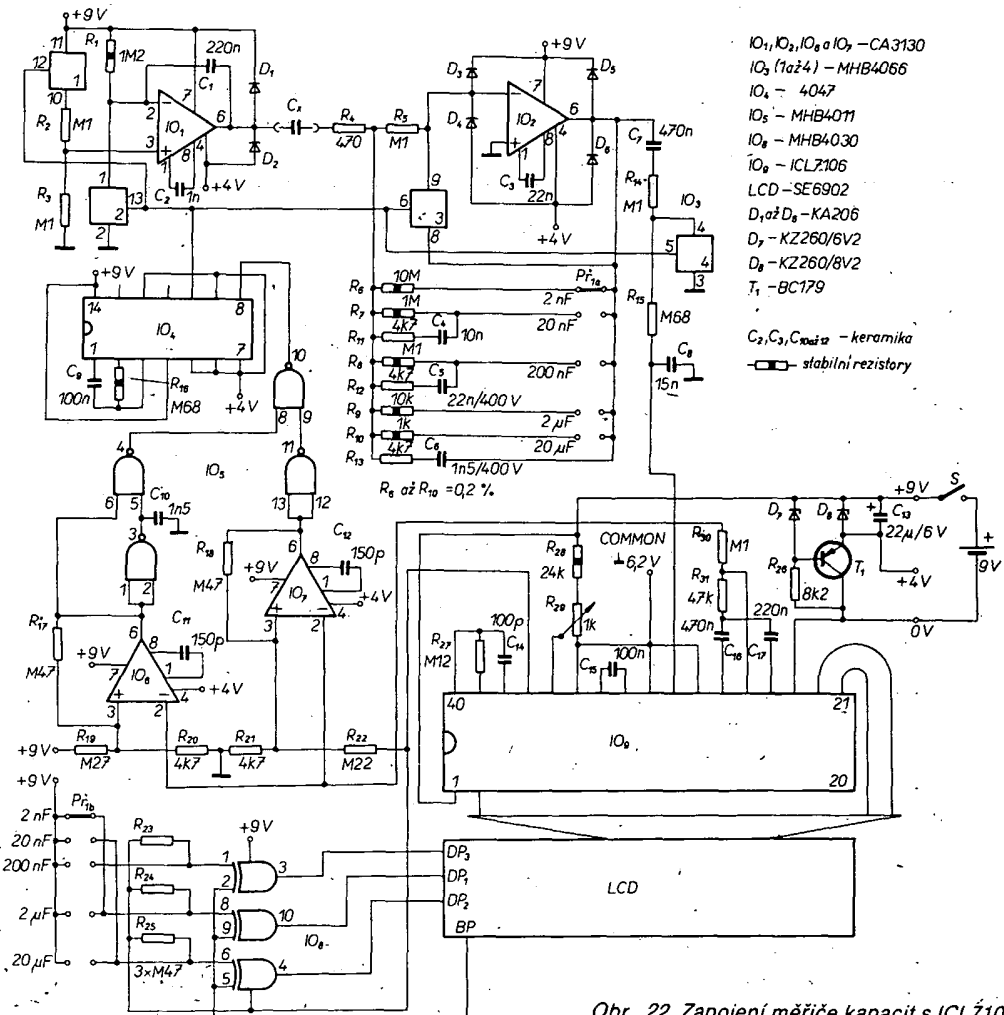
Přístroj je postaven z obvodů CMOS a operačních zesilovačů s malým odběrem, z čehož vyplývá i malá spotřeba asi



Obr. 20. Zapojení měřiče kapacit



Obr. 21. Blokové schéma měření kapacit a průběhy napětí ve vybraných bodech



Obr. 22. Zapojení měřiče kapacit s ICL7106

2,5 mA. V integračním stupni musí mít  $R_1$  a  $C_1$  malý teplotní součinitel (použijeme např. rezistory TR 161 a kondenzátory REMIX C 219 nebo TC 215). Diody  $D_1$  až  $D_6$ ,  $D_8$  a rezistory  $R_5$ ,  $R_{11}$ ,  $R_{12}$ ,  $R_{13}$  slouží jako přepěťová ochrana při nabitéch kondenzátoech. Proto jsou přípustná napětí až 400 V.

Derivační stupeň reaguje citlivě na sebemenší zákmity napětí pilovitého průběhu, a na šum integrátoru. Na dolních měřicích rozsazích ruší na výstupu  $IO_2$  šum, který je potlačen zpětnou vazbou  $C_4$  až  $C_6$  na přípustnou velikost. Na horních rozsazích se uplatňují rušivé hlavně zákmity. Ty jsou potlačovány rezistorem  $R_4$ . Kondenzátor  $C_7$  slouží, jak už bylo popsáno, k automatickému nastavení nuly. Během tohoto pochodu mohou téci větší vyrůvňávací proudy, přes spínač 4 (CMOS), které mohou zvětšovat napětí na vývodu COMMON voltmetu směrem k záporným hodnotám;  $R_{14}$  omezuje tyto proudy. Filtr  $R_{15}$ ,  $C_8$  má potlačit pronikání brumu při dolních rozsazích.

Digitální voltmetr je postaven se známým obvodem ICL7106. Vývod COMMON dává vztazné napětí pro celý přístroj a je proto na schématu označen jako zem. Mezi tímto vývodem a kladným pólem baterie je referenční napětí (2,8 V).  $IO_6$  je napájen z DVM, protože napětí pravouhlého průběhu z  $IO_8$  a  $IO_9$  musí přesně souhlasit, aby se nezkracovala doba životu displeje LCD. Ostatní IO jsou napájeny ze stabilizovaného zdroje přes tranzistor  $T_1$ .

Nedostatkem ICL7106 je, že nemá vyveden vnětní řídící takt. Poněkud komplikovaným zapojením může být tento signál

odvozen z vývodu 28. Postupně jsou na tomto vývodu napětí COMMON, kladné měřicí napětí a záporné referenční napětí. Přechod mezi měřicím a referenčním napětím je časový bod, který potřebujeme získat.  $IO_6$  a  $IO_7$  jsou klopné obvody s prahem asi 75 mV. Na začátku deintrace spustí referenční napětí přes  $IO_7$  a  $IO_5$  monostabilní klopny obvod  $IO_4$ . Při otevřeném měřicím vstupu se objeví referenční napětí jen jako jehlový impuls kladné nebo záporné polarity. Protože v druhém případě by chyběl takt, spouští tento impuls přes  $IO_6$  a  $IO_5$  monostabilní obvod. Protože však kladné měřicí napětí může vyvolat stejný jev, je u  $IO_6$  využita jen týlová hrana a v  $IO_5$  je přeměněna v jehlový impuls. Monostabilní obvod je nastaven na 200 ms a řídí spínače CMOS.

### Realizace

Jako operační zesilovače jsou použity CA3130, neboť mají malé napájecí napětí ( $\pm 2$  V) a malý odběr. Bylo by je možné nahradit obvody B061 z NDR; pak by bylo nutné vypustit kompenzační kondenzátory  $C_2$ ,  $C_3$ ,  $C_{11}$ ,  $C_{12}$ . Spínače (MHB4066), hradla (MHB4011, MHB4030) vyrábí nebo bude vyrábět TESLA Piešťany. Monostabilní obvod CD4047 lze zakoupit např. v MLR. Obvod DVM ICL7106 se má u nás začít vyrábět v roce 1986. Displej LCD již vyrábí TESLA Vrchlabí pod označením 4DR822, jinak jej lze také dostat v MLR.

Při dobrém provedení a odstínění svorek (plechem, na který je připevněme a který spojíme s kladným pólem baterie) bude údaj na displeji při rozpojených svorkách 1 pF.

### Nastavení

Deska s plošnými spoji se osadí s výjimkou  $R_1$ ,  $R_{16}$  a  $R_{27}$ . Místo těchto rezistorů zapojíme trimry předem nastavené na odpovídající hodnotu.

Nejprve zkontrolujeme napájecí napětí  $5 V \pm 10\%$  na  $C_{13}$ . Pak připojíme přesný kondenzátor ( $>10$  nF) na měřicí svorky a nastavíme příslušný rozsah. Referenční napětí DVN nastavíme pomocí  $R_{29}$  na 100 mV (měřeno mezi vývody 35 a 36 na  $IO_6$ ).

Pro optimální potlačení brumu musí být měřicí čas celistvým násobkem sifové periody. Měřicí cyklus se nastaví rezistorem  $R_{27}$  na 400 ms (měřeno na vývodu 10  $IO_4$ ). Překlápnání monostabilního obvodu  $IO_4$  se nastaví na 200 ms rezistorem  $R_{16}$  (také na vývodu 10  $IO_4$ ). Rezistory  $R_{16}$  a  $R_{27}$  se nyní nahradí pevnými rezistory odpovídajících hodnot. Údaj displeje se nastaví rezistorem  $R_1$  na přesnou kapacitu podle měřeného kondenzátoru. Trimr nahradíme rezistorem, přičemž údaj by se neměl lišit o více než 5 %. Nakonec nastavíme potenciometrem  $R_{29}$  přesný údaj kapacity.

Při měření je důležité, aby kondenzátory malých kapacit byly zasunuty přímo do měřicích svorek, protože parazitní kapacity přívodních šnůr by zkresily výsledek a rovněž pronikání brumu by způsobilo kolísání údaje.

Funkschau 26/80

## Měřič relativní vlhkosti

K příjemnému pocitu doma nebo na pracovišti nestačí jen správná teplota v místnosti. Důležitým činitelem je také relativní vlhkost vzduchu, která by se měla pohybovat v rozmezí 30 až 65 %. V místnostech, v nichž je větší možnost vzniku elektrostatického náboje a v nichž není vodivá podlaha, se doporučuje relativní vlhkost 50 %. Tato relativní vlhkost by tedy měla být ve všech dílnách a laboratořích, kde se pracuje s tranzistory a integrovanými obvody MOSFET a CMOS.

Vlhkoměry rovněž potřebují zahrádkáři do svých skleníků, využívají se jich v muzeích a obrazárnách atd.

Klasické vlhkoměry jsou založeny na principu změny délky lidského vlasu v závislosti na vlhkosti. Změna délky je pomocí pákového mechanismu převedena na ručičku přístroje nebo na zapisovač. Tyto vlhkoměry jsou však v levném provedení dosti poruchové a choulostivé. Proto firmy Siemens a Valvo využívají elektronické čidlo snímající vlhkost vzduchu. Čidlo je založeno na principu kondenzátoru, jehož kapacita se mění v závislosti na vlhkosti. Výrobek firmy Valvo mění svou kapacitu v rozmezí vlhkosti 0 až 100 % od 110 pF do 150 pF. Čidlo firmy Siemens má označení KHY10. Zapojuje se do oscilátoru 200 kHz tak, že se ze změny kapacity mění i střídavý signál. Dále již budeme uvažovat pouze čidlo Valvo.

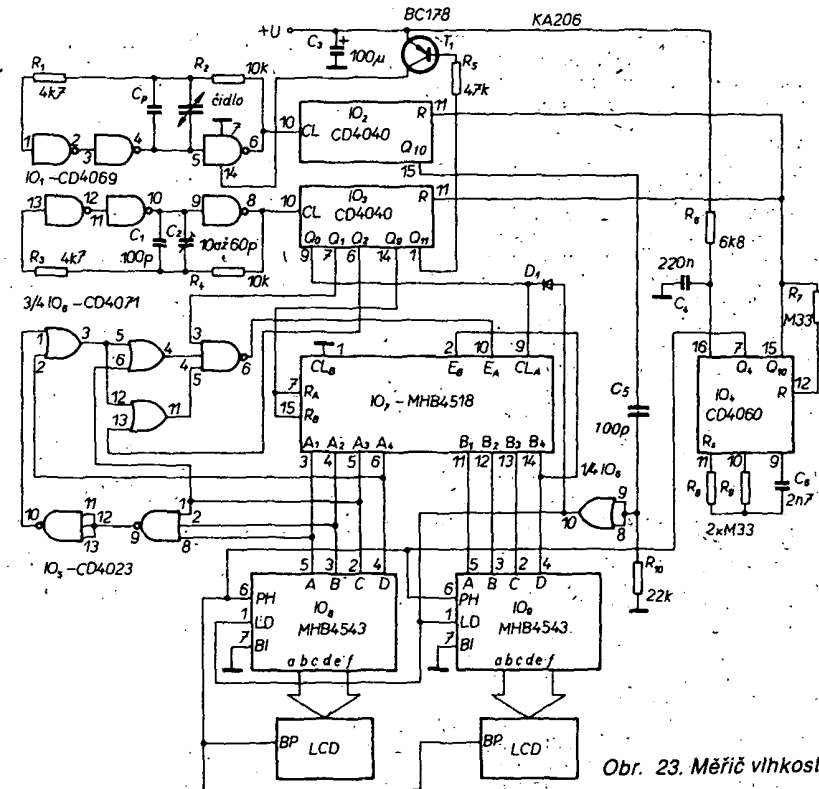
Aby se umožnilo číslicové vyhodnocení, je s čidlem a hradly vytvořen oscilátor RC, kmitající v závislosti na kapacitě snímače v okolí 300 kHz. Druhý laditelný oscilátor je zhotoven z hradel téhož obvodu. Kmitá konstantním kmitočtem a slouží jako referenční. Každý oscilátor řídí binární čítač. Z obou signálů se pak vytváří rozdílový impuls, který slouží jako časový úsek, ve kterém se impulsy referenčního oscilátoru čítají ve dvojitém čítači BCD. Na příklad při relativní vlhkosti 30 % načítá čítač 30 impulsů, toto číslo se pak přes dekodér objeví na displeji LCD.

Úplné zapojení měřiče vlhkosti je na obr. 23. Při stanovení koncepce byl položen zvláštní důraz na malou spotřebu. Proto byly použity obvody CMOS. Spotřeba je při 9 V 200 μA, při 5 V asi 80 μA. Měřič může proto pracovat s napájením z baterií (baterie 9 V nebo 4 tužkové baterie) a stavba síťového zdroje je zbytečná.

Oba oscilátory jsou postaveny z invertorů IO<sub>1</sub>, CD4069, vždy tři invertory na jeden oscilátor. Lze použít také výkonové invertory MHB4049. V horním oscilátoru je zapojeno čidlo jako určující kapacitu. Dolní referenční oscilátor má pevný kondenzátor C<sub>1</sub>, 100 pF, paralelně s kapacitním trimrem C<sub>2</sub>, 4 až 40 pF nebo 10 až 60 pF. Jako C<sub>1</sub> musí být použit kondenzátor s kladným TK asi +100 ppm/K, v krajním případě s TK blízkým nule. Předností tohoto zapojení je to, že stárnutí a teplotní změny obou oscilátorů neovlivňují výsledek měření.

Podle výrobce musí být ještě k čidlu připojena paralelně kapacita C<sub>p</sub>, 36 pF. Část této kapacitě je tvorena spojí, část tvoří vstupní kapacitu obvodu CD4069 a přivody k čidlu, jestliže není umístěno přímo na desce s plošnými spoji. Zbytek, 10 až 20 pF, je jako pevný kondenzátor. Tento kondenzátor by měl mit stejnou vlastností jako C<sub>1</sub>.

Oba výstupy oscilátorů řídí po jednom binárním čítači IO<sub>2</sub>, IO<sub>3</sub>, CD4040. Jsou to



Obr. 23. Měřič vlhkosti

dvanáctistupňové binární čítače. V nouzi by bylo možno nahradit dvěma do série zapojenými sedmstupňovými čítači MHB4024. V nich jsou impulsy upraveny (rozšířeny) pro další zpracování. Pro co nejmenší spotřebu jsou oba oscilátory spouštěny pomocí taktového oscilátoru jen jednou za sekundu po dobu 5 ms přes tranzistor T<sub>1</sub>. To stačí k měření, protože vlhkost se mění většinou jen pomalu. Taktovací generátor tvoří obvod IO<sub>4</sub>, CD4060, což je čtrnáctistupňový binární čítač s oscilátorem. Lze jej nahradit obvodem MHB4020 s příslušným oscilátorem z hradel obvodu např. MHB4011.

Protože charakteristika vlhkostního čidla není úplně lineární, musí být tyto odchylky vykompenzovány. Průběh charakteristiky z katalogu lze approximovat třemi přímkami v měřicím rozsahu 10 až 95 % téměř ideálně. Stoupání přímek je v poměru 2:3:4.

Zapojení pro linearizaci s obvody IO<sub>5</sub>, CD4023, a IO<sub>6</sub>, CD4071, slouží k tomu, aby čítače BCD IO<sub>7</sub>, MHB4518, čítaly do vlhkosti 40 % všechny impulsy, od 40 % do 70 % jen tři impulsy ze čtyř impulsů a nad 70 % dva impulsy ze čtyř impulsů. Tím jsou vytvořeny tři různé strmosti odpovídající katalogové křivce čidla. Obvod CD4023 je trojice třivstupňových hradel NAND a obvod CD4071 je čtveřice dvoustupňových hradel OR. Oba obvody lze samozřejmě nahradit ekvivalentní kombinací dostupných hradel.

Udaj z čítačů BCD je převeden do kódů pro sedmisegmentové displeje obvody IO<sub>8</sub>, IO<sub>9</sub>, MHB4543.

Jako displej LCD lze použít některý z typů vyráběných k. p. TESLA Vrchlabí - DR401, DT401.

Není-li čidlo montováno přímo na desce, neměl by přívod k němu překročit délku 1 m. Vedení má být stočené, stíněné není nutné.

Vlhkoměr se nastavuje kapacitním trimrem C<sub>2</sub> nejlépe na 50 % relativní vlhkosti. Můžeme jej nastavovat pomocí přesného vlhkometru nebo v klimatizační komoře. Přidavné chyby může způsobit

znečištění čidla. Proto jestliže měříme v prašném prostředí, měl by být před čidlem zařazen vzduchový filtr. Přesnost měření je asi  $\pm 0,5 \%$ , tedy méně, než 1 číslo.

Přístroj má minimální odběr, ale přesto je nutné baterie občas kontrolovat, protože oscilátory jsou napěťové závislé. Stabilizátor však přesto není vhodný, protože jeho odběr je mnohonásobně větší než odběr celého přístroje.

Funkschau 6/84

## Měření teploty

Teplotu jako elektrickou veličinu měříme nejčastěji převodem na elektrické napětí, a to buď přímo, nebo přes elektrický odpór. Převodníky teplota/napětí musí být v potřebném rozsahu lineární, pouze u převodníků pro termostaty a regulátory není tento požadavek nutný. Měřicí převodníky teplota/napětí připojujeme nejčastěji k číslicovým voltmetrům. Mohou být provedeny jako přídavek k digitálnímu multimetu nebo spolu s panelovým měřidlem vytvořit jednoúčelové měřidlo teploty. Ručkové přístroje používáme pro menší požadovanou přesnost měření; v dnešní době však klesají ceny panelových číslicových voltmetrů tak, že se je vyplatí používat místo ručkových měřidel. Ručkové přístroje se však používají tam, kde teplota často kolísá, protože pak je analogový údaj vhodnější. V takovém případě lze použít i analogovou stupnice z diod LED.

Jedním ze způsobů měření teploty je měření pomocí termočlánků, které převádějí teplotu přímo na elektrické napětí. K převodu využívají termoelektrického jevu. Princip spojíme v tom, že jestliže mechanicky spojíme dva různé kovy, vznikne na nich rozdíl napětí, který je značně závislý na teplotě.

Výhodou termočlánků je malá teplotní setrvačnost, jejich závislost napětí na teplotě je v některých úsecích prakticky

lineární, lze s nimi měřit teploty v širokém rozmezí teplot a je také možné je zhotovit doma amatérsky (např. měd.-konstantan, železo-konstantan). Nejlepší je svařit konce obou drátů např. kondenzátorovou svářeckou.

Nevýhodou termočlánků je nutnost při přesnéjších měřeních použít referenční prostředí. To znamená, že při použití jednoho termočlánku kolísá údaj na svorkách měřidla podle okolní teploty (na svorkách vzniká také termoelektrické napětí). Proto se při průmyslových a laboratorních měřeních zapojují termočlánky dva do série tak, aby se jejich napětí odčítala. Jeden termočlánek je měřicí, druhý je referenční. To má za následek, že na svorky měřidla je přiveden vždy stejný kov, takže nevzniká nežádoucí svorkové napětí závislé na teplotě. Při měření v laboratořích se referenční termočlánek udržuje na teplotě 0 °C (termoska s ledovou tráší ve vodě), při průmyslových měřeních se ohřívá na 50 °C.

Obě tyto metody se však nedají u číslcových přenosných měřidel teploty použít. Proto se místo druhého referenčního termočlánku používá polovodičové snímání čidlo teploty, které kompenzuje teplotu okolí a tím vlastně napětí, vznikající na svorkách termočlánku.

Takové zapojení vidíme na obr. 24. Jedná se o lineární převodník teplota-napětí s rozsahem měřených teplot 0 až 700 °C. V rozsahu teplot 0 až 400 °C je chyba menší než ±0,5 °C. Termočlánek je zdrojem napětí, které odpovídá rozdílu teplot mezi měřicím bodem a referenčním bodem (okolní teplota). K vyhodnocení musí být tedy použity obě teploty. V našem případě jsou oba napěťové zdroje řazeny v sérii a přivedeny na zesilovač. Protože průběh napětí v takovém rozsahu teplot není lineárně závislý na teplotě, musí být naměřený údaj korigován v linearizačním obvodu. Aby byly snáze zvládnutelné potíže s tolerancemi součástek, je signál korigován až po zesílení.

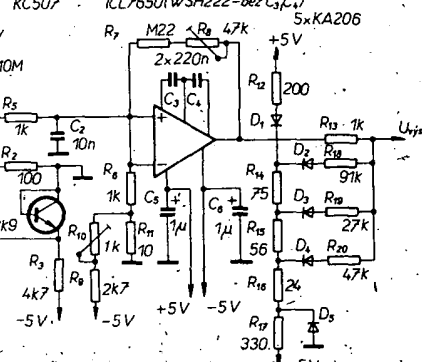
### Popis zapojení

Jako termočlánek je použita kombinace železo-konstantan. Se zvyšující se teplotou se zmenšuje  $\Delta U / \Delta t$  a nad 150 °C zůstává konstantní. Teplotní závislost přechodu B – E křemíkového tranzistoru je využita k získání svorkového napětí.  $R_1$  a  $R_2$  dělí průběh křivky napětí/teplota termočlánku v rozsahu 0 až 50 °C. Jako operační zesilovač je použit v původním zapojení ICL7650, jehož napěťový offset je jen 0,01  $\mu$ V/K. Z našich OZ vyhovuje pouze WSH222, který má obdobné parametry. MAA725 má již offset 100x horší. Na invertujícím vstupu jsou malá napěti offsetu i základní napětí křemíkového snímače kompenzována rezistorem  $R_{10}$ . Rezistor  $R_6$  nastavuje výstupní napětí převodníku.

Charakteristika použitého termočlánku a požadovaná přesnost linearizace určuje

Tab. 1. Napětí termočlánku Fe-Co (železo-konstantan). Referenční teplota 0 °C.

°C	0	1	2	3	4	5	6	7	8	9
	[mV]									
0	0,00	0,05	0,10	0,16	0,21	0,26	0,31	0,36	0,42	0,47
10	0,52	0,57	0,63	0,68	0,73	0,78	0,84	0,89	0,94	1,00
20	1,05	1,10	1,16	1,21	1,26	1,31	1,37	1,42	1,47	1,53
30	1,58	1,63	1,69	1,74	1,79	1,84	1,90	1,95	2,00	2,06
40	2,11	2,16	2,22	2,27	2,33	2,38	2,43	2,49	2,54	2,60
50	2,65	2,70	2,76	2,81	2,87	2,92	2,97	3,03	3,08	3,14
60	3,10	3,24	3,30	3,35	3,41	3,46	3,51	3,57	3,62	3,68
70	3,73	3,78	3,84	3,89	3,95	4,00	4,05	4,11	4,16	4,22
80	4,27	4,32	4,38	4,43	4,49	4,54	4,60	4,65	4,71	4,77
90	4,82	4,87	4,93	4,98	5,04	5,09	5,15	5,20	5,26	5,32
100	5,37	5,42	5,48	5,53	5,59	5,64	5,70	5,75	5,81	5,87
110	5,92	5,97	6,03	6,08	6,14	6,19	6,25	6,30	6,36	6,42
110	5,92	5,97	6,03	6,08	6,14	6,19	6,25	6,30	6,36	6,42
120	6,47	6,53	6,58	6,64	6,69	6,75	6,81	6,86	6,92	6,97
130	7,03	7,09	7,14	7,20	7,25	7,31	7,37	7,42	7,48	7,53
140	7,59	7,65	7,70	7,76	7,81	7,87	7,93	7,98	8,04	8,09
150	8,15	8,21	8,26	8,32	8,37	8,43	8,49	8,54	8,60	8,65
160	8,71	8,77	8,82	8,88	8,93	8,99	9,05	9,10	9,16	9,21
170	9,27	9,33	9,38	9,44	9,49	9,55	9,61	9,66	9,72	9,77
180	9,83	9,89	9,94	10,00	10,05	10,11	10,17	10,22	10,28	10,33
190	10,39	10,45	10,50	10,56	10,61	10,67	10,73	10,78	10,84	10,89
200	10,95	11,01	11,06	11,12	11,17	11,23	11,29	11,34	11,40	11,45
210	11,51	11,57	11,62	11,68	11,73	11,79	11,85	11,90	11,96	12,01
220	12,07	12,13	12,18	12,24	12,29	12,35	12,41	12,46	12,52	12,57
230	12,63	12,69	12,74	12,80	12,85	12,91	12,97	13,02	13,08	13,13
240	13,19	13,25	13,30	13,36	13,41	13,47	13,53	13,58	13,64	13,69
250	13,75	13,81	13,86	13,92	13,97	14,03	14,09	14,14	14,20	14,25
260	14,31	14,37	14,42	14,48	14,54	14,59	14,65	14,71	14,76	14,82
270	14,88	14,94	14,99	15,05	15,10	15,16	15,22	15,27	15,33	15,38
280	15,44	15,50	15,55	15,61	15,66	15,72	15,78	15,83	15,89	15,94
290	16,00	16,06	16,11	16,17	16,22	16,28	16,34	16,39	16,45	16,50
300	16,56	16,62	16,67	16,73	16,78	16,84	16,90	16,95	17,01	17,06
310	17,12	17,18	17,23	17,29	17,34	17,40	17,46	17,51	17,57	17,62
320	17,68	17,74	17,79	17,85	17,90	17,96	18,02	18,07	18,13	18,18
330	18,24	18,30	18,35	18,41	18,46	18,52	18,58	18,63	18,69	18,74
340	18,80	18,86	18,91	18,97	19,02	19,08	19,14	19,19	19,25	19,30
350	19,36	19,42	19,47	19,53	19,58	19,64	19,70	19,75	19,81	19,85
360	19,92	19,98	20,03	20,09	20,14	20,20	20,26	20,31	20,37	20,42
370	20,48	20,54	20,59	20,65	20,70	20,76	20,82	20,87	20,93	20,98
380	21,04	21,10	21,15	21,21	21,26	21,32	21,38	21,43	21,49	21,54
390	21,60	21,66	21,71	21,77	21,82	21,88	21,94	21,99	22,05	22,10
400	22,16	22,22	22,27	22,33	22,38	22,44	22,50	22,55	22,61	22,66
410	22,72	22,78	22,83	22,89	22,95	23,00	23,06	23,12	23,18	23,23
420	23,29	23,35	23,40	23,46	23,52	23,57	23,63	23,69	23,74	23,80
430	23,86	23,92	23,97	24,03	24,09	24,14	24,20	24,26	24,32	24,37
440	24,43	24,49	24,54	24,60	24,66	24,71	24,77	24,83	24,89	24,94
450	25,00	25,06	25,11	25,17	25,23	25,28	25,34	25,40	25,46	25,51
460	25,57	25,63	25,68	25,74	25,80	25,85	25,91	25,97	26,03	26,08
470	26,14	26,20	26,25	26,31	26,37	26,42	26,48	26,54	26,60	26,65
480	26,71	26,77	26,82	26,88	26,94	26,99	27,05	27,11	27,17	27,22
490	27,28	27,34	27,39	27,45	27,51	27,56	27,62	27,68	27,74	27,79
500	27,85	27,91	27,97	28,02	28,08	28,14	28,20	28,26	28,31	28,37
510	28,43	28,49	28,55	28,60	28,66	28,72	28,78	28,84	28,89	28,95
520	29,01	29,07	29,13	29,18	29,24	29,30	29,36	29,42	29,47	29,53
530	29,59	29,65	29,71	29,76	29,82	29,88	29,94	30,00	30,05	30,11
540	30,17	30,23	30,30	30,34	30,40	30,46	30,52	30,58	30,63	30,69
550	30,75	30,81	30,87	30,92	30,98	31,04	31,10	31,16	31,21	31,27
560	31,33	31,39	31,45	31,50	31,56	31,62	31,68	31,74	31,79	31,85
570	31,91	31,97	32,03	32,08	32,14	32,20	32,26	32,32	32,37	32,43
580	32,49	32,55	32,61	32,66	32,72	32,78	32,84	32,90	32,96	33,02
590	33,08	33,14	33,20	33,26	33,32	33,38	33,43	33,49	33,55	33,61
600	33,67	33,73	33,79	33,85	33,91	33,97	34,02	34,08	34,14	34,20
610	34,26	34,32	34,38	34,44	34,50	34,56	34,61	34,67	34,73	34,79

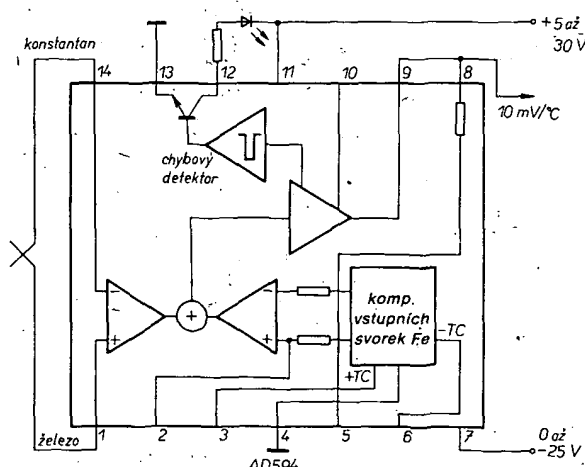


Obr. 24. Převodník teplota/napětí pro termočlánek železo-konstantan

mezi  $D_1$  a  $D_5$  tři napěťové úrovně odpovídají teplotám 25 °C, 75 °C, 150 °C. Diody  $D_2$ ,  $D_3$ ,  $D_4$  jsou použity k rozdělení těchto úrovní;  $D_1$  a  $D_5$  slouží k teplotní kompenzaci. Jsou zapojeny tak, že proud děličem je nezávislý na teplotě. Poměry v děliči se tedy nemohou měnit. Přesnost tedy určuje nikoli absolutní vlastnosti, ale výhradně teplotní souběh diod  $D_1$  až  $D_5$ .

Přístroj se nastavuje termočlánekem, jehož referenční konec je na 0 °C. Napětí měříme milivoltmetrem. Příslušné teploty najdeme v tab. 1.

°C	0	1.	2	3	4	5	6	7	8	9
	[mV]									
620	34,85	34,91	34,97	35,03	35,09	35,15	35,20	35,26	35,32	35,38
630	35,44	35,50	35,56	35,62	35,68	35,74	35,80	35,86	35,92	35,98
640	36,04	36,10	36,16	36,22	36,28	36,34	36,40	36,46	36,52	36,58
650	36,64	36,70	36,76	36,82	36,88	37,95	37,01	37,07	37,13	37,19
660	37,25	37,30	37,36	37,42	37,48	37,55	37,61	37,67	37,73	37,79
670	37,85	37,91	37,97	38,04	38,10	38,16	38,22	38,28	38,35	38,41
680	38,47	38,53	38,59	38,66	38,72	38,78	38,84	38,90	38,97	39,03
690	39,09	39,15	39,22	39,28	39,34	39,41	39,47	39,53	39,59	39,66
700	39,72	39,78	39,85	39,91	39,97	40,04	40,10	40,16	40,22	40,29
710	40,35	40,41	40,48	40,54	40,60	40,67	40,73	40,80	40,86	40,93
720	40,98	41,04	41,11	41,17	41,23	41,30	41,36	41,43	41,49	41,56
730	41,62	41,69	41,75	41,82	41,88	41,95	42,01	42,08	42,14	42,21
740	42,27	42,34	42,40	42,47	42,53	42,60	42,66	42,73	42,79	42,86
750	42,92	42,99	43,05	43,12	43,18	43,25	43,31	43,38	43,44	43,51
760	43,57	43,64	43,70	43,77	43,83	43,90	43,97	44,03	44,10	44,16
770	44,23	44,30	44,36	44,43	44,49	44,56	44,63	44,69	44,76	44,82
780	44,89	44,96	45,02	45,09	45,15	45,22	45,29	45,35	45,42	45,48
790	45,55	45,62	45,68	45,75	45,82	45,89	45,95	46,02	46,09	46,15
800	46,22	46,29	46,35	46,42	46,49	46,56	46,62	46,69	46,76	46,82
810	46,89	46,96	47,03	47,09	47,16	47,23	47,30	47,37	47,43	47,50
820	47,57	47,64	47,71	47,77	47,84	47,91	47,98	48,05	48,11	48,18
830	48,25	48,32	48,39	48,46	48,53	48,60	48,66	48,73	48,80	48,87
840	48,94	49,01	49,08	49,15	49,22	49,29	49,35	49,42	49,49	49,56
850	49,63	49,70	49,77	49,84	49,91	49,98	50,04	50,11	50,18	50,25
860	50,32	50,39	50,46	50,53	50,60	50,67	50,74	50,81	50,88	50,95
870	51,02	51,09	51,16	51,23	51,30	51,37	51,44	51,51	51,58	51,65
880	51,72	51,79	51,86	51,93	52,00	52,08	52,15	52,22	52,29	52,36
890	52,43	52,50	52,57	52,64	52,71	52,79	52,86	52,93	53,00	53,07
900	53,14	-	-	-	-	-	-	-	-	-



Obr. 25. Měření teploty termočlánkem s obvodem AD594

S nem v oboru měření teploty termočlánkem jsou integrované obvody, na něž přímo připojíme termočlánek, a které si kompenzují svorkové napětí podle okolní teploty samy. Takovým obvodem je např. obvod firmy Analog Devices AD594. Je určen pro termočlánek železo-konstantan. Zapojení je na obr. 25. Rozsah měřicích teplot je od -200 do 760 °C. Linearity v celém rozsahu je asi 5 %. V rozsahu od 20 do 200 °C je signál na výstupu obvodu 10  $\mu$ V/°C. Dó 20 °C je 9,65  $\mu$ V/°C a od 200 °C výš je 10,7  $\mu$ V/°C. Napájení je pro kladné teploty 5 až 30 V. Pokud chceme měřit záporné teploty, je třeba ještě připojit záporné napětí max. -25 V. Obvod má také indikaci přerušení termočlánku.

#### Odporové kovové snímače teploty

Tyto snímače využívají závislosti elektrického odporu na teplotě. Používají se snímače niklové nebo platinové. Platino-

vé čidlo, které má odpor 100  $\Omega$  při 0 °C se používá v současnosti nejčastěji. V tab. 2 je závislost pro toto čidlo v rozsahu -200 až 600 °C. Závislost není přesně lineární,

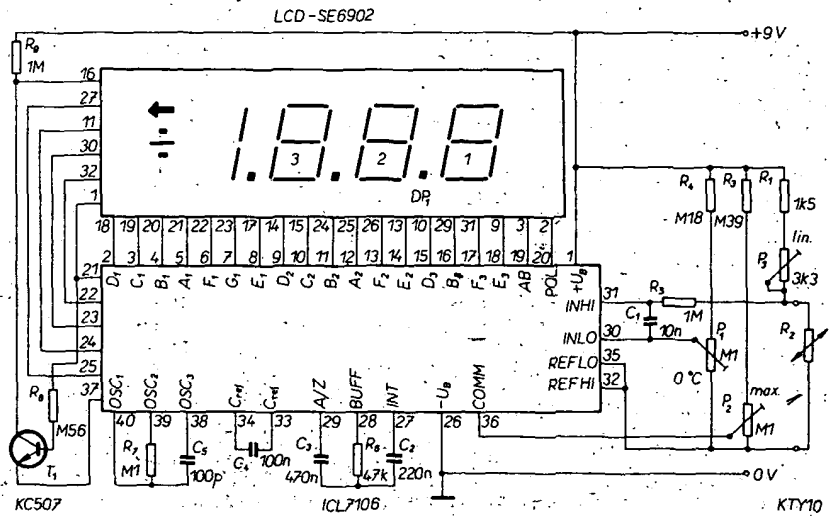
ale lze ji poměrně dobře linearizovat. Zapojení linearizovaného převodníku bylo několikrát uveřejněno (např. ST 7/1976, s. 243, AR/B 5/1980, s. 171). V těchto zapojeních však je používán operační zesilovač MAA502. Mnohem vhodnější je použít OZ MAA725, který má podstatně menší drift napětí.

#### Polvodičové odpornové teploměry

Nejnájemší polovodičovým prvkem, termistorem, se zabývat nebudeme, protože již byl popsán mnohokrát.

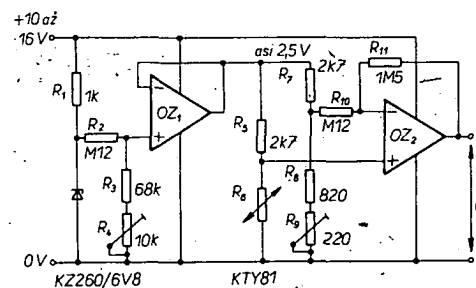
Druhým snímacím čidlem je přechod p-n, neboli polovodičová dioda. Ta má výhodu, že při konstantním proudě diodou je závislost napětí na teplotě prakticky lineární. Jako diody se používají křemíkové diody (KA206), přechod B-E tranzistoru (KC509), nebo varikapy. V poslední době však některé světové výrobci uvedli na trh křemíkové součástky, přímo určené pro měření teploty. Součástky, přestože obsahují přechody p-n, se navenek chovají jako odpor závislý na teplotě. To znamená, že u nich nezáleží na polaritě. Firma Siemens uvedla na trh snímače teploty KTY10 až KTY16. Liší se od sebe tolerancemi, setrvačnostmi a rozsahem teplot. Většinou jsou určeny pro teploty -50 až 150 °C. Toleranci mají  $\pm 1$  až  $\pm 5$  % a odpor při teplotě 25 °C je 2000  $\Omega$ . Cena těchto prvků je až 10 DM. Nejčastěji jsou v pouzdře plastikového tranzistoru. Na obr. 26 je zapojení panelového voltmetru ICL7106 s tímto čidlem jako měřič venkovní teploty. Jedná se o běžné zapojení obvodu jako voltmetru s rozsahem 200 mV. Tranzistor T<sub>1</sub> spiná desetinnou tečku. Trimrem P<sub>3</sub> jemně nastavujeme linearity. Potenciometrem P<sub>1</sub> nastavujeme při ponoření čidla do ledové trávky ve vodě 0 °C a potenciometrem P<sub>2</sub> nastavujeme 100 °C podle bodu varu (podle tlaku vzduchu není bod varu vždy 100 °C – lepě je použít teploměr.) Nastavování potenciometry P<sub>1</sub>, P<sub>2</sub>, P<sub>3</sub> několikrát opakujeme, až všechny údaje linearity souhlasí. Dosazená přesnost je  $\pm 0,2$  °C.

Firma Philips uvedla na trh podobné křemíkové snímače teploty s označením KTY81/82/83. Odpor při teplotě 25 °C má 1000  $\Omega$ . Podstatně se však liší typ KTY84. Tento typ je ve skleněném pouzdře (jako diody KZ260). Technologickými úpravami jeho struktury bylo dosaženo, že rozsah měřených teplot je od 0 do 300 °C, což je vzhledem k vlastnostem křemíku obdivuhodné.

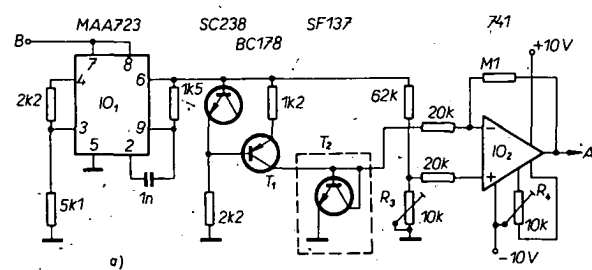


Tab. 2. Údaje pro platinový a odporový snímač teploty Pt 100

°C	0	-5	-10	-15	-20	-25	-30	-35	-40	-45	-50	-55	-60	-65	-70	-75	-80	-85	-90	-95	-100	Ω/°C
-200	18,53	16,43	12,35	-10,41	-	-	-	-	-	-	-	-	-	-	-	-	-	-	-	-	-	-
-100	60,20	58,17	56,13	54,09	52,04	49,99	47,93	45,87	43,80	41,73	39,65	37,57	35,48	33,38	31,28	29,17	27,05	24,92	22,78	20,65	18,53	0,42
0	100,00	98,04	96,07	94,10	92,13	90,15	88,17	86,19	84,21	82,23	80,25	78,27	76,28	74,29	72,29	70,29	66,28	66,27	64,25	62,23	60,20	0,40
°C	0	5	10	15	20	25	30	35	40	45	50	55	60	65	70	75	80	85	90	95	100	Ω/°C
0	100,00	101,95	103,90	105,85	107,79	109,73	111,67	113,61	115,54	117,47	119,40	121,32	123,24	125,16	127,07	128,98	130,89	132,80	134,70	136,60	138,50	0,38
100	138,50	140,39	142,28	144,18	146,06	147,94	149,82	151,70	153,57	155,45	157,32	159,18	161,04	162,90	164,76	166,62	168,47	170,32	172,16	174,00	175,84	0,37
200	175,84	177,68	179,51	181,34	183,17	185,00	186,82	188,64	190,46	192,27	194,08	195,89	197,70	199,50	201,30	203,09	204,88	206,68	208,46	210,25	212,03	0,36
300	212,03	213,81	215,58	217,36	219,13	220,90	222,66	224,42	226,18	227,94	229,69	231,44	233,19	234,93	236,67	238,41	240,15	241,88	243,61	245,34	247,06	0,35
400	247,06	248,78	250,50	252,21	253,93	255,64	257,34	259,05	260,75	262,45	264,14	265,83	267,52	269,21	270,89	272,57	274,25	275,92	277,60	279,27	280,93	0,34
500	280,93	282,60	284,26	285,91	287,57	289,22	290,87	292,51	294,16	295,80	297,43	299,07	300,70	302,33	303,95	305,58	307,20	308,81	310,43	312,04	313,65	0,33
600	313,65	315,25	316,86	318,46	320,05	321,65	323,24	324,83	326,41	327,99	329,57	331,15	332,72	334,29	335,86	337,43	338,99	340,55	342,10	343,66	345,21	0,32
700	345,21	346,76	348,30	349,84	351,38	352,92	354,45	355,98	357,51	359,03	360,55	362,07	363,59	365,10	366,61	368,12	369,62	371,12	372,62	374,12	375,61	0,30
800	375,61	377,10	378,59	380,07	381,55	383,03	384,50	385,98	387,45	388,91	390,38	-	-	-	-	-	-	-	-	-	-	0,29



Obr. 27. Převodník teplota-napětí pro rozsah 0 až 100 °C



Na obr. 27 je zapojení převodníku teplota-napětí čidlem KTY81. Rozsah měřených teplot je 0 až 100 °C. Při dobrém nastavení lze dosáhnout přesnosti ±0,02 °C. Výstupní napětí je 50 mV/°C. Operační zesilovač OZ<sub>1</sub> pracuje jako zdroj konstantního proudu. Z něj napájíme můstek, v jehož větvi pracuje čidlo teploty. Odchylku způsobenou rozvážením můstku zesiluje OZ<sub>2</sub>. Jako operační zesilovač je použit dvojitý OZ NE532. Můžeme jej nahradit např. dvěma OZ MAA723 nebo MAC155. Také lze použít obvod z NDR BO82, což je dvojitý „fetový“ OZ.

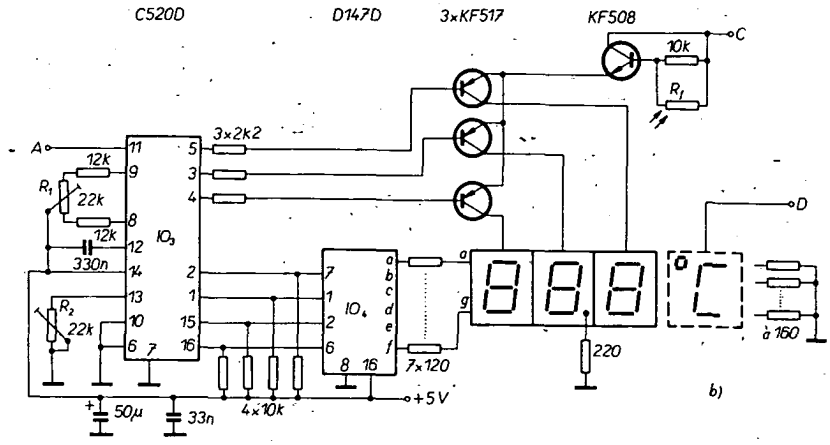
Závěrem lze říci, že i v tak známé a propracované oblasti, jako je měření teploty, dochází díky vývoji v polovodičové technice k podstatným změnám. Tyto změny mají za následek nové aplikace tam, kde se dříve měřila teplota jen obtížně. Např. velmi přesné termočlánkové teploměry se dnes vejdou do kapsy a není k nim potřeba termoska s ledem atd.

Funkschau 6/83; Elektronik 13/82, 1/83

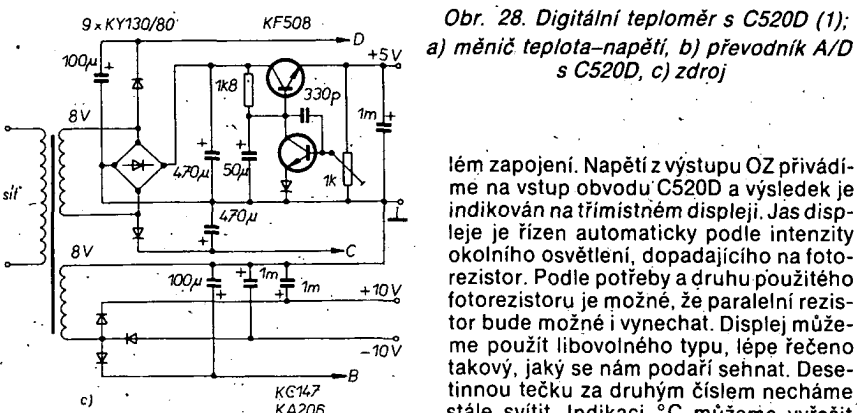
### Digitální teploměr s C520D (1)

S obvodem C520D můžeme sestavit digitální teploměr s rozlišovací schopností 0,1 K, můžeme s ním měřit nejen teplotu v místnosti nebo venkovní, ale i teplotu těla. Nevýhodou zapojení je, že k provozu potřebuje několik napětí, neobejdje se tedy bez síťového zdroje.

Na obr. 28a je vstupní část teploměru, měnič teplota-napětí. Jako snímač slouží přechod báze-emitor tranzistoru T<sub>2</sub> (v původním pramu SF137), u něhož je – jako u většiny křemíkových tranzistorů – tepelná změna asi 2 mV/K. Chceme-li použít rozlišovací schopnost 0,1 K, pak tuto malou změnu musíme zvětšit na 10 mV/K, abychom na displeji mohli číst přímo teplotu ve stupních a v desetinách stupňů Celsia. Toho dosáhneme použitím operačního zesilovače IO<sub>2</sub>. Referenční napětí pro IO<sub>2</sub> získáme ze stabilizátora napěti IO<sub>1</sub>. Snímačem je tedy T<sub>2</sub>, který umístíme do pouzdra fixu nebo staré kuličkové tužky a propojíme s přístrojem šňůrou s konektorem pro miniaturní slu-



Obr. 28. Digitální teploměr s C520D (1); a) měnič teplota-napětí, b) převodník A/D s C520D, c) zdroj



chátko. Referenční napětí z děliče přivádíme na neinvertující vstup OZ. O toto napětí je „opřeno“ také napájení sondy, která je propojena s napájecím napětím přes generátor konstantního proudu a má odběr 100 μA. Změny, vyvolané v sondě změnou teploty, přiváděme na invertující vstup OZ, který je zesiluje 5krát, tedy změna teploty o 1 °C na výstupu dává rozdílové napětí 10 mV.

Vyhodnocovací částí je číslicový voltmetr s C520D (obr. 28b) v celkem obvyk-

lém zapojení. Napětí z výstupu OZ přivádíme na vstup obvodu C520D a výsledek je indikován na třímištném displeji. Jeden displej je řízen automaticky podle intenzity okolního osvětlení, dopadajícího na foto-rezistor. Podle potřeby a druhu použitého fotorezistoru je možné, že paralelní rezistor bude možné i vynechat. displej můžeme použít libovolného typu, lépe řečeno takový, jaký se nám podáří sehnat. Desetinnou tečku za druhým číslem necháme stále svítit. Indikaci °C můžeme vyřešit bud svítivou diodou a zapojením segmentů na C, nebo prosvěcováním nápisu žárovkou.

Po sestavení přístroje nejprve kontrolujeme napájecí napětí. Potom překontrolujeme a upravíme offset IO<sub>2</sub> volbou rezistoru R<sub>4</sub>. Změnou R<sub>3</sub> zhruba nastavíme potřebné zesílení. Snímač s kalibračním teploměrem ponoríme do nádoby s taji-

cím ledem a změnou  $R_1$  nastavíme na displeji nulu. Potom kalibrujeme teplomér se snímačem ve vařící vodě a na displeji změnou  $R_2$  nastavíme 99,9. Kalibraci opakujeme několikrát za sebou.

Transformátor zdroje (obr. 28c) má jádro M42, obě sekundární vinutí dodávají střídavé napětí asi 8 V.

Funkamatér 6/1984

### Digitální teplomér s obvodem C520D (2)

Poněkud odlišná analogová část než na obr. 28 se používá u digitálního teploměru na obr. 29. Měřicí rozsah autor udává od -9,9 do 99,9 °C. Ke snímání se používá stejná sonda jako u přístroje na obr. 28, tj. přechod emitor-báze křemíkového tranzistoru s tepelnou změnou 2 mV/K. Snímač (v původním článku zdvojený a přepínačitelný pro měření vnější a vnitřní teploty) je napájen ze zdroje konstantního proudu ( $D_2$ ,  $D_3$ ,  $T_1$ ) 0,1 mA.

Změny napětí na snímači, vyvolané změnou teploty, se přivádějí na invertující vstup operačního zesilovače, který je zesílen pětkrát. Referenční napětí napájí neinvertující vstup a je odvozeno od napájecího napětí diodou  $D_1$  a děličem  $R_2$  až  $R_4$ . Offset se nastavuje trimrem  $R_{13}$ . Na výstupu operačního zesilovače je dolní propust z rezistorů  $R_{14}$ ,  $R_{15}$  a kondenzátoru 2  $\mu$ F, která chrání vstup číslicového voltmetru před rušivými impulzy ze síťového napětí.

V původním zapojení se používá operační zesilovač A109, který odpovídá MAA503. K dosažení lepší stability bylo možné použít bez změny zapojení přistrojový zesilovač MAA725.

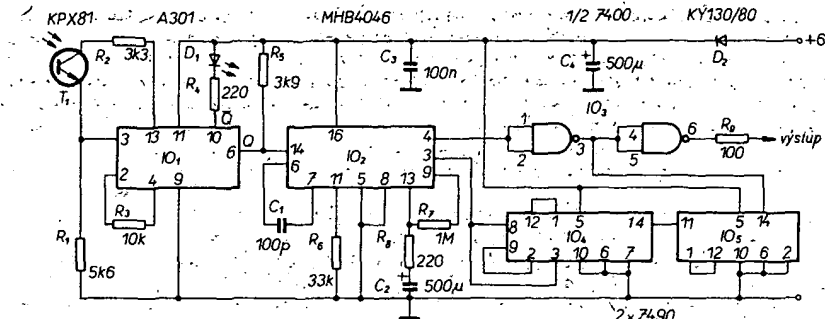
Zapojení číslicového voltmetru s C520D je stejné jako na obr. 28b. Bez připojené analogové části se na displeji nastaví 0,0 odporovým trimrem  $R_1$ . Potom na vstup (vývod 11) přiveďme napětí 900,5 mV a trimrem  $R_2$  nastavíme údaj na displeji tak, aby svítily střídavě číslice 90,0 a 90,1. Po tomto cejchování připojíme k převodníku výstup analogové části. Potom nastavíme offset.  $R_7$  odpájíme z bodu A,  $R_7$  připojíme k bodu B a změnou  $R_{13}$  na displeji nastavíme 00,0. Potom  $R_7$  opět připojíme.

Snímáč není přesně lineární. Přístroj se cejchuje se snímačem v tajícím ledu (0 °C se nastaví změnou  $R_3$ ).

Funkamatér 8/1985

### Digitální otáčkoměr (k čítači) s fázovým závěsem (PLL)

Mnohdy potřebujeme přesně změřit rychlosť otáčení nejrůznějších motorů



Obr. 30. Zapojení otáčkoměru s fázovým závěsem

nebo jiných točivých strojů, ke kterým je špatný přístup. V takovém případě měříme opticky: k otáčivé části připevníme nějakou odrazovou plošku (papír), nebo, je-li otáčivou částí kupř. kolo s paprsky nebo vrtule, nepotřebujeme nic navíc a otáčivou části osvětlíme. Odražené nebo přerušované světlo necháme dopadat na čidlo. Jíž bylo zveřejněno několik takových přístrojů, některé indikovaly rychlosť otáčení panelovým ručkovým měřidlem, některé digitálním voltmetrem s obvodem C520D, ale většinou nebyly přístroje příliš přesné.

Dále popsaný přístroj pracuje, popř. vyhodnocuje rychlosť otáčení poněkud odlišným způsobem. Výsledný údaj – použijeme-li šestimístný čítač – reprezentuje rychlosť otáčení asi od 100 do 150 000 ot/min až do posledního čísla. Protože takový přístroj nepoužíváme denně, byl navržen jako doplněk k čítači (se samostatným napájením).

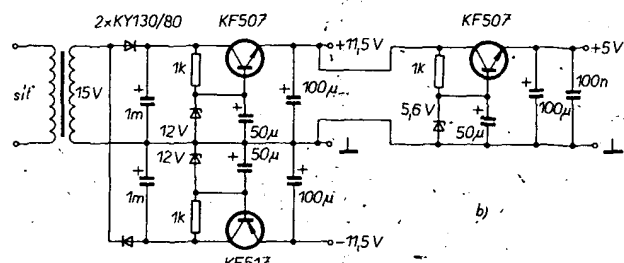
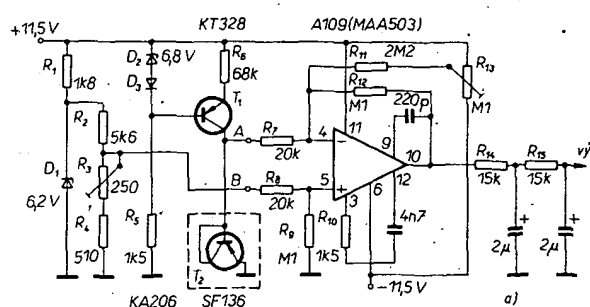
Snímáme-li odražené nebo přerušované světlo z točícího se objektu a takto vzniklé impulsy přivedeme na měřicí kmitočtu, dostaneme údaj v jednotkách Hz. Kupř. otáčí-li se hřídel 3000krát za minutu, měřicí kmitočtu ukáže 50 Hz (3000:60 s = 50). Někdo může namítat, že údaj v Hz můžeme vynásobit šedesáti a dostaneme počet otáček za minutu. To je sice pravda, ale přece bude výhodnější požadovaný údaj vidět na displeji přímo a sledovat – bez neustálého násobení šedesáti – jeho příp. kolísání. Tedy princip zařízení spočívá v tom, že kmitočet, který snímáme opticky, násobíme šedesátkrát, abychom dostali počet otáček za minutu.

Tedy se jedná o násobení kmitočtu. Byl vyzkoušen násobič kmitočtu podle AR-A č. 9/1980, ale zapojení nedávalo použitelné výsledky, protože výstupní „vynásobené“ impulsy se objevovaly ve skupinách a zkreslovaly výsledek měření, čítač počítal náhodný počet impulsů při každé čítací periodě, čísla na displeji se neustále měnila.

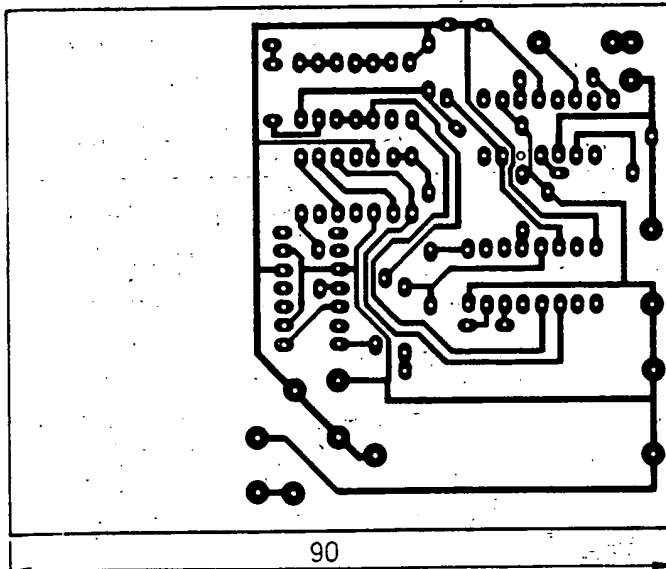
Proto byl použit jiný způsob násobení kmitočtu, s použitím fázového závěsu

(PLL). Použitý obvod CMOS MHB4046 (42 Kčs) obsahuje napěťové řízený oscilátor (VCO), dva komparátory, stabilizační diodu, emitorový sledovač a obvod pro automatické nastavení předpěti vstupu. S tímto obvodem je možné násobit kmitočet vstupního signálu v širokých mezech, v našem případě jsme násobili 60krát. Tento způsob násobení lze použít i v jiných aplikacích, zvláště při měření velmi nízkých kmitočtů.

Zapojení připravku je na obr. 30. Odražené nebo přerušované světlo snímá fototranzistor  $T_1$ . Nejlepší výsledky byly dosaženy s KPX81, ale využívají i KP101 nebo 102, mají však poměrně malý úhel snímání. Fototranzistor umístíme do pouzdra (ze starého fixu), aby nerušilo boční světlo při měření. Impuls zachycené fototranzistorem (je možné použít i fotodiodu) přivedeme na všeobecnou spinaci obvod A301D. Tento obvod obsahuje i stabilizační diodu, není proto třeba stabilizovat napájecí napětí. Na jeho výstupu – Q – dostaneme signál úrovně TTL, jeho druhý výstup –  $\bar{Q}$  – indikuje systém LED libovolného typu, že na vstupu obvodu je impuls, tedy že  $T_1$  snímá. Nesvítili LED, znamená to, že na fototranzistor nedopadá světlo, svítí-li intenzívne nepřerušovaně, je fototranzistor svělem zahlcen. Svítí-li slabě – vlastně přerušovaně, znamená to, že fototranzistor snímá impulsy. Z výstupu Q v tomto případě odeberáme signál úrovně TTL, počet výstupních impulsů odpovídá rychlosti otáčení měřeného objektu v jednotkách Hz.  $IO_2$  spolu s  $IO_3$ ,  $IO_4$ ,  $IO_5$  pracuje jako násobič. Kmitočet výstupního signálu MHB4046 je šedesátnásobkem kmitočtu, který je na jeho vstupu, protože  $IO_4$  a  $IO_5$  dělí kmitočet výstupního signálu šedesáti, a srovnává se tak se vstupním kmitočtem. Výsledkem dosti složité funkce obvodu 4046 (viz ST č. 10/1983) je na jeho výstupu žádaný signál. Přes hradla  $IO_3$  přivádíme výsledný signál na čítač a na displeji přímo čteme počet otáček za minutu. Má-li však měřený objekt vrtule nebo paprsky kol, nezapomeňte výsledek dělit počtem vrtulí nebo paprsků.

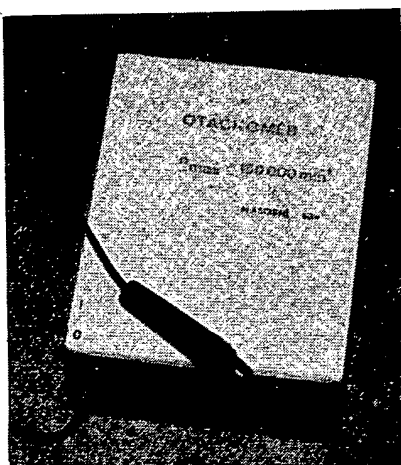


Obr. 29. Digitální teplomér s C520D – analogová část (a) a zdroj (b)

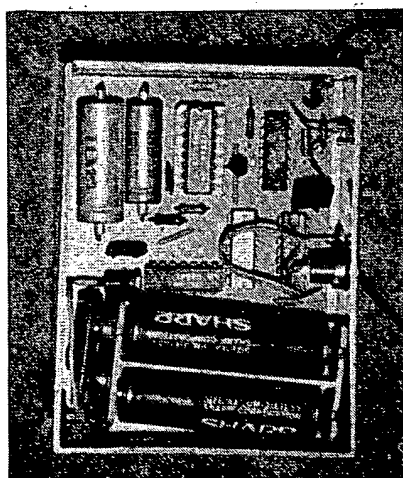


Obr. 30a. Deska s plošnými spoji otáčkoměru (deska U227)

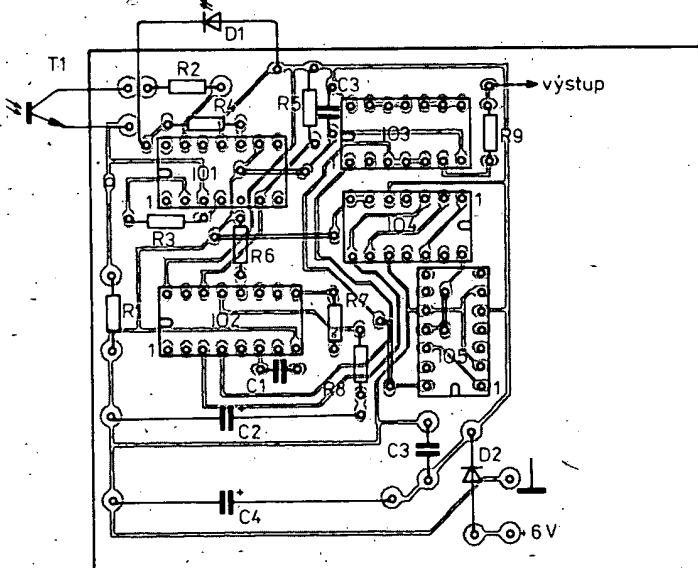
Protože přístroj nemá žádný nastavovací prvek, lze ho jednoduše vyzkoušet měřením kmitočtu sítě. Fototranzistor namířme na svítici žárovku (na její okraj nebo pod ní na bílou podložku) a na displej by se mělo objevit číslo 6000. Většinou však bude displej ukazovat údaj kolem 5940, protože sít nemá kmitočet 50, ale jen asi 49,5 Hz. Aby nedošlo k omylu: neměříme přímo 50 Hz, ale 100 Hz, protože žárovka zhasíná a rozsvěcuje se v jedné periodě dvakrát.



Obr. 31. Vnější vzhled otáčkoměru



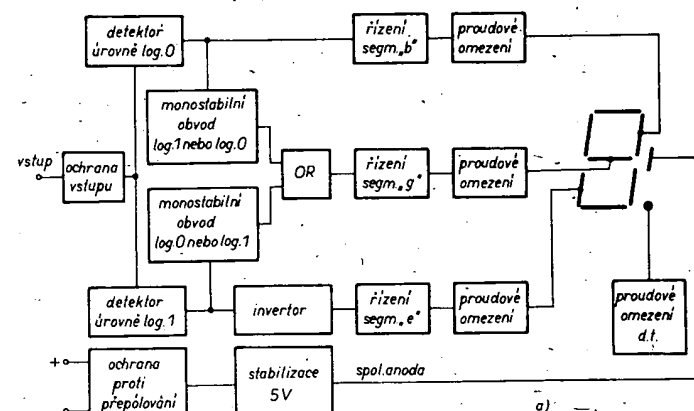
Obr. 32. Vnitřní uspořádání otáčkoměru



Obr. 30b. Schéma zapojení otáčkoměru (schéma U227)

Všechny součástky jsou na jedné desce s plošnými spoji velikosti 60 × 70 mm (obr. 31, 32). Dioda D<sub>2</sub> slouží jednak k ochraně před přepólováním napájecího zdroje, jednak ke zmenšení napájecího napětí 6 V na 5 V pro napájení integrovaných obvodů. Celkový odběr proudu je asi

100 mA, pro krátkodobá měření proto postačí čtyři tužkové články. IO<sub>2</sub> doporučují dát do objímky. Jak již bylo řečeno, přístroj nemá nastavovací prvky, jen v případě potřeby lze nastavit citlivost fototranzistoru změnou R<sub>1</sub>.



Vstup	Tvar	Indikace
log. 0	—	□□
log. 1	—	□□
sym. signál.	□□□□□□□	□□
impulzy kladné	□□□□□□□	□□
impulzy záporné	□□□□□□□	□□
signál nesym. záporný	□□□□□□□	□□□□□□□
signál nesym. kladný	□□□□□□□	□□□□□□□

Obr. 33. Logická sonda s CMOS: blokové zapojení (a) a znaky na displeji (b)

### Logická sonda s obvody CMOS

V minulosti bylo zveřejněno mnoho různých zapojení logických sond jednoduchých i „inteligentních“ a tuto řadu chci rozmnosit sondou, sestavenou z obvodů CMOS. Má několik výhod: malou spotřebu, zdroj je zatěžován jen odběrem segmentů displeje, indikace umožní poznat sedm stavů zkoušeného obvodu, kromě log. 0 a log. 1 zhruba i tvar měřeného signálu, výhodou je i napájecí napětí, které se může pohybovat mezi 5 a 15 V, a použité součástky jsou dostupné.

Princip zapojení je na obr. 33a. Vstup je chráněn proti přetížení i proti přivedení signálu nesprávné polarity. Vstupní signál postupuje na detektory stavu log. 0 a log. 1. Při zkoušení tvarových kmitů by však signál z detektorů nestačil rozsvěcovat segmenty, proto se používají dva monostabilní klopné obvody, spouštění klad-

nými, popř. zápornými impulsy, které trvání impulsů prodlouží. Výstupní impulsy z monostabilních obvodů (které jsou prodlouženy asi na 100 ms) se vedou na směšovač a přes spínací tranzistor na segment g. Tímto způsobem lze detektovat i rozlišovat tvary různých signálů a je zaručeno, že ve stejném okamžiku nikdy nesdílí segmenty několik.

Celkové zapojení sondy je na obr. 34. Sonda se skládá z obvodů s hradly NOR - MH4001. Zenerova dioda  $D_3$  chrání vstup proti přivedené nadměrné napětí, proto střídavý a záporný napětí. Vstupní napětí nesmí být nikdy větší než napájecí, k tomu slouží  $D_2$ .

Cínnost sondy si objasníme na příkladu. Přivedeme-li např. na vstup log. 0, na výstup hradla 1 bude log. 1, tranzistor  $T_1$  se otevře a segment b svítí, indikuje vstupní úroveň: log. 0. Log. 0 na vstupu uvede i vstup hradla 3 na log. 0,  $T_2$  zůstává uzavřen. Při vstupní úrovni log. 1 výstup hradla 1 bude na úrovni log. 0,  $T_1$  zůstává uzavřen, výstup hradla 3 bude nyní ve stavu log. 1,  $T_2$  se otevře a segment e indikuje log. 1. Není-li na vstupu žádné napětí, nebude svítit žádný segment, protože  $R_2$  přivádí na vstup asi poloviční napájecí napětí – na indikaci log. 0 je to mnoho, na log. 1 málo. Přivedeme-li na vstup sondy tvarové kmity, funkce pro indikaci log. 0 a log. 1 zůstávají zachovány, ale změny stavu na výstupu hradel 1 a 3 uvedou v činnost monostabilní obvody z hradel 4, 5 a 6, 7. Diody  $D_4$  a  $D_5$  plní funkci OR (nebo) a tranzistor  $T_3$  rozsvěcuje kromě segmentů b a e i segment g při kladných i záporných impulsech. Jsou-li tvarové kmity symetrické, pak svítí (střídavě, což naše oči nepostráhnou) segmenty b i e. Jsou-li kmity nesymetrické, segmenty b nebo e svítí slaběji.

Desetinná tečka svítí stále, indikuje stav zapnuté sondy, kdy na vstupu není signál. Sondu nastavíme trimrem  $R_3$  tak, že na vstup přivedeme log. 1 – má svítit segment e, potom log. 0 – má svítit segment b. Při volném vstupu má svítit jen desetinná tečka. Kdyby některý segment svítil, otáčíme trimrem tak dlouho, až zhasne.

*Electronique pratique č. 78*

### Impulsní generátor

Pro práci s číslicovou technikou je nezbytnou pomůckou generátor impulsů, u nichž můžeme měnit kmitočet, šířku i mezery, a který je použitelný jak u obvodů TTL, tak i CMOS.

Generátor, který je dále popsán, vyhovuje všem uvedeným požadavkům a navíc je stabilní, protože je řízen kryšlovým

oscilátorem. Z pevného kmitočtu 10 MHz se odvozují všechny časy, trvání impulsů i mezer. Délky impulsů můžeme nastavit od 100 ns po dekadách a tyto časy násobit 1 až 9krát. Totéž platí pro mezery, takže obě tyto veličiny můžeme nastavit libovolně, kupř. impuls o délce 200 ns střídat s mezerou 8 s, nebo třeba obráceně. Provoz generátoru je nepřetržitý, ale přepnutím přepínače můžeme zvolit i jiný druh provozu: na vstup generátoru můžeme přivést tlačítkem jen jediný impuls libovolné délky.

Princip zapojení generátoru je na obr. 35. Signál z oscilátoru 10 MHz se vede do pravého a levého čítače. Log. 1 na výstupu klopného obvodu RS (Q) užívá čítače na pravé straně, čítače na levé straně pracují na kmitočtu nastaveném přepínači  $P_{f3}$  a  $P_{f5}$ . Po ukončení impulsu se logická úroveň na výstupu klopného obvodu mění ( $\bar{Q}$ ), čítače na levé straně jsou zablokovány, pracuje jen pravá strana. Touto úpravou dosáhneme, že levá strana dává impulsy podle nastavení, pravá strana „vyrábí“ intervaly mezi jednotlivými impulsy v závislosti na nastavení přepínačů  $P_{f4}$  a  $P_{f6}$ .

Délka impulsu se vypočte ze vztahu

$$t = N \frac{1}{f}$$

kde  $t$  je trvání signálu,  $N$  je dekadické číslo nastavené přepínači  $P_{f3}$  a  $P_{f5}$ , a  $f$  je kmitočet nastavený přepínači  $P_{f4}$  a  $P_{f6}$ .

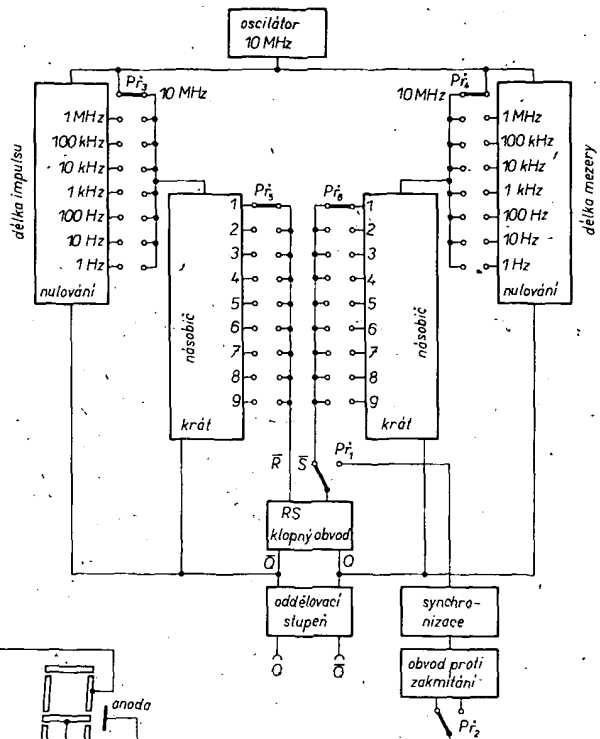
Podrobné zapojení signálního generátoru je na obr. 36. Protože nemáme k dispozici potřebné obvody TTL s malou spotřebou (LS), byl generátor sestaven z obvyčejných TTL.

Oscilátor 10 MHz je v obvyklém zapojení s hradly  $IO_3$  (byly použity obvody 74S00). Kmitočet oscilátoru nastavíme přesně na 10 MHz kondenzátorovým trimrem pomocí čítače. Kromě toho nastavení kondenzátor nepotřebuje žádné další cejchování nebo nastavení. Obvody  $IO_4$  až  $IO_{19}$  jsou dekadické čítače 7490. Potřebné časy se hrubě nastavují přepínači  $P_{f3}$  (trvání impulsu) a  $P_{f4}$  (doba mezer): 1 s, 100 ms, 1 ms, 100  $\mu$ s, 10  $\mu$ s a 100 ns. Abychom mohli dobu impulsů i trvání mezer nastavovat jemněji, můžeme přepínači  $P_{f5}$  a  $P_{f6}$  hrubě nastavené časy vynásobit jednou až devětkrát. Tímto způsobem můžeme nastavit kupř. 10, 20, 30 atd. milisekund, ale nemůžeme nastavit mezikrátké hodnoty, kupř. 25 ms.

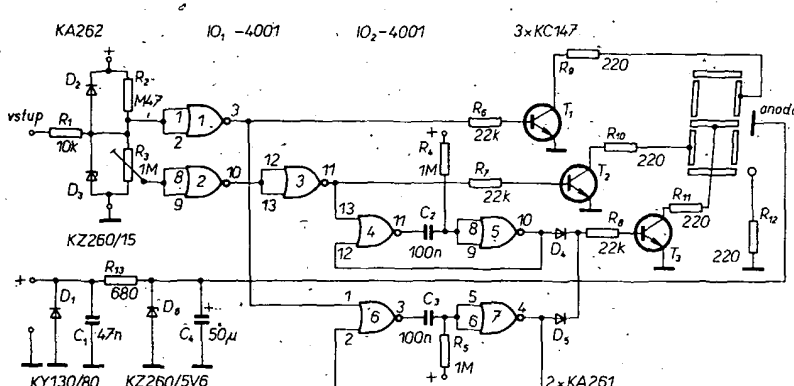
Přepínač  $P_{f2}$  slouží ke změně provozu, po jeho přepnutí na výstupu nebude žádny signál, stisknutím tlačítka  $P_{f1}$  můžeme přivést přes  $IO_2$  na výstup jeden impuls (podle nastavení).

Výstupy generátoru jsou voleny tak, že výstupy Q a  $\bar{Q}$  mají obvyklou úroveň TTL ( $50 \Omega$ ), další pár výstupů Q a  $\bar{Q}$  slouží pro práci s obvody CMOS. Ke každému výstupu CMOS patří i zdírka označená  $+U_b$ , do níž je třeba přivést kladné napájecí napětí zkoušeného obvodu a CMOS. Do zdírky zem je třeba připojit zem zkoušeného obvodu s CMOS.

Výstupy pro TTL jsou na koaxiálních konektorech, výhodné jsou miniaturní typu TX 661. Výstupy CMOS,  $+U_b$  a zem jsou na běžných izolovaných zdírkách, aby se nemohly zaměnit výstupy pro TTL a CMOS.



Obr. 35. Princip zapojení generátoru impulů

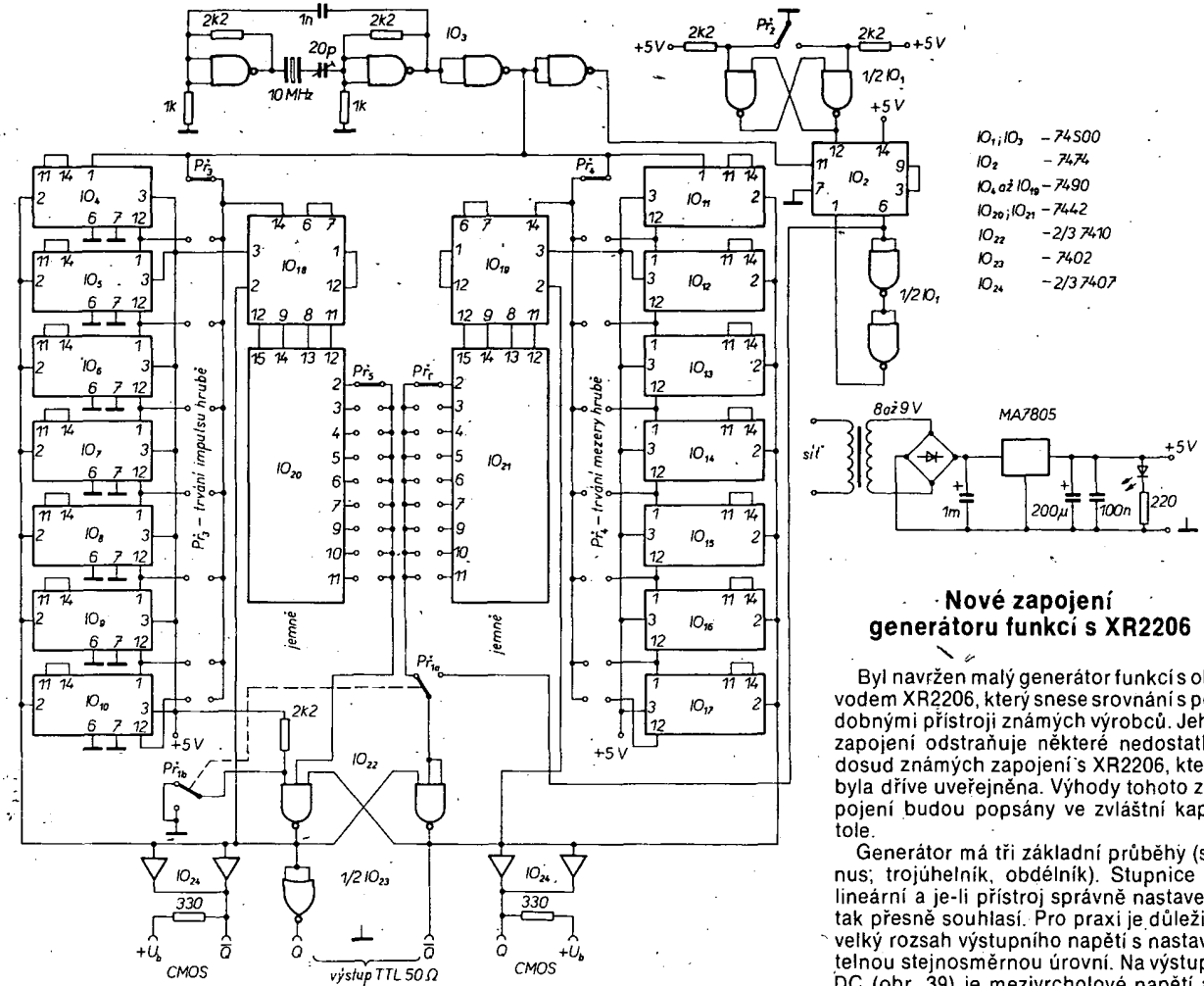


Obr. 34. Schéma zapojení logické sondy s CMOS

Protože je v generátoru použit značný počet integrovaných obvodů, hlavně čítačů, je výhodné použít pro ně objímky, protože při vadném IO je výměna obvodu, především při stěsnané montáži, obtížná.

Při realizaci generátoru nesmíme zapomenout zapájet do rozvodu napájecího napětí dostatečné množství keramických kondenzátorů 68 až 100 nF.

Zdroj je obvyklý, stabilizovaný, výstupní napětí je 5 V, transformátor má být navržen asi na 10 VA, odběr je asi 1 A. Možné uspořádání čelního panelu je na obr. 37.



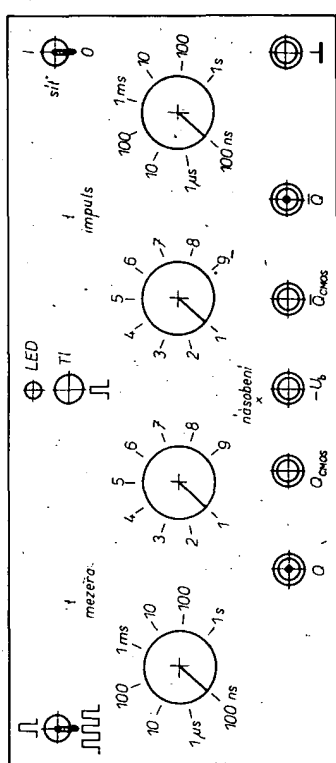
Obr. 36. Zapojení generátoru impulzů (IO<sub>4</sub> až IO<sub>19</sub> = 5 – +5 V, 10 – zem, ostatní 14 – +5 V – zem)

(Vývody 6 a 7 u IO<sub>11</sub> až IO<sub>17</sub> jsou spojeny se zemí)

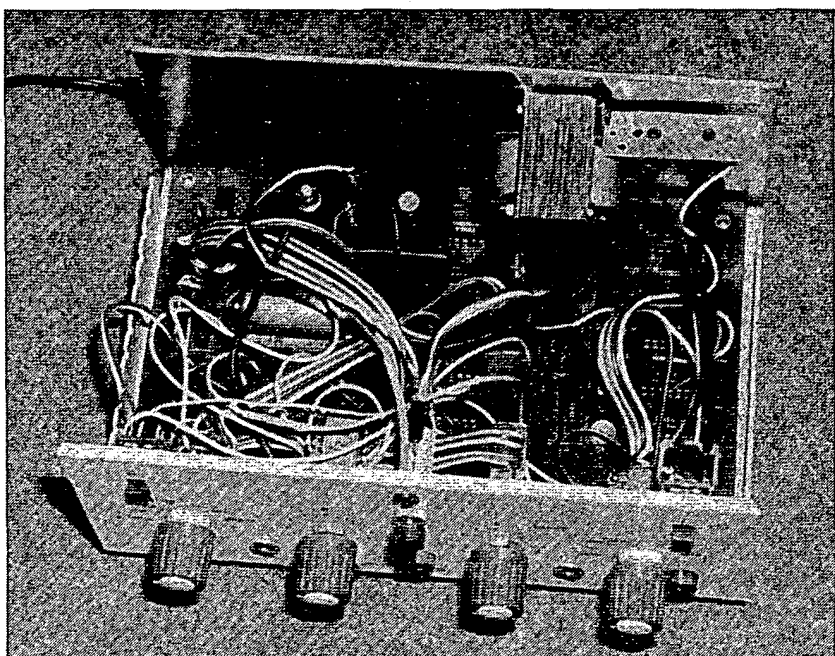
### Nové zapojení generátoru funkcí s XR2206

Byl navržen malý generátor funkcí s obvodem XR2206, který snesne srovnání s podobnými přístroji známých výrobců. Jeho zapojení odstraňuje některé nedostatky dosud známých zapojení s XR2206, která byla dříve uveřejněna. Výhody tohoto zapojení budou popsány ve zvláštní kapitole.

Generátor má tři základní průběhy (sinus, trojúhelník, obdélník). Stupeň je lineární a je-li přístroj správně nastaven, tak přesně souhlasí. Pro praxi je důležitý velký rozsah výstupního napětí s nastavitelnou stejnosměrnou úrovni. Na výstupu DC (obr. 39) je mezivrcholové napětí až 10 V na impedanci 50 Ω. Stejnosměrná úroveň je nastavitelná v rozsahu ±5 V a dovoluje mnohostranné využití pravoúhlé signálů v úrovni TTL nebo CMOS. Na samostatném výstupu pro použití v ní technice je mezivrcholové napětí 0 až 1 V s výstupní impedance 600 Ω.



Obr. 37. Možné uspořádání čelního panelu generátoru impulzů



Obr. 38. Vnitřní uspořádání generátoru impulzů

Aby byly průběhy výstupního signálu co nejvíce srovnatelné, je generátor upraven stejnosměrným závazným zesilovačem s velkou šírkou přenášeného pásma. Tak jako u všech podobných generátorů není sinusový signál odvozený z trojúhelníkovitého nezkreslený, není proto vhodný pro měření u přístrojů hi-fi. Přesto s dosaženým zkreslením 0,5 % můžeme být spokojeni.

Dalším důležitým detailem zapojení je to, že stejnosměrné napětí 0,1 až 10 V na vstupu VCO řídí kmitočet lineárně v rozsahu 1:100, takže rozmitání není žádným problémem.

### Popis zapojení

Napájení je symetrické, stabilizované,  $\pm 15$  V. Jsou použity dva stabilizátory MA7815 (obvody některé třeba chladit). Protože samotný obvod XR2206 musí mít napájení max. 26 V, omezují dvě Zenerovy diody ( $D_7$  a  $D_8$ ) napětí na  $\pm 8$  V. Na toto napájecí napětí nejsou kladený žádné zvláště nároky, neboť XR2206 má interní velmi stabilní zdroj referenčního napětí 3 V (vztaheno k zápornému napájecímu napětí), vyvedený na vývod 10, blokován kondenzátorem  $C_1$ . Toto napětí slouží jako vztahné pro nastavení kmitočtu pomocí  $P_2$ . OZ  $IO_2$  je zapojen jako napěťový sledovač, aby byl vývod 10 co nejméně zatěžován. Na vývodu 7 je rovněž napětí 3 V. Kmitočet generátoru je lineárně úměrný proudu, který teče z vývodu 7. Tento proud (a tím i kmitočet) závisí na napětí na běžci  $P_2$ . Je-li napětí velké (blízké 3 V), teče přes  $R_{10}$  jen malý proud, kmitočet je nejnižší -  $f_{\min}$ . Při nejmenším napětí na běžci  $P_2$  (blízké 0 V) se nastaví nejvyšší kmitočet -  $f_{\max}$ . Trimry  $P_1$  a  $P_3$  lze nastavit nejnižší a nejvyšší kmitočet podle stupnice.

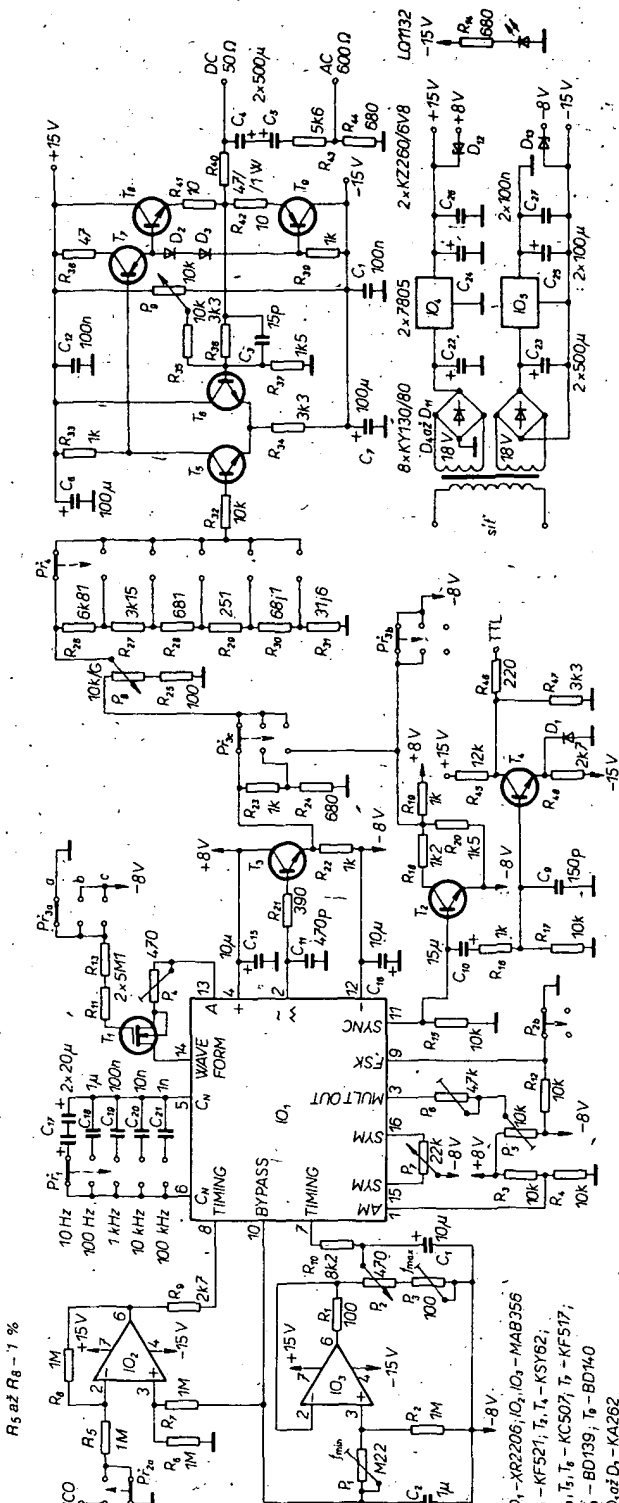
Vývodem 9 (FSK) lze u XR2206 přepnout nastavení kmitočtu z vývodu 7 na vývod 8. Tato možnost je využita pro externí nastavení kmitočtu. Po přepnutí  $P_{2b}$  je kmitočet určován proudem z vývodu 8 a vývod 7 je odpojen. Proud vývodu 8 je odvísly od napětí na  $R_8$ , které je určeno přes OZ  $IO_3$  vnějším řidícím rozpětím na vstupu VCO-IN.

$IO_3$  invertuje řidící napětí, takže jeho zvětšení má za následek zvýšení kmitočtu (u napětí na  $P_2$  je tomu obráceně). Mimoto slouží  $IO_3$  k přizpůsobení vnějšího napětí na požadovaný rozsah kmitočtové změny, proto je také spojeno referenční napětí na vývod 10 s neinvertujícím vstupem  $IO_3$  přes dělič  $R_6/R_7$ .

Kdo nepožaduje vstup VCO, vynechá jednoduše  $IO_3$ ,  $R_5$  až  $R_9$  a místo  $P_{2b}$  dá spojku v poloze INT.

Kmitočtový rozsah je definován kondenzátory  $C_{17}$  až  $C_{21}$ , přepínánými  $P_1$ . Pro první rozsah 1 až 11 Hz jsou použity dva tantalové elektrolytické kondenzátory  $22 \mu F$  zapojeny bipolárně. Pokud máme však možnost použít svítkový kondenzátor  $10 \mu F$ , je to výhodnější.

Přepínač  $P_3$  přepíná tvar výstupního signálu. V poloze „a“ produkuje obvod sinusový signál.  $P_{3a}$  připíná elektronicky (MOSFET KF521) trimy  $P_4$  (nastavení tvaru) na vývody 13 a 14.  $P_{3b}$  zablokovává napětím  $-8$  V tranzistor  $T_2$ , aby se zabránilo „přeslechům“ pravouhlého signálu do sinusového.  $P_{3c}$  konečně připíná signál z emitorového sledovače  $T_3$  na koncový stupeň.



Obr. 39. Generátor funkcí s XR2206

AM (vývod 1) je pevně nastaven pomocí  $R_3$ ,  $R_4$ .

Na vstupu výkonového zesilovače je zapojen regulátor úrovně  $P_8$  a dělič  $R_{26}$  až  $R_{31}$ . Přepínačem  $P_4$  přepínáme úroveň po 10 dB.

Výstupní zesilovač je tradiční bez integrovaných obvodů.  $T_5$  a  $T_6$  tvoří diferenční zesilovač na vstupu. Zpětná vazba přes  $R_{36}$ ,  $R_{37}$  určuje zesílení (3).  $C_3$  zlepšuje stabilitu celého zesilovače. Budí  $T_7$ , a koncové tranzistory  $T_8$  a  $T_9$  jsou zapojeny zcela konvenčně.  $D_1$  a  $D_2$  udržují malý klidový proud koncového stupně.

Resistor  $R_{40}$  určuje výstupní impedanci na výstupu DC a omezuje proud při zkraťování výstupu, takže koncové tranzistory nemusí mít chladič. Potenciometrem  $P_9$  lze posouvat stejnosměrnou úroveň na

výstupu. Výstup AC je stejnosměrně oddělen kondenzátory C<sub>4</sub> a C<sub>5</sub>. Dělič R<sub>34</sub>, R<sub>44</sub> zmenšuje výstupní napětí a zvětšuje impedanční na 600 Ω. K omezení vlivu napájecího napětí je zesilovač i generátor samostatně blokován C<sub>6</sub>, C<sub>7</sub>, popř. C<sub>15</sub>, C<sub>16</sub>.

### Nastavení

Před zapnutím přístroje nastavíme P<sub>8</sub> na max., odporové trimry na střed odporové dráhy, P<sub>2</sub> je v poloze INT, P<sub>3</sub> v poloze „obdělník“, P<sub>1</sub> na 1 kHz. Po zapnutí kontrolujeme signál na výstupu DC. Potenciometrem P<sub>9</sub> nastavíme 0 V a poznáme si potřebné údaje. Potom P<sub>3</sub> přepneme na „trojúhelník“ a trimrem P<sub>6</sub> nastavíme výstupní napětí (mezivrcholové) na shodnou velikost jako u „obdělníku“. Současně trimrem P<sub>5</sub> nastavíme nulovou stejnosměrnou složku. Tyto úkony P<sub>5</sub> a P<sub>6</sub> několikrát opakujeme, až jsou „trojúhelník“ i s úroveň v pořádku.

Potom P<sub>3</sub> přepneme na sinusový průběh a P<sub>7</sub> a P<sub>4</sub> nastavíme minimální zkreslení. Nakonec přístroj ocejchujeme. Ukažatel na P<sub>2</sub> nastavíme tak, aby na obou koncích stupnice přesahoval. Potom nastavíme P<sub>2</sub> na začátek stupnice a pomocí P<sub>1</sub> doladíme na f = 1 kHz. Na konci stupnice nastavíme pomocí P<sub>3</sub> 10 kHz. Ostatní rozsahy souhlasí pak automaticky, ovšem v rozsahu odchylek kondenzátorů C<sub>17</sub> až C<sub>21</sub>, tedy asi ±5 %. Výjimku tvoří první rozsah, mají-li tantalové kondenzátory větší toleranci.

### Výhody tohoto zapojení

U standardního zapojení s XR2206 vzniká při sinusovém a trojúhelníkovitému signálu ve vrcholové části průběhu dosti velký základní, který nelze odstranit. Toto nové zapojení tento jev prakticky odstraňuje.

První příčinou tohoto jevu je jakákoli kapacitní zátěž na vývodech 13 a 14. Stačí krátké přívodní dráty k trimru a přepínači nebo delší spoj na desce. Jediným řešením jsou extrémně krátké spoje mezi vývody IO. Proto připínáme trimr elektronicky tranzistorem MOSFET.

Druhou příčinou je skutečnost, že XR2206 je generátor signálu pravoúhlého a trojúhelníkovitého průběhu s následnou konverzí „trojúhelník-sinus“. Pravoúhlý průběh svými strmými hranami ovlivňuje i ostatní průběhy. Není-li vývod 11 (kolektor spínacího tranzistoru v IO) zapojen nebo zkratován, je sinusovka ještě „čistá“. Jakmile však zapojíme na tento výstup rezistor proti kladnému napětí, vznikají opět rušivé impulsy. Nechceme-li se pravoúhlého napětí vzdát, musíme udržet jeho amplitudu co nejmenší. V našem zapojení je báze tranzistoru T<sub>2</sub> přímo na vývodu 11, dioda B-E omezuje proto amplitudu na 0,6 V. To by ovšem málo pomohlo, kdyby na kolektoru T<sub>2</sub> byl dálé strmý mezivrcholový signál 16 V. Proto přepínačem P<sub>3</sub> zkratujeme T<sub>2</sub>, pokud je žádán jiný signál než pravoúhlý.

Třetí možnou příčinou je rušení „sinusu obdělníkem“ přímo uvnitř obvodu. To se podstatně změní, pokud vývod 1 obvodu, který je určen pro nastavení stejné úrovni sinusového a trojúhelníkovitého signálu, připojíme na kladné napětí +4 V. Pokud bychom rezistor na vývodu 1 přepnali, posouvala by se také s úroveň. Proto jsou amplituda a s úroveň pevně nastaveny P<sub>6</sub>, P<sub>5</sub> a amplituda je korigována na výstupu děličem R<sub>23</sub>, R<sub>24</sub>. Aby bylo možné použít dělič s rezistory malých odporů, bylo nutné zařadit T<sub>3</sub> jako emitorový sledovač. Dělič (5,6 kΩ/3,3 kΩ) při-

mo na vývodu 2 by sice emitorový sledovač uspří, ale za cenu většího zkreslení a větší citlivosti vůči rušení.

Další výhodou je linearita průběhu nastavení kmitočtu způsobená tím, že potenciometrem neřídíme odporník na výstupu 7, ale napětí na rezistoru. P<sub>2</sub> je zapojen jako dělič napětí, z jehož jezdce je odebíráno napětí na R<sub>10</sub>. Dělič P<sub>2</sub> není zapojen na napájecí napětí, aby nebyl jeho kolísáním ovlivňován, ale na výstup stabilního OZ. Tento zesilovač je řízen napětím z vývodu 10, což je interní referenční napětí. To má hlavní přednost v tom, že kmitočet je stabilní.

Také při externém nastavení přes VCO slouží napětí na výstupu 10 jako reference pro optimální stabilitu.

### Závěr

Nesymetrické průběhy „pila“ a „impuls“ vyžadují přepnutí časových konstant. Jejich průběh není zdaleka ideální, proto nebyly použity. Vyšší kmitočty (nad 100 kHz) lze sice získat, ale při značném zmenšení amplitudy (na 1 MHz o více než 10 dB).

Generátor byl také vyzkoušen s číslicovým přednastavením kmitočtu. K tomu byla použita číslicová část generátoru uveřejněná v AR 8, 9, 10/85. Beze změny se použije zapojení obr. 4 a 5 z AR 8/85. Tím získáme číslicový generátor TTL a CMOS. Fázový detektor 2 z obr. 9 z AR 9/85 pozemnění, viz obr. 40. Bod K pojde se vstupem VCO, bod L se dosavadním výstupem TTL generátoru s XR2206. Body O, H zůstávají zapojeny stejně. Ta-

kto upravený generátor pracuje velmi přesně až do 2 MHz, ovšem při výše zmíněném značném zmenšení amplitudy výstupního signálu. Rovněž rychlosť „začátku“ a stabilita jsou dobré, pouze na kmitočtech pod 100 Hz jsou časy delší.

Realizovaný přístroj je na obr. 41 a 42.

Elektronika 12/84

Obr. 41. Vnější vzhled generátoru funkci (viz 4. str. obálky).

Obr. 42. Vnitřní uspořádání generátoru funkci (viz 4. str. obálky)

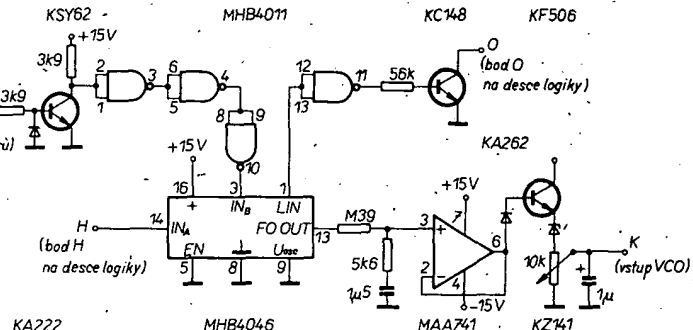
### Nízkofrekvenční rozmitač

Nízkofrekvenční rozmitač je určen pro spolupráci s již popsáný generátorem s obvodem XR2206. Kdo by chtěl tímto rozmitačem doplnit jiný generátor, musí dbát na to, aby generátor mohl zpracovat napětí VCO od 0,1 V do 10 V. To odpovídá poměru kmitočtů 1:100. Jinak by bylo nutné přizpůsobit úrovně.

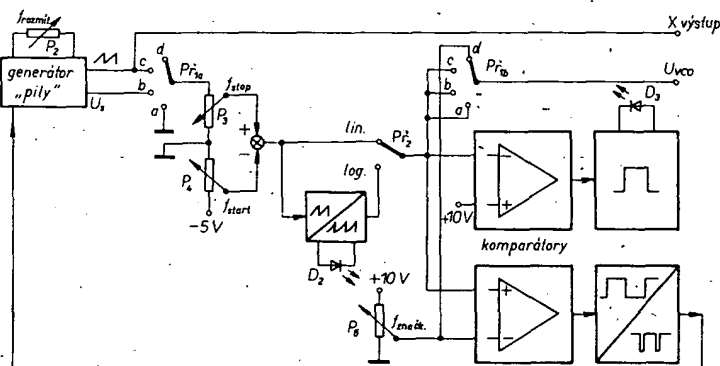
### Blokové zapojení

Nf rozmitač (obr. 43) dodává signály, které bezpodmínečně potřebujeme například k zobrazení průběhu spektra kmitočtu filtru na obrazovce obyčejného osciloskopu. Nejpodstatnější částí přístroje je generátor pilovitých kmitů. Protože osciloskop pracuje při rozmitání v režimu X-Y, musí být interní časová základna osciloskopu nahrazena vnějším zdrojem. Současně řídí tento externí generátor pilovitých kmitů VCO generátoru funkci. Je-li napětí pilovitého průběhu nulové, je kmitočet nf generátoru nízký a paprsek osciloskopu je vlevo. Zvětšuje-li se, posouvá se paprsek doprava a současně se zvyšuje i kmitočet. Na obrazovce se objeví vodorovná kmitočtová osa.

Amplitudová osa probíhá ve svíslém směru. Přivedeme-li tedy výstupní signál nf generátoru na měřený objekt, např. filtr, a výstup z něj na vstup Y osciloskopu, pak dostaneme na obrazovce kmitočtový průběh filtru (amplituda je funkcí kmitočtu). Tolik k základní funkci rozmitače. Blokové schéma však ukazuje ještě více.



Obr. 40. Fázový detektor pro generátor funkci



Obr. 43. Blokové schéma rozmitače

Perioda signálu pilovitého průběhu je proměnná mezi 100  $\mu$ s až 10 s. Tím je i pro nízké kmitočty „pila“ dostatečně „dlouhá“. Pilovitý signál může být ještě před vstupem do VCO generátoru ještě upravován. Za prvé můžeme počáteční a koncový kmitočet rozmitání nastavit dvěma potenciometry. Potenciometrem  $P_4$  volíme počátek, tím se mění nulová poloha pilovitého napětí. Potenciometrem  $P_3$  se nastavuje horní hranice kmitočtu. To odpovídá maximálnímu napětí VCO, popř. kmitočtu. Čítacem můžeme kmitočty „start“ i „stop“ nastavit snadno. Mimoto signalizuje LED  $D_3$  chybné nastavení (indikuje překročení hranice  $U_{VCO} = 10$  V). Je-li  $P_1$  v poloze „a“, je  $P_3$  zkratován a pilovité napětí je odpojeno. Dále nastavíme potenciometrem  $R_4$  ss napětí, které jako  $U_{VCO}$  odpovídá určitému kmitočtu nf generátoru. V tomto případě nejnižšimu, startovacímu. Čítacem pak můžeme na výstupu generátoru funkci přesně změřit kmitočet.  $P_1$  je nyní v poloze b a potenciometrem  $P_3$  můžeme nastavit horní kmitočet.

Dále je u rozmitáče možnost měnit průběh kmitočtové osy z lineárního na logaritmický, což je běžné u zobrazování kmitočtových charakteristik. Průběhy se přepínají přepínačem P2. K tomu je nutné dodat, že nastavení horní a dolní hranice kmitočtu platí jen pro lineární nebo logaritmický průběh. Proto nejdříve zvolíme druh provozu a potom teprvé nastavujeme kmitočty.

Zbývá ještě popsat činnost  $P_6$ . Tím se nastavuje značkovací kmitočet. Při lineárním průběhu můžeme celkem snadno přečíst na kmitočtové ose kmitočet: Při

logaritmickém průběhu to není tak jednoduché. Proto je důležité zavést dělení kmitočtu. Potenciometrem  $P_6$  nastavíme ss napětí, které je půrovnáváno s napětím VCO. Jsou-li obě shodná, vznikne impuls, který zadřízí na krátkou dobu běh pilovitého napětí. Tím vznikne na obrazovce výrazný světlý svislý pruh. Je-li  $P_1$  v poloze d, můžeme čítačem změřit značkovací kmitočet. Značkovací je samozřejmě v provozu i v lineárním režimu. Z popisu funkce vyplývá, že v polohách a, b; d přepínače  $P_1$ , přístroj nerozmítá.

Zapojení

Generátor signálů pilovitého průběhu se skládá z operačních zesilovačů A<sub>1</sub>, A<sub>2</sub>, A<sub>4</sub>, tranzistoru T<sub>2</sub> a časovače IO<sub>1</sub>. A<sub>1</sub> a T<sub>2</sub> tvoří napětím řízený zdroj proudů, který nabíjí kondenzátor C<sub>2</sub> podle polohy P<sub>2b</sub> proudem 0,45 až 45 μA: IO<sub>1</sub>, časovač, je zapojen tak, že kondenzátor je při 5 V na vývodech 6 a 2 (10 V na C<sub>2</sub>) opět vybijen. Je-li kondenzátor vybit tak, že na vývodech 6 a 2 je 0 V (5 V na C<sub>2</sub>), pak počíná nové nabíjení. Jako časovač je použit obvod CMOS ICM7555. Lze však použít i běžný časovač BE555. Pilovité napětí je vedené přes budič (operační zesilovač A<sub>2</sub>) na potenciometr P<sub>3</sub> pro nastavení koncového kmitočtu. A<sub>3</sub> slouží signály z P<sub>3</sub> a P<sub>4</sub> a vyrovnává úrovně tak, aby VCO byl plně vybuzen. Trimrem P<sub>5</sub> se nastavuje minimální napětí VCO, asi 100 mV, pro lineární rozmitání. Přes přepínače P<sub>1b</sub> jde signál pilovitého průběhu na vstup VCO nf generátoru. V poloze d přepínače P<sub>1</sub> je na VCO přivedeno stejnosměrné napětí, nastavene-

né potenciometrem  $P_9$  - značkovací kmitočet.  $A_9$  porovnává tato napětí s řídicím pilovitým napětím a při jejich rovnosti přejde výstup  $A_9$  na asi  $-15$  V. Záporná hrana tohoto impulsu po vytvarování obvodem  $C_1$ ,  $R_3$ , potenciometr  $P_{2a}$  uvede do vodivého stavu FET  $T_1$ , a tím je „běh“ pilovitého napětí pozdržen tak dlouho, dokud impuls trvá. Aby byla délka značkovacího impulsu úměrná nabíjecí době kondenzátoru  $C_2$ , je v obvodu zařazen potenciometr  $P_{2a}$ .

Kontrolní dioda LED  $D_3$  svítí tehdy, zjistí-li komparátor  $A_{10}$ , že je napětí VCO příliš velké. Všeobecně bude tato úroveň menší než 10 V a lze ji nastavit trimrem  $P_7$ . Je-li této úrovni dosaženo, překlopí se  $A_{10}$  a přes „prodlužovač impulsů“  $A_{11}$  je sepnuta dioda LED  $D_3$ .

Protože osciloskop pracuje v režimu X-Y, je zpětný běh paprsku poněkud vidět (s výjimkou roztaženého sinusového signálu). Kdo má k dispozici osciloskop se vstupem Z (zpětný běh), může tento nedostatek snadno odstranit: Je jen třeba příslušně propojit vstup  $\beta$  časovače IO, a osciloskop, popř. lze tento signál invertovat nebo se musí upravit iho úroveň.

Převodník lineárního průběhu na logaritmický má standardní zapojení, které najdeme v každé učebnici. Zapojení  $A_6$ ,  $A_7$  je sice teplotně kompenzováno  $T_3$ ,  $T_4$ , ale pro naše účely to nestačí.  $T_3$  a  $T_4$  musí být udržovány na konstantní teplotě. Zapojení se skládá z  $A_8$ ,  $T_5$ ,  $T_6$ ,  $T_7$ . Tranzistor  $T_3$  až  $T_7$  jsou ve společném pouzdro. Tak lze teplotu tranzistorů  $T_3$  a  $T_4$  snadno kontrolovat a regulovat.  $T_5$  pracuje jako teplotní čidlo ( $2 \text{ mV}/^\circ\text{C}$ ). Rozdíl napětí  $E-B$  (asi  $0,6 \text{ V}$ ) a napětí na  $R_{20}$  je zesílen v  $A_8$ . Takto získané napětí řídí proudové zdroje s  $T_6$  a  $T_7$ . Je-li  $U_{B-E}$  větší než  $U_{R20}$ , teče proud přes  $T_6$  a  $T_7$  a ohřívá čip s tranzistory. Dosahne-li teplota čipu velikost nastavené  $P_0$ , zmenší se i řídící proud pro  $T_6$  a  $T_7$ . Tak se nastaví rovnovážný stav, který propouští přes  $T_6$  a  $T_7$  právě takový proud, aby čip měl správnou teplotu. Tepevná vazba je realizována uvnitř pouzdra, takže nepotřebujeme žádný zvláštní termostat.

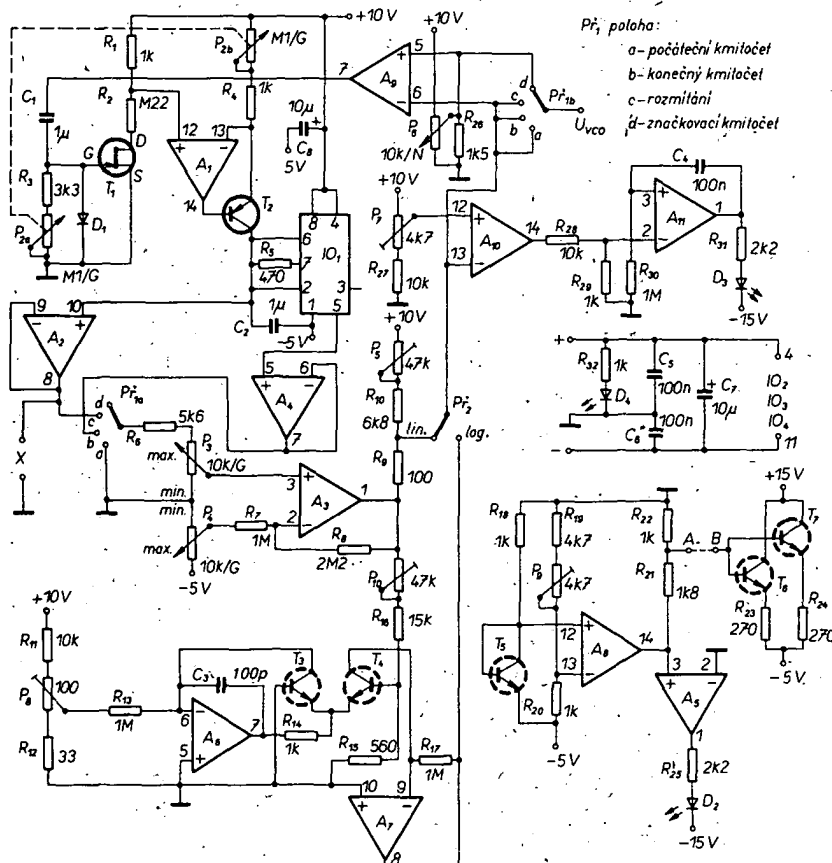
Má-li tento obvod správnou teplotu, zhasne dioda LED D<sub>2</sub>. Napětí na výstupu A<sub>5</sub> je -5 V až 0 V. Pět tranzistorů v jednom čipu vyrábí několik firem např. pod označením CA3086, CA3046, TBA331 atd.

Jako operační zesilovače jsou použity čtyřnásobné „fetové“ OZ TL084, které se vyrábějí také v NDR pod označením B084.

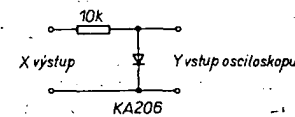
Nastavení

Rozmítač spojíme s generátorem. Nejdříve nastavíme termostat. Číslicovým voltmetrem změříme napětí mezi vývody 12 a 13 A<sub>8</sub> (I<sub>O3</sub>). Toto napětí se trimrem P<sub>9</sub> nastaví na 60 mV (vývod 12 je „kládny“). Pak přístroj vypneme a mezi body A-B připojíme drátovou propojku. Zapneme-li nyní opět přístroj, pak musí po krátké době dioda LED D<sub>2</sub> zhasnout. Potom vytocíme potenciometr P<sub>2</sub> zcela vlevo. Na výstup X připojíme osciloskop (pozor – zde ještě propojit se vstupem Y podle obr. 45) a zkонтrolujeme napětí pilovitého průběhu. Osciloskop je nastaven na ss provoz a 50 mV/dílce.

Na generátoru nastavíme rozsah 1 kHz.  
Na výstup TTL připojíme čítač, Př, nasta-



Obr. 44. Schéma zapojení rozmitáče ( $A_1$  až  $A_4$  –  $IO_3$ ,  $TL084$ ,  $A_5$  až  $A_8$  –  $IO_3$ ,  $TL084$ ,  $A_9$  až  $A_{11}$  –  $3/4\ IO_4$ ,  $TL084$ ,  $T_3$  až  $T_7$  –  $IO_5$ ,  $CA3046$ ,  $T_1$  –  $BF256$ ,  $T_2$  –  $BC177$ ,  $D_2$  až  $D_4$  –  $LQ1132$ )



Obr. 45. Zapojení pro oživování

víme do polohy a a P<sub>2</sub> do polohy „lineární rozmitání“. P<sub>4</sub> vytocíme zcela doleva. Tri mr. P<sub>5</sub> nastavíme nejprve doleva a potom otáčíme tak dlouho zpět, až čítací ukáže kmitočet 1 kHz.

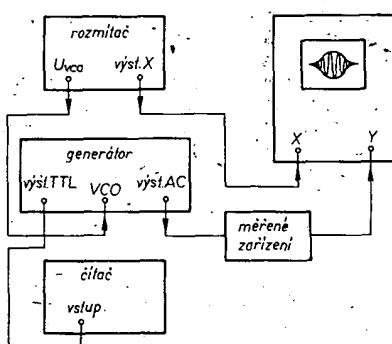
Pak přepneme P<sub>2</sub> do polohy „logaritmické rozmitání“, P<sub>4</sub> nastavíme zcela doleva. Rozmitka vypne, P<sub>6</sub> nastavíme doleva (ve směru k R<sub>11</sub>). Nyní přístroj opět zapneme a P<sub>8</sub> otáčíme pomalu zpět, až čítací ukáže 1 kHz.

Potom nastavíme P<sub>1</sub> do polohy b, P<sub>4</sub> je na minimum a P<sub>3</sub> na maximu. Rídící napětí U<sub>VCO</sub> se nyní nastaví trimrem P<sub>10</sub> na  $\pm 11$  V.

Poslední nastavení spočívá v tom, že P<sub>3</sub> nastavíme na minimum, P<sub>2</sub> na lineární rozmitání, P<sub>1</sub> do polohy b. Otáčíme trimrem P<sub>3</sub> tak, až se na čítaci objeví 102 kHz. Pak nastavíme P<sub>7</sub> tak, aby dioda LED D<sub>4</sub> právě zhasla. Zvýšme-li kmitočet, musí se dioda D<sub>3</sub> opět rozsvítit. Tím je nastavování skončeno.

Zdroj není blíže popsán. Je potřeba stabilizovaný zdroj se čtyřmi napěti, +15 V, +10 V, -5 V, -15 V; +10 V a -5 V vytvoříme z  $\pm 15$  V např. obvody MAA723. Napětí  $\pm 15$  V můžeme přivést z generátoru nebo postavíme zdroj ze stabilizátoru MA7815. V původní verzi byly použity nedostupné zahraniční stabilizátory.

Na obr. 46 je typické uspořádání měřicího pracoviště. Chceme-li rozmitat převáž-



Obr. 46. Uspořádání měřicího pracoviště

ně logaritmicky, můžeme P<sub>3</sub> nahradit lineárním typem, címž se usnadní nastavování kmitočtu. Přepínač rozsahů generátoru nesmí být nastaven na 10 kHz, je-li připojen rozmitka. Kmitočtový rozsah je totiž max. 100 kHz, zatímco VCO by v tomto případě nastavovalo až 1 MHz.

*Elektor 11/85*

### Navíječka s regulací a digitálním počítadlem

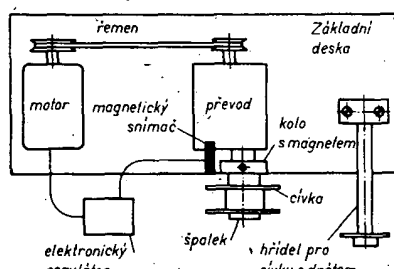
Kdo staví často různá zařízení, obvykle potřebuje navinout menší transformátor nebo cívku. Transformátor „na míru“ většinou nedostane cívku jakbysmet, tedy nezbývá nic jiného, než vlastnoruční výroba. Transformátor můžeme sice vinout ručně, počítat však několik tisíc závitů není právě nejlepší zábava. Proto jsem si před několika lety sestavil jakýsi navíječi kombajn, na který jsem měl několik požadavků:

- možnost navíjet drátem o  $\varnothing 0,05$  mm až do 0,5 mm (závisí na hnacím motoru a převodech);
- možnost plynule reguloval rychlosť navíjení;
- jednoduché mechanické díly;
- nepoužít mechanický počítáč závitů;
- regulovat rychlosť a tah nožním pedálem, aby obě ruce byly volné.

Nejprve je třeba sehnat pohonnou jednotku. Nejhodnější je univerzální motor (který se dá reguloval) asi 100 W. Je možné použít i elektrickou vrtačku, pro kterou bude třeba udělat vhodné uchytečení (obr. 47). V tomto případě nepotřebuje-

Obr. 47. Navíječka cívek s digitálním počítadlem závitů (viz 4. strana obálky)

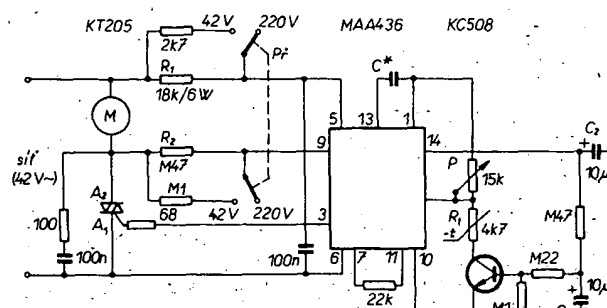
me zvláštní motor, vrtačka i nadále může sloužit i svému původnímu účelu. V zařízení jsem použil starou elektrickou vrtačku 42 V/100 W, která byla již jako vrtačka téměř nepoužitelná, měla „vyběhanou“ ložiska, ale v navíječce ještě slouží k plné spokojenosnosti. Dalším mechanickým dílem je převodová „skříň“, sloužící i pro uchycení navíjené cívky. Je vhodný převod do rychla (2 až 5krát). Potom od motoru může být ozubeným koly, řemenem nebo řetězem, záleží na tom, co lze sehnat. K upevnění navíjené cívky postačí dvěřné špalíky různých velikostí podle nejčastěji používaných cívek transformátorů (M nebo EI), které přesně v ose provrátáme a šroubem upevníme na hřidel navíječky. Na stejný hřidel upevníme i kolečko z plastu nebo dřeva, na jehož obvod přilepíme (zahlučebně) malý feritový magnet. Nejlépe se hodí váleček o  $\varnothing$  asi 5 mm. Tímto magnetem budeme snímat otáčky – tedy počítat závitů. Na podložku, na níž je celé zařízení upevněno, pevně přišroubujeme dostatečně tlustý hřidel se šroubem na konci pro cívku s drátem, jímž vineme transformátor. Budeme-li používat větší cívky s tenkým drátem, pak bude třeba hřidel opatřit jemnými kulíčkovými ložisky, aby se těžká cívka snadno otáčela, jinak se drát bude trhat. Sestava by principiálně měla vypadat podle obr. 48. Tolik o mechanice navíječky, kterou každý zájemce si musí přizpůsobit svým možnostem.



Obr. 48. Základní uspořádání navíječky

Elektronická část se skládá ze dvou dílů:

- regulátor rychlosti otáčení motoru (pomalý rozbeh);
- počítadlo otáček (závitů) s magnetickým bezkontaktním snímačem.



Obr. 49. Regulační obvod pro napájení navíječky

### Regulace rychlosti otáčení motoru a pomalý rozbeh

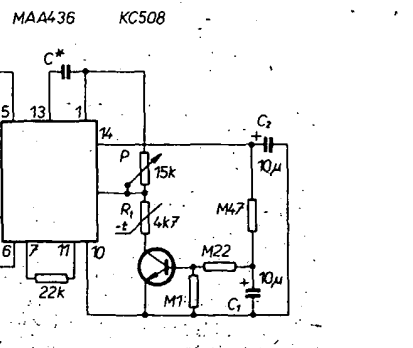
Zapojení je na obr. 49. V uvedeném zapojení můžeme použít univerzální motor 42 V nebo 220 V – přepínač dámě jen do odpovídající polohy. Rychlosť motoru je regulovala triakem, jeho otevíráni a zavíráni řídí integrovaný obvod MAA436 pro fázové řízení tyristorů a triaků s pomocným obvodem. Řídícím prvkem je potenciometr, zapojený jako proměnný odpor, zvětšováním odporu zvětšujeme rychlosť otáčení motoru. Použitý motor začíná pracovat při odporu P asi 2000  $\Omega$ . Potenciometr upravíme tak, že ho budeme ovládat nožním pedálem, pomalým stačováním pedálu se motor velmi pomalu začíná otáčet, rychlosť otáčení se postupně zvětšuje, při navíjení se proto nepetrhrne ani velmi tenký drát. Pomalý rozbeh trvá několik sekund, pak již řídíme tah i rychlosť podle potřeby. Termistor může být libovolný, místo něj lze použít i rezistor stejněho odporu. Velmi důležitý je výběr kondenzátoru C. Jmenovitá kapacita kondenzátoru je 47 nF, zmenšíme-li ji na 33 nF, motor se nezastaví, zvětšíme-li ji na 68 nF, velmi zpožďujeme rozbeh motoru. Při zapnutí jsou kondenzátory C<sub>1</sub> a C<sub>2</sub> bez náboje, tranzistor je uzavřen, řídící elektroda triaku je bez napěti. Motor stojí. Pomalým nabijením kondenzátorů se otevírá tranzistor (podle polohy běže potenciometru P), triak se pomalu otevírá a napětí na motoru se pomalu zvětšuje a motor se pomalu a plynule rozebíhá. Zastavení motoru při uvolnění pedálu je okamžité.

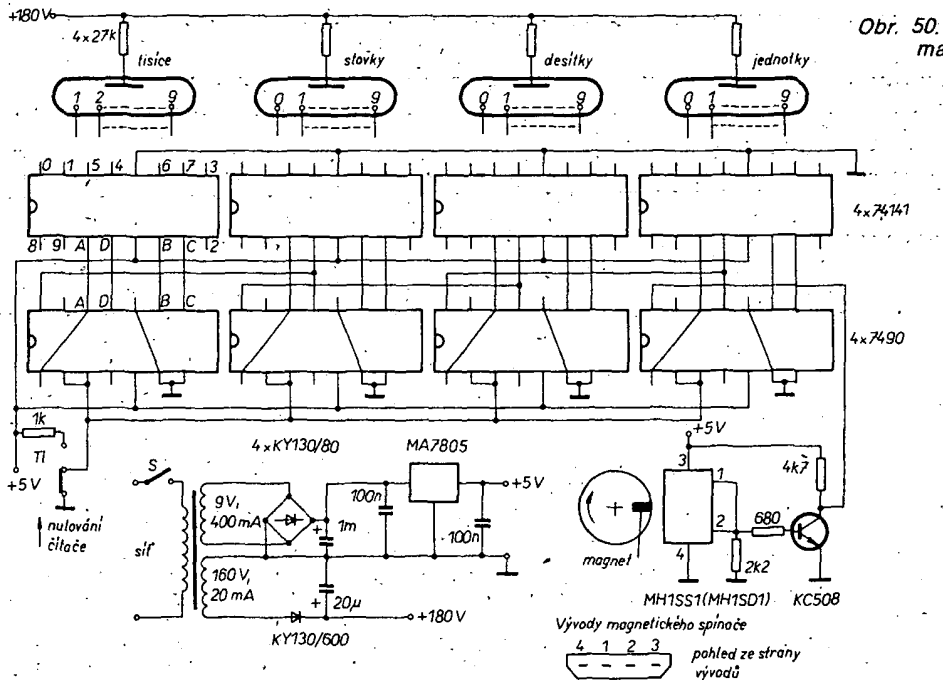
Navíjený drát vedený ručně, mechanické vedení by vyžadovalo velmi přesnou a náročnou mechanickou práci; podle mnohaletých zkušeností je ruční vedení zcela vyhovující.

### Počítadlo s magnetickým snímačem

V zásadě bylo možno počítat navinuté závitý i mechanickým počítadlem (kupř. z vyřazeného elektroměru apod.); to však není moderní řešení a má i různé „mouchy“. Vzhledem k tomu, že se ve výrodeji objevují levné digitrony, použil jsem čítací z nich se spojení s bezkontaktním snímačem otáčení hřidele jako počítadlo počtu závitů. Jedinou nevýhodou tohoto způsobu je, že při případném odvýmení závitů „neumi“ počítadlo závitý odpočítávat. Zapojení je na obr. 50.

Jak již bylo řečeno, na hřidle navíječky je upevněno kolečko s magnetem. Při každém otočení hřidele, tedy při každém závitu magnet přeběhne v těsné blízkosti magnetického spínače MH1SS1 (Hallův generátor, ve spojení s klopním obvodem). Působením magnetického pole se na výstupu klopného obvodu objeví log. 1





Obr. 50. Počítač s magnetickým snímačem a zdroj pro navíječku

a připojený čítač dostane jeden impuls, který čítá. Tedy každé otočení hřidele (každý navinutý závit) je počítán čítačem. Ctyřmístný čítač umí počítat do 9999, potom začíná znova. První místo – tisice – je potlačeno, pokud není indikováno alespoň číslo 1, nula na tomto místě není tedy indikována.

Magnetický snímač MH1SS1 (MH1SD1) je třeba stabilně upevnit tak, aby jeho aktívna plocha byla těsně nad rotujícím magnetem ve vzdálenosti asi 0,5 mm, a aby otresy nemohly měnit jeho polohu. Jeho vývody vedeme do krabice čítače, která je umístěna někde poblíž.

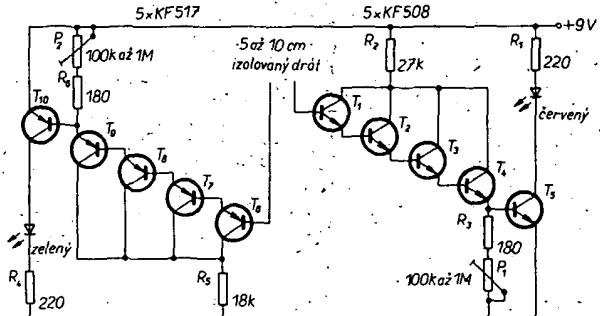
Čítač je obvyklého provedení, impulsy ze snímače, které jsou na úrovni TTL; zpracovávají desítkové čítače 7490 a přenášejí do dekodérů 74141, které budí digitrony. Tlačítko TI (Isostat) slouží k nulování čítače při zapnutí a podle potřeby. Zdroj je jednoduchý, k napájení logiky dává stabilizované napětí 5 V a k napájení digitronů po jednoduchém usměrnění a vyhlazení asi 180 V.

### Elektroskop s tranzistory

Dříve narozeni ještě pamatuji z fyzikálních kabinetů láhev, na jejím hrdle kovovou kouli a uvnitř dva staniolové pásky. Když se profesor koule dotkl ebonitovou tyčí, kterou předtím několikrát přetřel liščím ocasem, staniolové pásky se od sebe oddávaly: indikovaly přítomnost statického elektrického náboje. To byl elektroskop.

Bez liščího ocasu (který prodejny radiotechnického materiálu vedle jiných potřebnějších součástek nemají na skladě) můžeme indikovat elektrostatické pole podle obr. 51. V podstatě se jedná o dva oddělené tranzistorové stupně s minimálně velkým zesílením. Jedna strana reaguje na záporné, druhá na kladné pole statické elektriny. Velkého zesílení dosahujeme čtyřstupňovým Darlingtonovým zapojením tranzistorů, získáme nejen velké zesílení, ale i velkou vstupní impedanci.

Obr. 51. Elektroskop s tranzistory



Předpokládejme, že proudové zesílení tranzistorů je 200 a impedance emitoru  $T_4$  200  $\Omega$ . Na bázi  $T_4$  bude vstupní impedance  $200^2 = 40 \text{ k}\Omega$ , na bázi  $T_3$   $200^2 = 8 \text{ M}\Omega$  a tak dále, na bázi  $T_1$  to bude  $320 \text{ G}\Omega$ . Proudové zesílení od báze  $T_1$  do emitoru  $T_4$  bude  $200^4$  – proto na vstupu, tj. na bázi  $T_1$  postačí proud 10 pA (pikoampér), aby se tranzistory otevřely. Více tranzistorů do větve už nemůžeme zapojit, protože proud křemíkových tranzistorů je již rádově stejný.

Statický náboj malé „antény“ v bázi  $T_1$ , popř.  $T_6$  postačuje, aby se tranzistory  $T_1$  až  $T_5$ , popř.  $T_6$  až  $T_{10}$  otevřely. Je-li statické pole stálé, diody LED budou svítit stálým světlem, je-li pole slabé nebo mění-li se, LED budou blikat. Přístroj může např. v letech měsících indikovat blížící se bouři již na značně věkou vzdálenost.

K napájení postačí devítivoltová destičková baterie, deska s plosnými spoji musí být z kvalitního materiálu, nikoli z cuprexcartu. Přístroj má být vestavěn do kovové krabice. „Antény“ v délce asi 10 až 15 cm jsou z měděného drátu s polyetylénovou izolací.

ELO 12/1977

může, v kuchyni při vaření, při různých procesech s lepidly, při chemických pokusech, při nahrávání atd.

Pro jednoduchost a menší náklady ne použijeme krystalový oscilátor; přesnost 1 %, které můžeme dosáhnout i bez krystalu, pro uvedené účely postačuje.

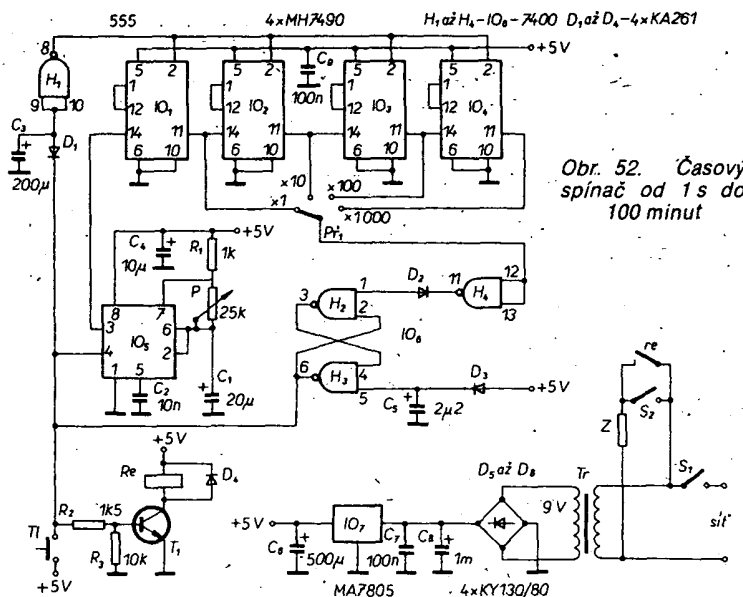
Zapojení spínače je na obr. 52. K napájení potřebujeme stabilizovaný zdroj napájení obvodů TTL. Jako síťový transformátor vyhoví typ pro odběr proudu 300 až 400 mA při napájení asi 8 až 9 V. Usměrněním a stabilizovaným napětím pak napojíme celé zařízení.

Místo krystalového oscilátoru použijeme časovač 555, který je schopen s  $R_1$  a kondenzátorem  $C_1$  generovat časové intervaly asi od deseti do šedesáti sekund. Zmáčknutím tlačítka TI sepneme relé a zároveň se začíná čítat čas – čítače jsou otevřeny. IO\_1 dělí kmitočet oscilátoru a po načítání devíti impulsů přes hradla  $H_2$  až  $H_4$  se na tranzistor  $T_1$  dostane záporný impuls, který jej uzavře a kotva relé odpadne. Potenciometrem P nastavíme čas jemně, přepínacem P při pak tento čas násobíme podle požadavku. Změnou P a  $C_1$  můžeme dobu spinání nastavit v širokých mezích. Spínačem  $S_2$  můžeme zátěž Z spinat nezávisle.

Revista Espanola, leden 1984

### Digitální signální hodiny s dvojím nastavitelem časem

V současné době je stavba digitálních hodin z jednotlivých integrovaných obvodů anachronismem, protože existují de-



Obr. 52. Časový spínač od 1 s do 100 minut

sítky druhů speciálních integrovaných hodinových obvodů pro tento účel, k nimž se připojí jen napájecí napětí, ovládací prvky a displej, příp. oscilátor (u nás není kmitočet sítě většinou přesně 50 Hz).

Protože však u nás nejsou integrované hodinové obvody běžně dostupné, zájemci, pokud chtějí mít digitální hodiny, jsou je nuten stavit z řady integrovaných obvodů. Když však už chceme postavit digitální hodiny tohoto druhu, pak je můžeme vybavit dvěma, nebo i několika ovládacími prvky pro buzení, popř. signalizaci. To znamená, že na hodinách bude několik přepínačů, každý z nich bude možné nastavit na jiný čas a při každém nastaveném času hodiny dávají signál nebo sepnou relé – podle našich potřeb. Protože hodiny indikují 24 hodin, intervaly mezi signály je možné nastavit od dvou minut do 23 hodin 58 minut. Trvání signálu je jedná minuta.

Hodiny se skládají z krystalem řízeného oscilátoru, z dělícího řetězce, nastavovacího obvodu, z dekodérů s indikací, z nastavovacích obvodů signalizace, z vybavovacího obvodu a ze zdroje.

Na obr. 53a je oscilátor s dělícem a nastavovacím obvodem. Oscilátor je velmi jednoduchý, skládá se jen z jednoho hradla obvodu 4011, které spolehlivě rozkmitá krystal 32,768 kHz. Krystal pochází z nepracujících digitálních náramkových hodin, které se dají obvykle sehnat. Kondenzátory C<sub>1</sub> a C<sub>2</sub> slouží k přes-

němu nastavení kmitočtu, obvykle postačí měnit C<sub>2</sub>. Kdyby se hodiny opoždovaly i po nastavení, je třeba zmenšit kapacitu kondenzátoru C<sub>1</sub> (nebo obráceně). Tlačítkem STOP při nastavování zastavíme oscilátor. Pokud zbyvající tři hradla z IO, nepoužijeme, spojíme jejich vstupy a uzemníme je.

Signál z oscilátoru vedeme na čtrnáctibitový dvojkový čítač IO<sub>2</sub> (MHB4020), na jeho výstupu dostaneme kmitočet 2 Hz. Protože k řízení potřebujeme kmitočet 1 Hz, použijeme polovinu klopného obvodu MHB4013, na jehož výstupu bude signál 1 Hz (1 s). Toto hradlo můžeme nahradit obvodem TTL 7474 (viz obr. 53a). Signál 1 Hz přes tranzistor T<sub>1</sub> pivedeme na dvě svítivé diody zapojené v sérii, které umístíme mezi číslicemi hodin a minut; LED budou blikat a indikovat tak činnost oscilátoru, tj. hodin.

Sekundový signál vedeme na dva čítače 7490, na výstupu IO<sub>5</sub> dostaneme minutové intervaly, které již budou řídit chod hodin. Pomoci IO<sub>6</sub> a IO<sub>7</sub> můžeme hodiny nastavovat. Zmáčkneme-li přepínač P<sub>1</sub> (může být Isostat bez aretace nebo mikrospínač), budou přemostěny děliče IO<sub>4</sub> a IO<sub>5</sub> a sekundové impuly projdou hradly a „minuty“ budou skákat po sekundách. To je pomalé nastavování. Stiskneme-li současně P<sub>1</sub> a P<sub>2</sub>, pivedeme signál 64 Hz, hodiny běží rychle. Po nastavení žádaného času hodiny zastavíme tlačítkem STOP, počkáme na signál z rozhlasu

nebo TV, a vybavením tlačítka uvedeme hodiny do chodu na sekundu přesně.

Z IO<sub>7</sub> postupuje minutový signál na další dělící řetěz složený z IO<sub>8</sub> až IO<sub>23</sub>, řídící dekodéry IO<sub>20</sub> až IO<sub>23</sub>, přes které jsou indikovány minuty, desítky minut, hodiny a desítky hodin (obr. 54). Indikace je čtyřiadvacetihodinová, po 23.59 se hodiny vynulují.

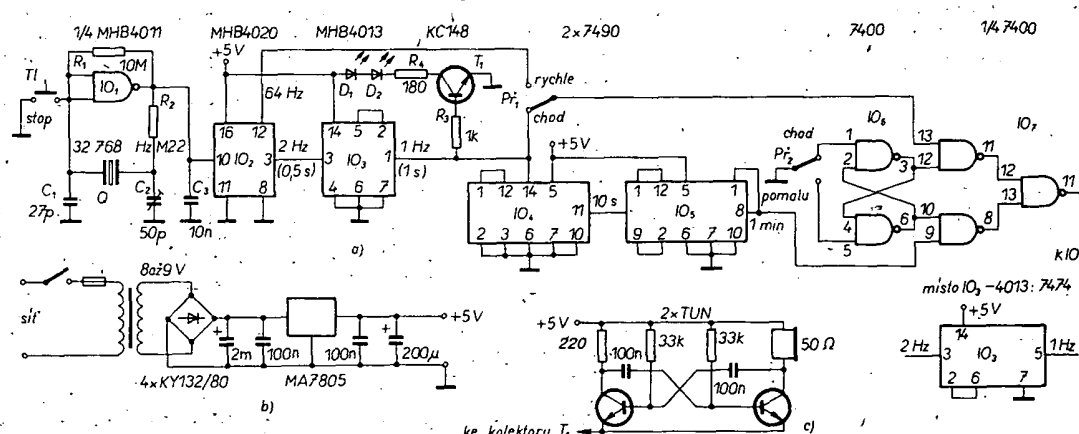
Signalizace je řešena převodníky z kódu BCD na kód 1 z deseti: IO<sub>12</sub> až IO<sub>19</sub>. Ke každému čítači, IO<sub>8</sub> až IO<sub>11</sub>, jsou na výstupy BCD připojeny dva dekodéry 7442, aby bylo možné nastavit dva, na sobě nezávislé časy. Na výstupech IO<sub>12</sub> až IO<sub>19</sub> dostaneme v číselném vyjádření kód BCD, který je přes dekodéry IO<sub>20</sub> až IO<sub>23</sub> přiváděn na displeje (také v číselné formě). Z těchto údajů snímáme stav hodin přepínači P<sub>A1</sub> až P<sub>A4</sub>, popř. P<sub>B1</sub> až P<sub>B4</sub>. Na každém segmentu přepínače musí být log. 1 nebo log. 0, tyto logické úrovně přes invertory přivádíme na vstupy hradla IO<sub>25</sub>. Bude-li přepínač nastaven na určité číslo (tj. určitý čas v minutách a hodinách) a budou-li hodiny ukazovat stejný čas, na všech výstupech hradla IO<sub>25</sub> budejú úrovně log. 1, na jeho výstupu bude log. 0, přes inverter a diodu D<sub>3</sub> (D<sub>4</sub>) se otevře tranzistor T<sub>2</sub> a napájí generátor signálu (nebo relé). Tento stav trvá jednu minutu, protože se mění na hodinách minutu, na výstupech hradla již nesouhlasí logické stavy, výstup hradla se překlopí, tranzistor T<sub>2</sub> se uzavře.

Pro nastavení signalizace budou nejvýhodnější tzv. palcové přepínače (otočný číslíkový spínač TS 212). Potřebujeme dva po čtyřech segmentech (dva časy – čtyři čísla). U prvního segmentu postačí zapojit jen 0, až 2, u třetího 0 až 5, u ostatních všechny od 0 do 9 – ostatní čísla se na hodinách nepoužívají. Přepínač A se čtyřmi segmenty je pro nastavení prvního „signálního“ času, přepínač B pro nastavení druhého.

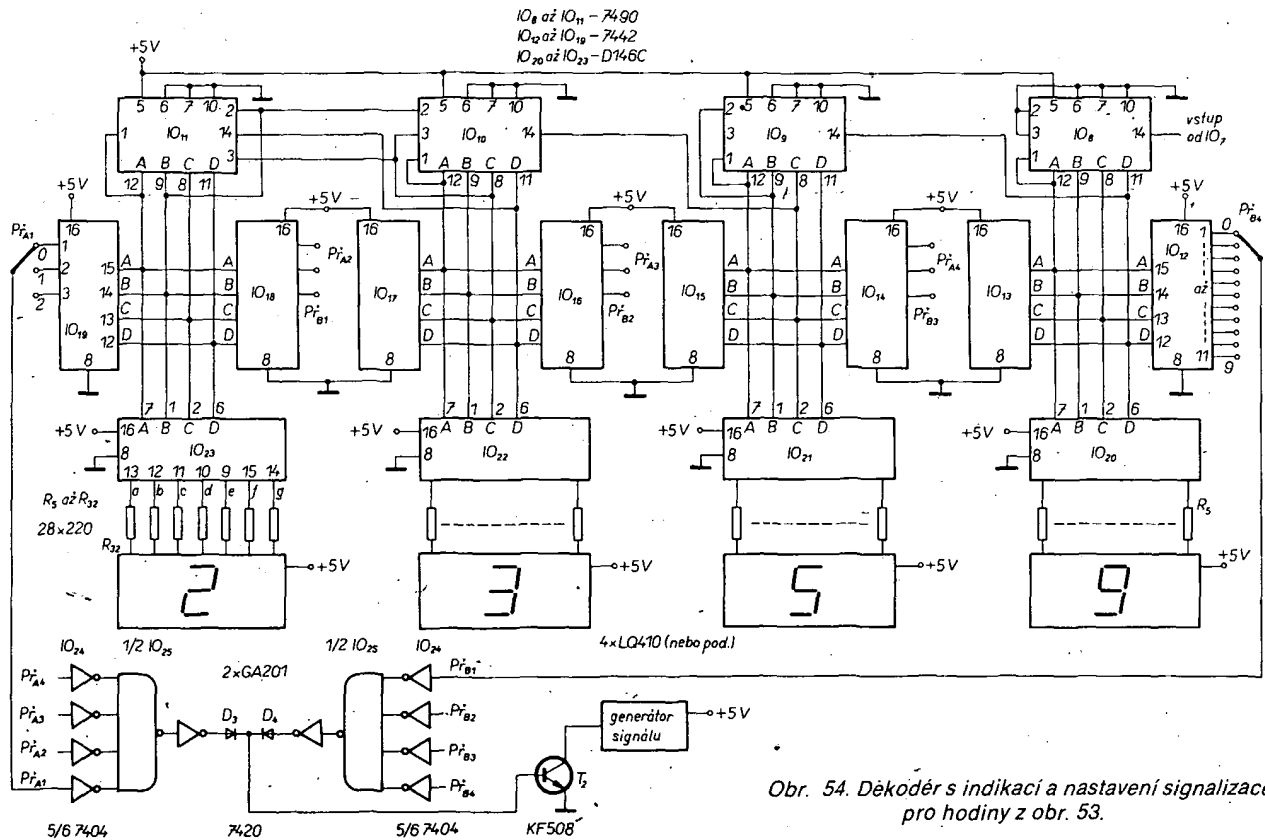
Generátor signálu je jednoduchý oscilátor podle obr. 53c, můžeme použít i jiný druh, příp. se zesilovačem. Místo generátoru lze použít i relé, které může spínat různé obvody: zpoždování, prodloužování signálu, vybavovací apod. podle potřeby.

Zdroj (obr. 53b) je jednoduchý, k napájení všech integrovaných obvodů potřebujeme stabilizované napětí 5 V, spotřeba je kolem 1 A. Použijeme transformátor asi na 10 VA, stabilizátor umístíme na chladič. Nezapomenejme umístit v napájecích větvích keramické kondenzátory 50 až 100 nF.

Signál během jeho trvání můžeme vypnout přetočením kteréhokoli segmentu na jiné číslo. Natrvalo jej lze vypnout tak,



Obr. 53. Digitální signální hodiny s dvojím nastavitelem časem; a) oscilátor, dělící a ovládání, b) zdroj, c) generátor signálu



Obr. 54. Děkódér s indikací a nastavení signalizace pro hodiny z obr. 53.

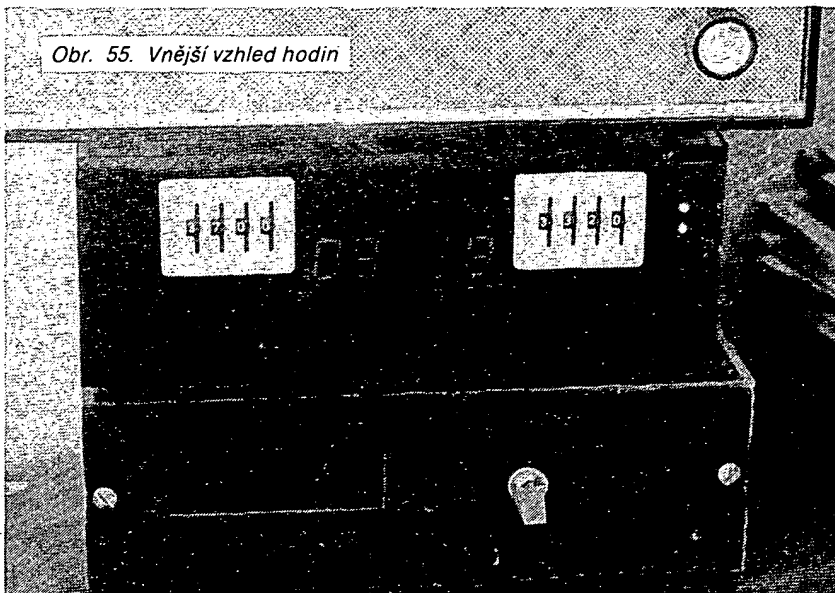
že segment 1 nebo 3 natočíme na nepoužité číslo (segment 1 kupř. na 3; 30 hodin není), signál bude stále vypnuty.

Realizované hodiny jsou na obr. 55 a 56.

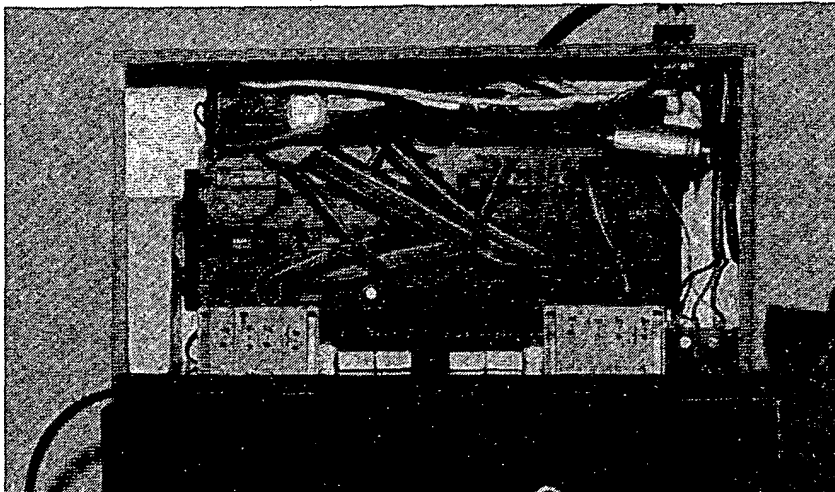
#### Signální hodiny

Signálních hodin již bylo popsáno v technické literatuře mnoho, popisované však mají několik nezanedbatelných výhod. Mají nastavitelný rozsah od 1 minuty do 100 hodin, také je lze používat pro děje neopakující se po 24 hodinách. Jsou řízeny krystalem, proto jsou velmi přesné. Hlavní výhodou je však to, že jsou postaveny z obvodů CMOS. Z toho vyplývá, že spotřeba je pouze 2 až 3 mA a lze proto použít bateriové napájení (obr. 57, 58).

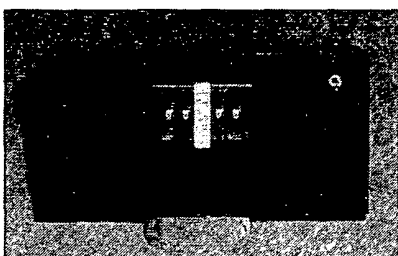
Na obr. 59 je blokové zapojení hodin. Generátor normálového kmitočtu je řízen miniaturním krystalem 32 768 Hz z běžných náramkových hodinek. Můžeme jej získat jednak z vadních hodinek (krystal není prakticky nikdy vadný), nebo ze starých digitálních hodinek s diodami LED, které se prodávaly i v „bazarech“. Signál z generátoru dělíme třemi děličkami na 60 sekund a přivedeme jej do přednastavitele čítače. Na palcovém přepínači se přednastaví požadovaná doba a po přivedení spouštěcího impulu začnou čítače od této doby odečítat. Až se všechny čítače vynulují, vyhodnocovací obvod spustí zvukové znamení, které trvá 1 minutu. Samozřejmě místo něj lze zapojit bistabilní klopový obvod, který spiná relé.



Obr. 55. Vnější vzhled hodin



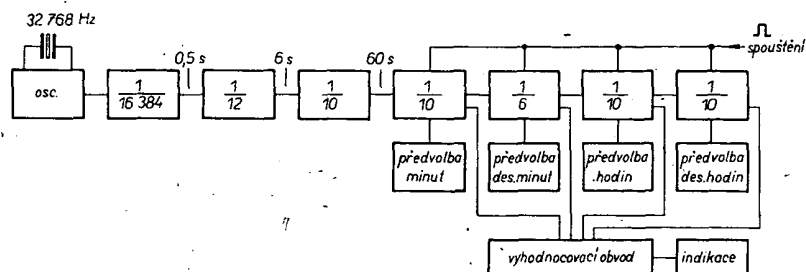
Obr. 56. Vnitřní uspořádání hodin ▶



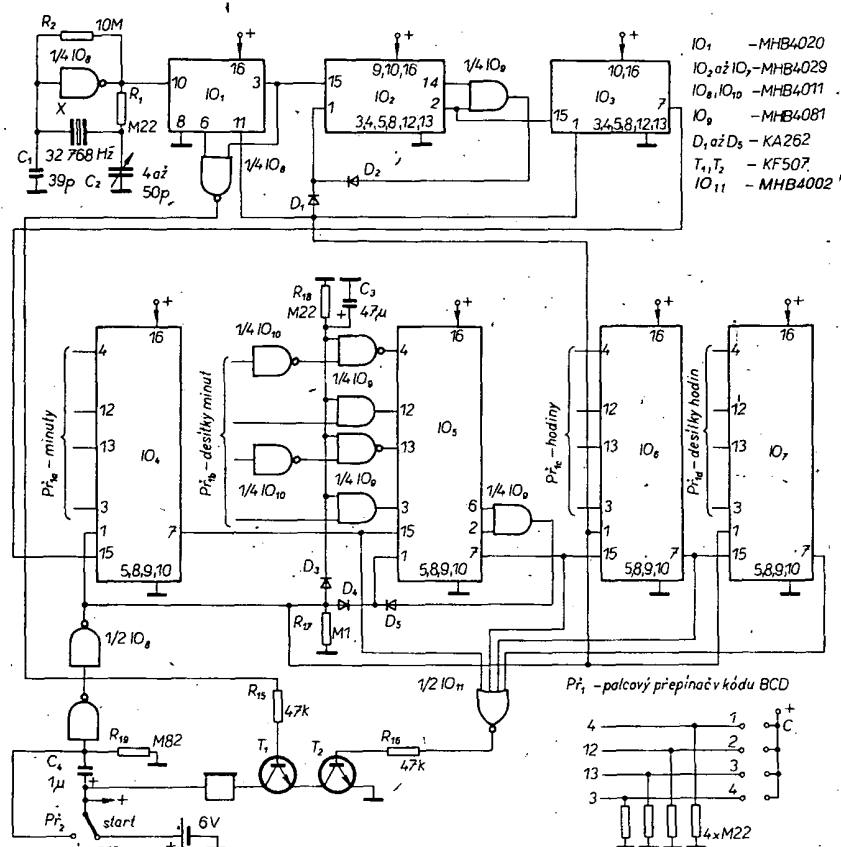
Obr. 57. Vnější vzhled signálních hodin

Konkrétní zapojení je na obr. 60. Jako generátor je použito běžné zapojení krytalového oscilátoru s jedním hradlem NAND (1/4 MHB4011). Kondenzátorem C<sub>2</sub> nastavujeme přesný kmitočet 32 768 Hz. Dělič se skládá ze tří obvodů, IO<sub>1</sub> až IO<sub>3</sub>. IO<sub>1</sub> dělí v poměru 1:2<sup>14</sup>, čtrnáctistupňový binární čítač MHB4020. Z něj vychází signál o periodě 0,5 s do druhého děliče, který dělí dvanacti. Je tvořen 4bitovým binárním čítačem s přednastavením, IO<sub>2</sub>, MHB4029. Vstupy předvolby jsou připojeny na zem. Výstupy Q<sub>c</sub> a Q<sub>d</sub> jsou připojeny na hradlo AND, jehož výstup je před oddělovací diodou přiveden na vstup „přepis předvolby“. Jakmile čítač načítá dvanact, další vstupní impuls vyvolá na vstupech Q<sub>c</sub> a Q<sub>d</sub> úrovně H, H se objeví i na výstupu hradla AND a čítač se přednastaví na nulu. Třetí dělič, IO<sub>3</sub>, dělí deseti. Vychází z něj signál o periodě 1 minuta. Je použit obvod MHB4029, zapojený jako čítač BCD.

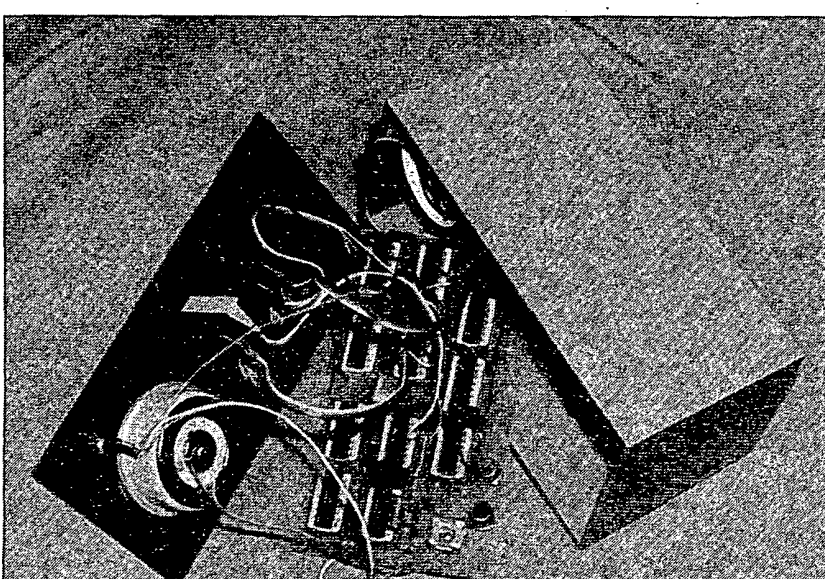
Výstupní signál z děličů přichází na čtyřvstupový čítač BCD s přednastavením. Je sestaven z obvodů  $\text{IO}_4$ , až  $\text{IO}_7$ , MHB4029. Předvolba se nastavuje palcovým přepínačem Př.,  $\text{IO}_4$ ,  $\text{IO}_6$  a  $\text{IO}_7$  jsou zapojeny tak, že čítají od devíti do nuly.  $\text{IO}_5$  „odečítá“ od pěti do nuly. Jakmile čítač  $\text{IO}_5$  dočítá do nuly, objeví se při dalším impulsu na výstupech  $\text{Q}_A$  a  $\text{Q}_D$  úroveň H a přes hradlo AND;  $\text{IO}_9$ , MHB4081, a oddělovací diodou  $D_5$  se přednastaví číslo, které je na vstupech čítače. Přednastavovací vstup dostává řídící impuls ze dvou míst. Jednak díky zmíněnému hradlu AND se přednastaví vždy po nule do pětky – to je zajistěno použitím hradel AND a NAND na vstupech čítače jednak



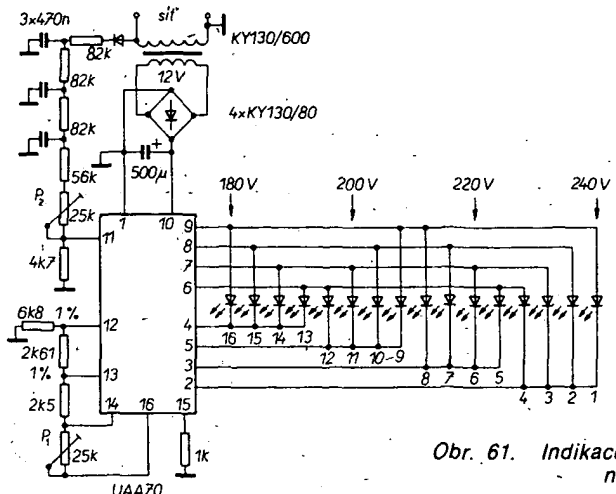
Obr. 59. Blokové schéma signálních hodin



Obr. 62. Znaczní signálnich hadin



Obr. 58. Vnitřní uspořádání signálních hodin.



Obr. 61. Indikace kolísání sítového napětí

### Indikace kolísání sítového napětí

Výhodně můžeme použít „roztaženou“ stupnice ze svítivých diod při indikaci kolísání sítového napětí v rozsahu +10 až -20 % kolem jmenovité velikosti. Při stupničce ze šestnácti svítivých diod každá dioda indikuje změnu 4 V mezi 180 až 240 V. Je-li napětí sítě např. 182 V, pak budou svítit diody „180 V“ a „184 V“.

Podle obr. 61 použijeme malý transformátor s sekundárním napětím 10 až 12 V. Napětí usměrníme můstkově a stejně směrným napětím (bez stabilizace) napájíme integrovaný obvod UAA170 a svítivé diody, které můžeme pro výraznější indikaci rozlišit barevně: kupř. zelené pro napětí menší než 220 V a červené pro napětí větší než 220 V.

Vstupní napětí – tedy sítové – usměrníme a po úpravě přivedeme na vstup UAA170. Vstupní dělič je integračním řetězem, který omezuje rušicí impulsy ze sítě, které by jinak nepříjemně ovlivňovaly indikaci.

K cejchování potřebujeme přesné měřidlo a regulační transformátor. Nejprve na vývodu 13 UAA170 nastavíme odporovým trimrem  $P_1$  napětí 4,87 V a potom při sítovém napětí (regulačním transformátorem) 218 V na vývodu 11 odporovým trimrem  $P_2$  přesně 4,35 V. Při správném nastavení mají při napětí sítě 218 V svítit diody č. 11 a 12.

Rádiotechnika 1/1986

### Neobvyklý převodník transformátor z 220 na 120 V, 1000 W

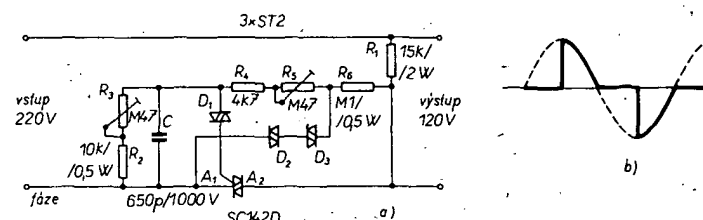
Řekne-li někdo transformátor pro 1000 VA, každému se vybaví transformátor úctyhodné velikosti, jehož jádro má hmotnost kolem 11 kg. Proto jsem byl mírně udiven, když se mi dostala do rukou krabička velikosti 35 × 35 × 55 s nápisem: „Voltage converter 220-240VAC to 110-120VAC“. Model 18/21 s dodatkem, že se jedná o převodník pro ohřívací tělesa a přenosné motory do příkonu 1000 W. „Krabička“ je výrobkem fy Franzus z New Yorku a je určena především pro americké návštěvníky Evropy (nebo jiných „exotických“ zemí), v nichž je napětí sítě 220 V, aby i v těchto zemích mohli používat své holci přístroje, kávo-

Převodníkem jsem napájal pistolovou vrtačku, žehličku i digitální hodiny – všechny přístroje pracovaly bez závad. Zařízení má jedinou nevýhodu: jako každý spinač s triakem (není-li regulován v nule) silně ruší: Každopádně převodník by mohl dělat dobré služby v domácnostech; v nichž po změně sítového napětí ze 120 na 220 V zůstaly nevyužity různé drahé spotřebiče na 120 V.

Tvar výstupního napětí je na obr. 62b.

### Indikátor změny napětí

Na obr. 63 je zapojení ke kontrole a indikaci pracovního napětí. Přístroj je vhodný pro stálou kontrolu provozního napětí zvláště u přístrojů, které jsou stále zapnuty (nebo u bateriových zařízení). Přístroj stálým svitem svítivé diody indiku-



Obr. 62. Neobvyklý převodník „transformátor“ 220/120 V, 1000 W; a) schéma zapojení, b) tvar výstupního napětí

vary, mixery, žehličky, grilovací trouby, vysavače apod. Výrobce tento převodník nedoporučuje pro napájení ledniček, fotografičníků, blesků, sušiček s kulkou, promítáček, TVP a hodin. Pro rozhlasové přijímače, magnetofony, kalkulačky, blesky, nabíječky doporučujeme model F11 s příkonem 50 W.

Model 18/21 se zasune do zásuvky 220 V, na čelní stěně krabičky je zásuvka pro ploché americké zástrčky.

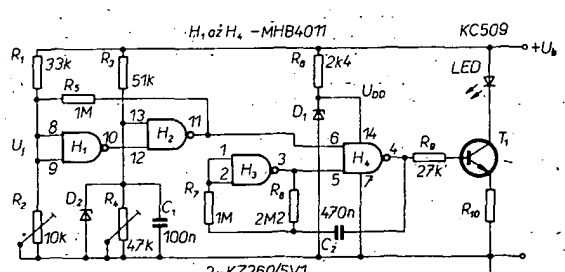
„Černou krabičku“ jsem samozřejmě otevřel, její zapojení je na obr. 62. Jedná se o triakový spinač, který je nastaven tak, aby na výstupu bylo napětí 120 V. Triak je typu SC142D, 8 A/400 V, v podstatě jej lze nahradit naším KT207/400. Původní triak je přišroubován ke krabičce jako ke chladící, nás námůžeme odizolovat, protože kovové chladicí a upevňovací křídlo je galvanicky spojeno s vnitřním systémem. Diak  $D_1$  je typu ST2, má spinaci napětí 28 až 36 V, odpovídá v podstatě našemu KR106. Dva další diaky  $D_2$  a  $D_3$  nemají značení, ale v sérii mají otevírací napětí 60 V, tedy jako v sérii zapojené naše diaky KR105. Jejich funkce je ochranná, při zvětšování napětí na děliči přivírájí triak. Výstupní napětí není stabilizované, při změně vstupního napětí se úměrně mění i výstupní. Zatěžovací rezistor  $R_1$  na výstupu napájí rezistory  $R_2$  až  $R_6$ . Otevíráni triaku je nastaveno odporovým trimrem  $R_3$ , přes který je nabit kondenzátor  $C$ . Při jeho nabití asi na 35 V se otevírá  $D_1$  a náboj kondenzátoru se vybije do zapalovací elektrody triaku, který se otevře a napájí výstup.

je, že napětí je v dovolených mezech, zvětší-li se z důvodu nad určitou horní hranici, nebo zmenší-li se pod stanovenou minimální úroveň, LED začíná blíkat a tak upozorní obsluhu na závadu v obvodu napájení. Dolní i horní mez dovoleného napětí je možno nastavit v širokých mezech, každou zvlášť odporovými trimry  $R_2$  a  $R_4$ .

Funkce přístroje je založena na tom, že obvody CMOS pracují v širokém rozsahu napájecího napětí a že jejich překlápací napětí je asi polovinou napájecího napětí. Výhodou je, že vstupy hradel CMOS jsou odolné proti rušení, což neplatí u obvodů TTL, proto zapojení nelze realizovat s obvody TTL.

Hradla  $H_3$  a  $H_4$  jsou zapojena jako astabilní multivibrátor, který kmitá na kmitočtu asi 0,5 Hz. Na výstupu 4 je pravoúhlý signál jen tehdy, je-li na vstupu 6 určité velké napětí (vlastně log. 1 v podmínkách CMOS). V tomto případě se tranzistor  $T_1$  otevřívá a uzavírá v rytmu pravoúhlého signálu a LED v tomto rytmu – 0,5 Hz – blíká. Přivedeme-li na vstup 6 malé napětí (log. 0), na výstupu bude stálé velké napětí,  $T_1$  stále vede a LED nepřetržitě svítí.

Urovnění log. 1 a log. 0 u CMOS – na rozdíl od TTL – nejsou pevně definovaná napětí, protože jsou závislá na napájecím napětí. Hradlovací signál pro astabilní multivibrátor je tvoren hradlem  $H_1$  a  $H_2$ . Na vývodu 11  $H_2$  bude úrovně L, napájecí napětí  $U$  v požadovaném rozmezí, LED stále svítí. Bude-li napětí  $U$  menší nebo



Obr. 63. Indikátor změny napětí

větší než požadované (nastavené), výstupní signál na  $H_1$  a  $H_2$  bude mít úroveň L, LED začne blikat a hlásí, že něco není v pořádku.

Porovnávací obvod pracuje takto: Referenční napětí 5 V je nastaveno diodami  $D_1$  a  $D_2$ . Má-li být pracovní napětí  $U_b$  menší, obě diody jsou uzavřeny,  $D_1$  je zapojena do napájecího napětí obvodu MHB4011, tedy napájecí napětí  $U_{DD}$  se rovná napětí  $U_b$ . Děliče  $R_1$ ,  $R_2$  a  $R_3$ ,  $R_4$  jsou nastaveny trimry tak, že napětí na vstupech  $U_F$  a  $U_A$  budou menší, než 45 %  $U_b$  (popř. nyní  $U_{DD}$ ). Podle vlastnosti CMOS se tedy  $U_A$  a  $U_F$  počítá za malé napětí. Proto je na vstupu hradla  $H_1$  úroveň L, na výstupu (10) bude úroveň L a tak jeden vstup  $H_2$  (13) bude na úrovni L, druhý (12) na H. Podle pravidlostí tabulky hradel NAND proto na výstupu hradla  $H_2$  bude úroveň H. Napětí o úrovni H na vývodu 11 umožní přenášení kmity multivibrátoru a LED bude blikat. Překročili-li napájecí napětí nastavenou spodní hranici  $U_b$  (např. 5 V), změní se stav výstupu 11, diody  $D_1$  i  $D_2$  se otevřou a  $U_{DD}$  bude mít jmenovitou velikost. Úrovně L a H budou přesně definovány: napětí menší než 2,3 V bude L, větší než 2,3 V bude H. Vstup 13 hradla  $H_2$  se dostane na úroveň log. 1 (H), na výstupu 12 bude velká úroveň H, při zvoleném pracovním napájecím napětí  $U_b$  svůj stav nemění, protože  $R_1$ ,  $R_2$  dělí napětí a  $U_F$  se počítá za úroveň L. Na vstupech  $H_2$  bude úroveň log. 1, na výstupu log. 0, LED trvale svítí – napájecí napětí je v mezech.

Zvětšme-li napájecí napětí  $U_F$  o 50 % nad napětí 5 V, hradlo H<sub>2</sub> se překlopí, na výstupu bude H, výstup 11 změní svůj stav a LED začíná blikat.

Zpětné zavedení signálu z výstupu 11, na spojené vstupy 8, 9,  $H_1$  slouží jako slabá zpětná kladná vazba, působící rychleji překlápení – a takto zavedená hystereze ulehčuje nastavení.

Oporovým trimrem  $R_4$  nastavujeme nejmenší zvolené napětí  $U_b$  (které nemůže být menší než 5 V), trimrem  $R_2$  nastavíme horní mez napětí  $U_b$  (nemůže být menší než 10 V). Zapojení umožňuje nastavit velmi úzké tolerance napětí  $U_b$ , kupř. 12 V ± 0,5 V.

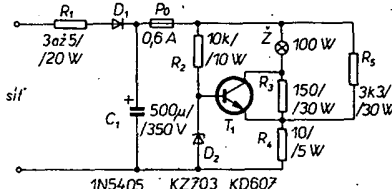
Obvod má řídbí proud pouze na proudu svíticí diody. Její proud nastavíme volbou  $R_{10}$  asi na 15 mA.

Funkschau 7/1983

### Stabilizátor síťového napětí bez železa

Stabilizátory síťového napětí jsou obvykle značně těžké a jejich domácí výroba je náročná, protože ji ztěžuje navíjení velkého transformátoru a tlumivky. Popsané zapojení je bez transformátoru a bez tlumivky, zato však potřebujeme několik rezistorů na velké zatížení – inu nic není zadarmo. Stabilizátor je určen především k napájení žárovky 100 W ve zvětšovacím přístroji pro barevnou fotografii, ale může být použit i pro jiné účely při zátěži 100 W.

Na obr. 64 je zapojení jednoduchého stabilizátoru. Síťové napětí usměrníme diodou  $D_1$  a napětí filtrujeme kondenzátorem  $C_1$ . Tímto jednocestným usměrňovačem napájíme žárovku 100 W. Rezistor  $R_1$  omezuje proudový náraz při zapnutí, kdy je vláknko žárovky ještě studené a představuje v podstatě zkrat. Na elektrodách kondenzátoru  $C_1$  bez zatížení bude asi 310 V; při zatížení se napětí zmenší. Z kondenzátoru napájíme žárovku, která spolu s  $R_3$ ,  $R_4$ ,  $R_5$  a tranzistorem  $T_1$  tvoří dělič napětí. Tranzistor  $T_1$  je vlastním



Obr. 64. Stabilizátor síťového napětí bez železa

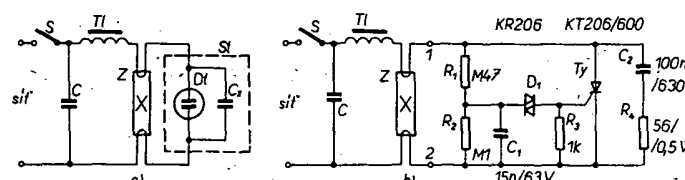
stabilizátorem, na jeho bázi je díky  $R_2$ ,  $D_2$  konstantní napětí 6,2 V. Emitorové napětí tranzistoru bude menší o 0,6 až 0,8 V. Tranzistor svůj emitorový proud, který protéká přes  $R_4$ , stabilizuje, a na rezistoru  $R_4$  bude spád napětí 5,6 až 5,8 V. Proud žárovky je z větší části čerpán z kolektoru tranzistoru a je stabilní. Kdyby se proud protékající žárovkou z nejákyhodnou zmenší, zmenší se i napětí na  $R_4$ , tranzistor se více otevře (bude mít menší odpor), paralelní spojení  $T_1$  –  $R_3$  bude mít menší odpor a proud žárovky dosáhne původní velikosti a naopak. Zatížitelnost rezistorů je určena podle žárovky 100 W, při jiné zátěži je třeba rezistory upravit.

Tranzistor musí být připevněn na odpovidajícím chladiči, musíme chladit i Zenerovu diodu. Protože rezistory vyzařují poměrně značné teplo, skříňku přístroje bude třeba opatřit větracími děrami s ohledem na bezpečnostní předpisy.

Rádiotechnika 2/1983

### Elektronické zapalování zářivek

Při zapalování zářivek – zvláště u starých nebo nekvalitních trubic – vzniká silné rušení v pásmu rozhlasových vln a stává se také, že zářívka špatně zapalují, zhasínají, blikají apod. Mnohdy má na této neuctivosti vinu startér. Provozní napětí rozsvícené zářivky je asi 80 V, proto ji musíme připojit k síti 220 V přes tlumivku (obr. 65a). Kondenzátor  $C$  slouží ke zlepšení fázových poměrů pro indukční zátěž, zároveň využíváme tlumivku k zlepšení výkonu.



Obr. 65. Elektronické zapalování zářivky; zářívka se startérem, b) zářívka s elektronickým „startérem“

jinak neovlivňuje funkci zářivky. Jeho kapacita je několik mikrofaradů (podle příkonu trubice). Startér St je k trubici paralelně připojená speciální doutnavka, která má bimetalovou elektrodu a paralelně k doutnavce připojený kondenzátor  $C_2$  o kapacitě kolem 10 nF.

Zapneme-li síťové napětí, zářívka se hned nezapálí. Napětí se přes tlumivku a žárovické vlákno dostane na zářívku, doutnavka startéru zapálí, ale zářívka – protože její zapalovací napětí je větší – ještě nezapálí. Studenou trubici zkratuje i zapálená doutnavka. V doutnavce se ohřívá bimetalová elektroda, která se za určitou dobu teplem ohřeje a spojí se s druhou elektrodou a zářívku uplně zkratuje – doutnavka zhasne. Přes žárovické vlákno trubice teče velký proud, který ohřeje zářívku. Mezi tím doutnavka vychladne, přeruší se zkrat, žárovické vlákny zářivky proud nepoteče. Při přerušení proudu vznikne indukční proudový náraz, který zahřátou trubici zapálí. Startér je vyřazen

z provozu. Tento děj se odehrává během několika stovek milisekund.

Startér můžeme nahradit elektronickým spínačem, který sepne žhavení zářivky a po jejím ohřátí opět žhavení vypne. Tuto funkci vykonává obvod podle obr. 65b.

Elektronický spínač je připojen v bozech 1 a 2, tedy tlumivka, kondenzátor C a zářívka zůstanou jako u klasického zařízení. Po zapnutí napájecího napětí se tranzistor v první kladné půlvlně síťového napětí otevře, protože na děliči  $R_1$ ,  $R_2$  překročí kladná napětí zapalovací napětí diaku, který se stane vodivým a otevře tranzistor. Náboj kondenzátoru zabezpečuje potřebný proudový impuls. Tranzistor na konci kladné půlvlny přestane vést, ale po příchodu další kladné půlvlny se opět otevře, a tak během několika půlperiod síťového napětí se žhavicí vláknou ohřeje a při následujícím vypnutí tranzistoru se trubice zapálí. Tím se zmenší napětí na zářívce natolik, že tranzistor již přes dělič nemůže dostat potřebné napětí k zapálení a zůstává uzavřen. Obvyklý filtrační člen  $C_2$ ,  $R_4$  slouží k ochraně tranzistoru, zmenšuje rušení a zabráňuje případnému otevření tranzistoru.

Výhody tohoto zapojení spočívají v tom, že má neomezenou dobu života, trubice se rychleji rozsvítí. Jeho použití se vysplati tam, kde se často zapíná a vypíná osvětlení.

Celé zařízení je možné umístit na malou destičku s plošnými spoji, která se vejde do pouzdra (bez odrušovacího člena).

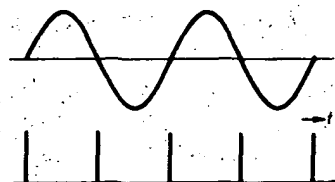
Elektronika 6/1982

### Jednoduchý detektor průchodu síťového napětí nulou

Tyristorová a podobná zařízení, při nichž spináme síťové napětí do indukčního nebo do odporové zátěže, mají nepřijemný průvodní zjev: silné rušení, které se šíří vedením i volně, a ruší rozhlas, televizi i jiná zařízení. Proto jsou v novějších přístrojích používány více nebo méně

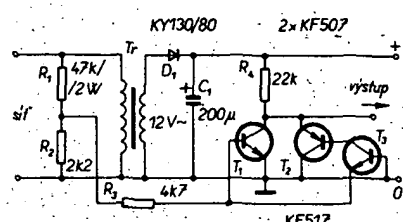
složité obvody, popř. speciální integrované obvody, které zabezpečují, že se zátěž připne v okamžiku, kdy síťové sinusové napětí právě prochází nulou, a nemůže vznikat žádné rušení.

Na obr. 66 je jednoduché zařízení, které je možné použít pro tento účel. Z malého transformátoru po jednocestném usměrnění dostaneme asi 17 V (na kondenzátoru  $C_1$ ). Dělič  $R_1$ ,  $R_2$  dává řídici síťové napětí 50 Hz. Bude-li na rezistoru  $R_3$  kladná půlvlna síťového napětí,  $T_1$  povede a výstupní napětí obvodu bude nulové. Bude-li půlvlna záporná, vedou tranzistory  $T_3$  a  $T_2$ , výstupní napětí je opět nulové. Tedy při obou půlvlnách síťového napětí je na výstupu nula, tyristor nedostane otevírací impuls. V okamžiku průchodu



18 k $\Omega$  rozsvěcuje číslice, které jsou napájeny přes dekodér 74141. Vstupy dekódéra jsou řízeny v kódu BCD, příslušné výstupy přivádějí napětí na číslice, které mají být indikovány.

*Funkamateuer 1/1985*



Obr. 66. Jednoduchý detektor průchodu sinusovky nulou

síťového napětí nulou nevede žádný tranzistor, na výstupu se na okamžik objeví přes R<sub>4</sub> krátký impuls, který krátce otevře tyristor nebo triak.

Podle typu spínaného tyristoru nebo triaku bude možná třeba na výstup zařadit tranzistor, zesilující otevírací impuls, příp. pozměnit  $R_4$ . Nezapomeňme, že zařízení je galvanicky spojeno se sítí!

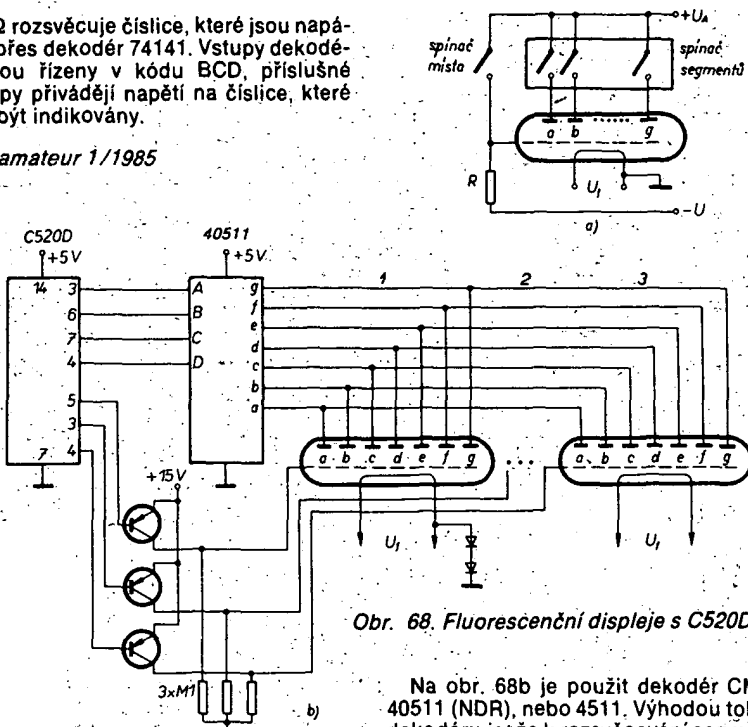
Elektor 7-8/1985

#### Buzení digitronů obvodem C520D

O možnostech použití převodníku A/D z NDR - C520D - bylo již otištěno na stránkách AR několik článků, i v tomto čísle AR, řady B je několik možností použití. Jedná se o základní třímístný modul k měření napětí, který se různými úpravami hodí pro měření a indikace nejrůznějších údajů.

V klasickém zapojení se obvod používá s dekódérem, aby v multiplexním provozu budil sedmsegmentové displeje se svítivými diodami. V těchto zapojeních se používají dekodéry 7446 nebo 7447 (D146, D147). Může se však stát, že bude výhodnější (z cenových nebo konstrukčních důvodů) použít pro indikaci digitrony, a v tomto případě můžeme použít zapojení podle obr. 67.

Obvod C520D je v obvyklém zapojení. Katody digitronů v multiplexním provozu nemůžeme napájet přímo, bude třeba použít budící tranzistory pro větší napětí. Napájecí napětí katod digitronů má být kolem 180 V. V klidovém stavu jsou tranzistory otevřeny a číslice nemohou svítit. Tranzistor se v rytmu multiplexu uzavírá a v tom čase kladné napětí přes rezistor



Obr. 68. Fluorescenční displeje s C520D

Na obr. 68b je použit dekodér CMOS 40511 (NDR), nebo 4511. Výhodou tohoto dekodéru je, že k rozsvěcování segmentů nepotřebuje žádné další aktivní nebo pasivní součástky, jeho výstupy jsou připojeny přímo na příslušné segmenty lumeniscenčního displeje. Škoda jen, že tyto dekodéry nejsou běžně dostupné.

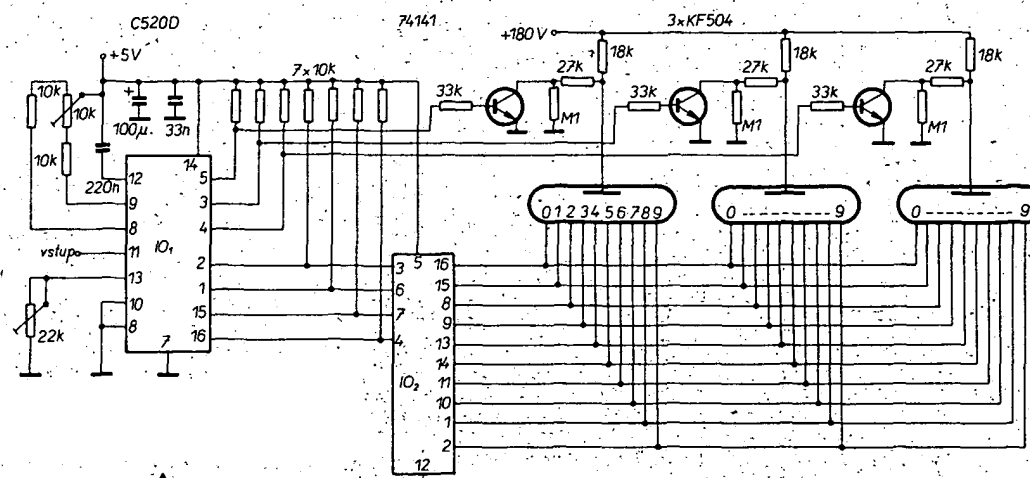
Na obr. 69 se k buzení segmentů používá běžný dekodér D146 (nebo D147). Vzhledem k tomu, že displej potřebuje větší napájecí napětí, výstupy dekodérů musí mít tranzistorové spinaci stupně (s tranzistory p-n-p) a děliče, čímž je zajištěno složitější

Funkamateur 8/1985

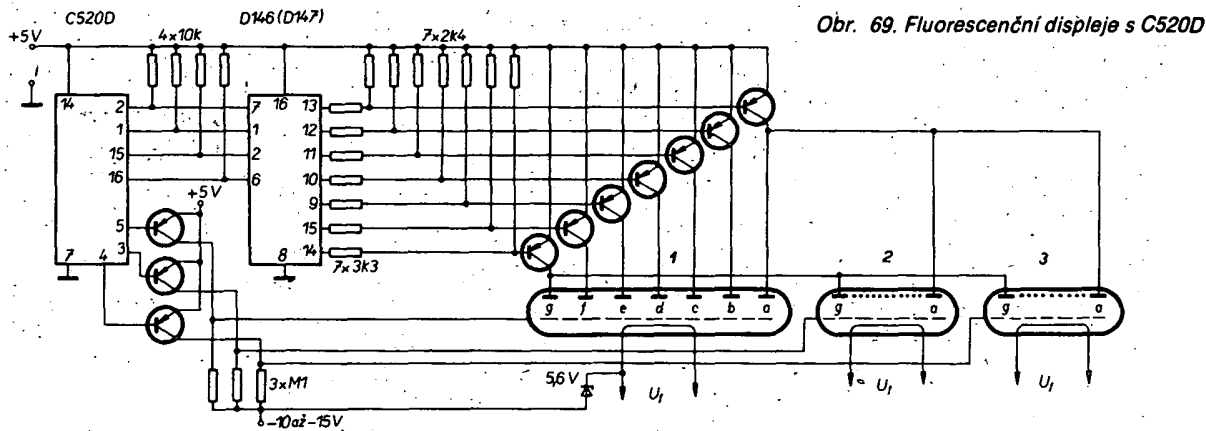
## Přesný termostat

Zapojení termostatů k udržování konstantní teploty jsou všeobecné známá. Jsou používány různé varianty s teplotním čidlem (perličkový, příp. hmotový termistor), které je zapojeno v můstku, s komparátorem s tranzistory nebo operačním zesilovačem apod. Spínání a odpojování záťže může zabezpečovat relé, tyristor nebo triak.

Zapojení na obr. 70 se liší od uvedených v tom, že místo termistoru používá křemíkovou diodu a její závislost na teplotě. Uvedené řešení má výhodu v tom, že perlíčkové termistory mnohdy je těžké



Obr. 67: Digitrony's C520D



Obr. 69. Fluorescenční displeje s C520D

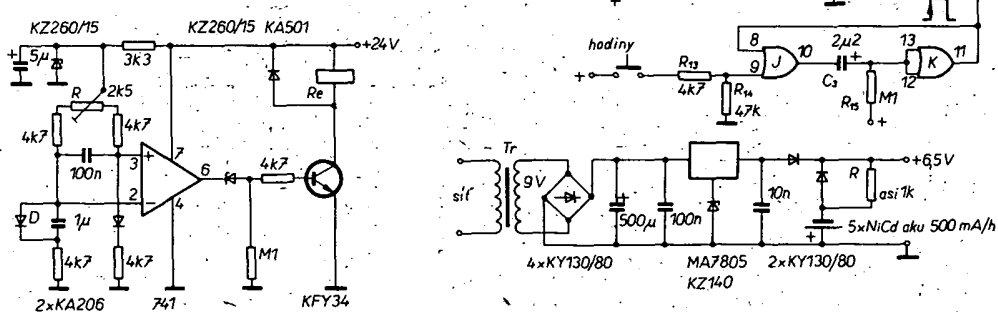
ne-li vůbec nemožné sehnat, křemíkovou diodu v miniaturním provedení a ve skleněném pouzdře má k dispozici každý.

Napětí na křemíkové diodě se při protékajícím konstantním proudu mění v závislosti na okolní teplotě. Se zvyšováním okolní teploty se napětí na diodě zmenší až o  $2 \text{ mV}/^\circ\text{C}$  a obráceně. Tato teplotní závislost je téměř lineární, ale bez výběru diod a doplňujících linearizačních obvodů se k měření teploty s dostatečnou přesností nehodí. Pro nás účel tato nelinearita vůbec nevadí, protože teplotní závislosti využíváme jen v jednom bodě a v něm je konstantní.

Diodu D napojíme konstantním proudem a její napětí přivádíme na invertující vstup operačního zesilovače. Na neinvertujícím vstupu je napětí z pevného děliče. Teplotu, kterou máme v úmyslu udržovat, nastavíme odporovým trimrem R tak, že diodu umístíme v prostředí se zvolenou teplotou. Sniží-li se zvolená teplota jen o zlomek stupně, rovnováha na vstupu OZ se naruší, na výstupu komparátoru se objeví napětí, které sepne tranzistor a tím i relé.

V podstatě můžeme použít každou křemíkovou diodu. Jediným hlediskem při výběru bude druh pouzdra, protože na něm je závislá rychlosť odezvy a možnost použití kupř. v tekutém nebo v plynném prostředí. Drátové vývody skleněných diod s axiálními vývody je třeba v kapalném prostředí izolovat tak, aby se kapalina drátů nemohla dotykat. Tyto diody rychle reagují na změnu teploty prostředí. Diody v kovovém pouzdře (elektrody nejsou spojeny s pouzdrem) jsou tvarově výhodnější, ale jejich reakce na změnu teploty je pomalejší. Totéž platí pro diody v plastu. Podle literatury snad nejrychlejší reakci mají varikapy typu KB.

#### Funktechnik 13/1975



Obr. 70. Přesný termostat

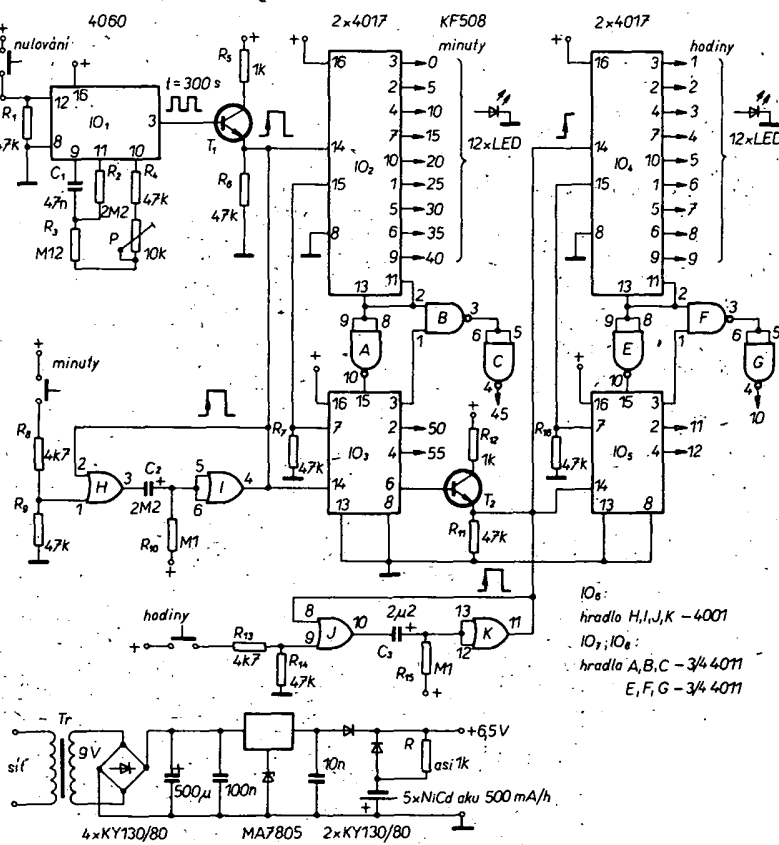
#### Neobvyklé hodiny se svítivými diodami

Digitální hodiny již nejsou žádnou zvláštností, objevují se již nejen s klasickou, číslicovou indikací, ale i ve formě s analogovým ciferníkem. V našem případě budou sloužit k indikaci času svítivé diody: jedna ukáže kolik je hodin a druhá minutu – po pěti minutách. Uspořádání diod je vhodné podle vzoru klasických hodin s ručkami, je však možné uspořádat je i v řadě nebo podle libosti. Indikace minut po skocích pro běžnou potřebu celkem vyhovuje, indikovat šedesát minut jednotlivě by bylo doslova nepřehledné, nemluvě již o šedesáti diodách LED – i použitých 24 diod je dost. Kromě toho by řízení šedesáti svítivých diod vyžadovalo navíc 15 integrovaných obvodů.

Hodiny jsou v podstatě velmi jednoduché, pro malou spotřebu jsou použity

obvody CMOS. Řídící částí hodin (obr. 71) je IO<sub>1</sub>. Obvod 4060 je čtrnáctibitový dvojkový čítač-dělič s vestavěným oscilátorem. Bylo by možné použít i obvod MHB4020, který je totožný, ten však nemá oscilátor, který by bylo třeba postavit zvlášť. Pro jednoduchost v hodinách neupoužijeme krytalový oscilátor, jen člen RC (R<sub>2</sub> až R<sub>4</sub>, P, C), který sestavíme ze stabilních součástek. Na výstupu IO<sub>1</sub> dostaneme jeden impuls po 300, tj. po pěti minutách. Přesnost nastavíme trimrem P. Abychom nemuseli dlouho čekat, na Q<sub>12</sub> je perioda 75 sekund, na Q<sub>11</sub> – 37,5 s, na Q<sub>10</sub>, 9 a 8 vždy polovina z předchozího času. Impulzy můžeme pozorovat buď na osciloskopu, nebo na příslušný výstup přes odpor 150Ω připojíme LED a pozorujeme jeho světlo, a tak měříme čas. Svítit bude jen polovina času; protože se jedná o úplnou periodu. Kmitočet oscilátoru je 54,61 Hz.

Přes tranzistor T<sub>1</sub> vedeme impulsy do



Obr. 71. Neobvyklé hodiny se svítivými diodami

čítačů  $IO_2$ ,  $IO_3$ ,  $IO_7$ . Na jejich výstupech postupně rozsvěcuje 12 diod LED, vždy po pěti minutách. Po rozsvícení diody označující 55. minutu se rozsvítí nultá dioda, a čítání začne znovu.

Nultá minuta vynuluje  $IO_2$  a začíná počítání hodin, na  $IO_4$ ,  $IO_5$  a  $IO_8$  se postupně rozsvěcují diody, každou hodinu jednu.

Bude výhodné používat LED různých velikostí a barev, aby bylo možné odlišit, na první pohled hodiny a minuty.

Přístroj nastavujeme sepnutím tlačítka „nulování“, minutu tlačítkem „minuty“ a hodiny tlačítkem „hodiny“.

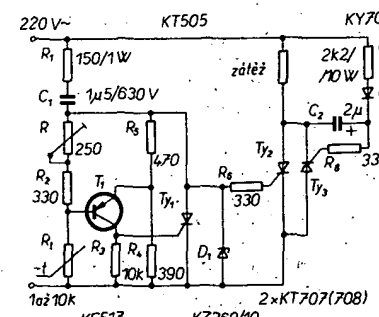
$IO_{2,3,4}$  a  $IO_5$  jsou desítkové čítače 4017, které se u nás nevyrobají, místo nich se používají dovážené sovětské K176IE8.

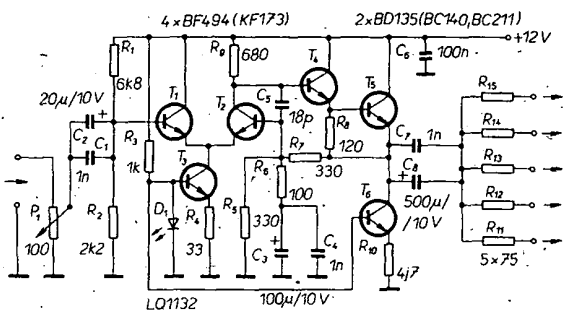
Zdroj je jednoduchý s monolitickým stabilizátorem, Zenerovou diodou zvětšíme výstupní napětí na 6,5 V. Zároveň s napájením hodin nabijíme pět NiCd akumulátorů (tužkové akumulátorů) o kapacitě 450 mAh proudem asi 1 až 5 mA (upravíme odpor rezistoru R), aby hodiny pracovaly i při výpadku sítě. Protože spotřeba je velmi malá (obvykle CMOS spotřebuje jen několik set mikroampér, dvě LED jen 20 mA), zdroj může nahradit síťové napájení i po několik hodin. Transformátor postačuje malý, na 50 až 100 mA.

Electronique pratique č. 82

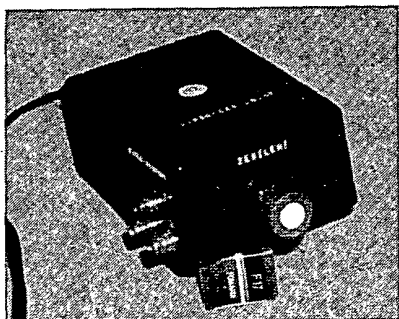
### Bezkontaktní regulátor teploty s řízením v nule

Dvoupolohový regulátor teploty (při snížení teploty sepně, při dosažení nastavené teploty vypne spotřebiče) s tyristory 15 A může pracovat se zátěží až 3 kW (budou-li tyristory na odpovídajících chladičích). Regulace je celovlnná; protože jsou použity dva antiparalelně zapojené tyristory a tím jsou využity obě půlvlny síťového napětí (obr. 72). Další nezanedbatelnou výhodou tohoto zapojení je, že při spínání a odpojování zátěže neruší, protože sepně, popř. odpojí zátěž v tom okamžiku, kdy střídavé napětí prochází nulou.





Obr. 75. Videozesílovač s pěti výstupy



Obr. 76. Provedení videozesílovače se třemi výstupy

Některé další trikové možnosti budou vyšvětleny později.

Videoinvertor pracuje s běžným videosignálem z videorekordéru nebo videokamer (BNC, zásuvka AV). Nepracuje s výstupem!

Možnosti zapojení a použití:

1. Přístroj je zapojen mezi výstup videore-

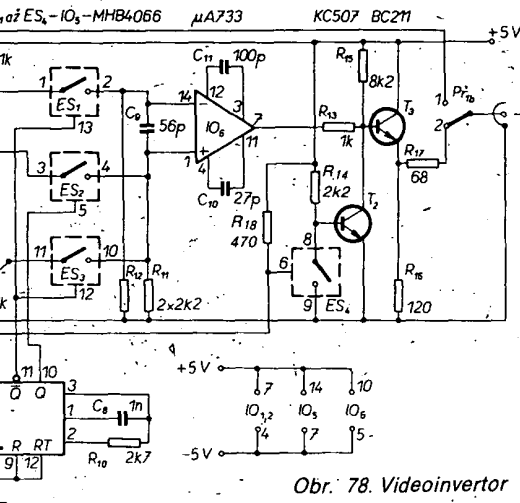
negativu. Musíme mít také dobrou kameru s makroobjektivem, protože jinak nedostaneme použitelné výsledky.

### Zapojení

Zapojení videoinvertoru je na obr. 79. Funkce přepínače  $P_1$  je jasná, můžeme jím v poloze 1 invertor vyřadit z činnosti. V poloze 2 (inverze) postupuje signál přes vstupní obvod  $C_1$ ,  $C_2$ ,  $R_1$ ,  $R_2$  na aktivní obnovovač s složkou videosignalu, osazenou OZ  $IO_2$  a  $IO_3$ . Tý přizpůsobí opět nezáporný signál obrazové řádky na úroveň 0 V. Stejnou směrnou úroveň signálu se ztrácí na vstupním obvodu, který je nutný k získání malého zkreslení a správného impedančního přizpůsobení přicházejícího signálu. Složka se obnovuje pomocí  $IO_2$  a  $P_3$ ,  $IO_2$  a  $P_3$  pracují na velké impedanci, protože je nutný ještě napěťový sledovač  $IO_1$ . Výstupní signál je přiveden na potenciometr  $P_1$ , kterým se nastaví dostatečná úroveň signálu. Za ním se

také zbylá část obrazového řádku je invertována, včetně barevného signálu. Přes dělič  $R_9$ ,  $P_3$  a  $ES_3$  je na neinvertujícím vstupu  $IO_6$  referenční napětí, které zajistuje správnou úroveň signálu. Absolutní hodnota signálu by byla jinak negativní, musí být přesunuta do kladné oblasti.

Přepneme-li  $P_2$  do polohy 2 a představíme si, že běžec  $P_2$  je na dolním konci odporové dráhy, je invertován celý rádek. Signál jde nyní během klopení  $IO_3$  přes obvody kolem  $T_1$  a je jimi fázově otočen o  $180^\circ$ . Tím je zrušena inverze barevného signálu (inverzí první části řádku se ruší inverze barevného signálu). Odporovým trimrem  $P_2$  jsou oba signály (invertovaný a neinvertovaný) svedeny dohromady, takže je možno inverzi barev plynule nastavit. Ve střední poloze běžce  $P_2$  zmizí barva úplně. Vytvoříme-li  $P_2$  „nahoru“ (nikoli však na doloz), jsou barevy zeslabeny. Potenciometrem  $P_2$  tedy můžete intenzitu barev plynule nastavena mezi normální a komplementární.

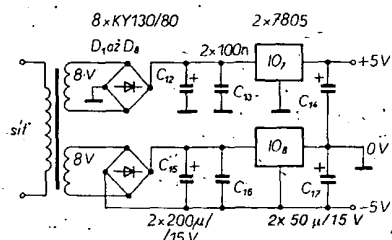


Obr. 78. Videoinvertor

- Kordéru a vstup monitoru, takže invertuje reproducovaný signál.
- Pro aktivní „videofilmáře“, které vlastní kameru a videorekordér, umožňující stříh. Přístroj je zapojen mezi výstup kamery a vstup videorekordéru a může měnit záznam.
- Pro ty, kteří vlastní dva videorekordéry. Ti mohou nahrané záběry zpracovávat a měnit až doma tak, že trikové změny provedou při sestřihu. Invertor je zapojen mezi oběma stroji.
- Pro fotoamatéry při vyhodnocování negativů jako pozitivů. Tako lze však vyhodnocovat pouze černobílé negativy, protože je značně obtížné kompenzovat oranžovou masku na barevném

videosignálu dělí do dvou cest. Jedna cesta vede na komparátor  $IO_3$ , který obnoví synchronizační signál. Výstupním signálem  $IO_3$  je (náběžnou hranou synchronizačního impulsu) spouštěn monostabilní obvod  $IO_4$ , který řídí elektronické přepínače  $ES_1$  až  $ES_4$ .  $ES_4$  je řízen přímo výstupem komparátoru.

Sledujeme nyní druhou signálovou cestu nejprve s přepínačem  $P_2$  v poloze 1. Výstup Q  $IO_4$  zůstává na úrovni H, signál postupuje proto přes  $ES_2$  na neinvertující vstup  $IO_6$ . Zatím není ještě tato část řádku invertována. Jakmile proběhne doba klopení  $IO_1$ , Q přejde na L a Q na H.  $ES_1$  a  $ES_3$  se rozpojí. Přes  $ES_1$  je nyní signál přiveden na invertující vstup  $IO_6$ .



Obr. 79. Zdroj k videoinvertoru

Obvod  $T_2$ ,  $ES_4$ , který je řízen přímo z  $IO_3$ , zajišťuje, že synchronizační signál je předáván v neinvertované podobě k dalšímu zpracování.  $T_3$ ,  $R_{16}$ ,  $R_{17}$  zajistí správnou výstupní impedanci  $75 \Omega$ .

Síťová část je zřejmá ze schématu na obr. 79.

### Stavba a nastavení

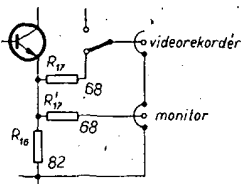
Zapojení obsahuje dva integrované obvody, které u nás nemají ekvivalent. Je to videozesilovač  $\mu A733$  (LM733) a CMOS monostabilní klopný obvod CD4047. Oba tyto obvody lze koupit např. v MLR, kde můžeme také koupit obvod MHB4066, který zatím u nás není k sehnání. Pokud budeme chtít využít veškerých trikových možností, použijeme jako  $P_1$  až  $P_3$  potenciometry. Přívody k nim musí být stíněným vodičem.

K oživení potřebujeme zdroj videosignálu se zkoušeným obrázem. Postačí k tomu i videorekordér, na který jsme si zkoušený obraz zaznamenali. Přepínač  $P_1$  přepneme do polohy 2 – inverze,  $P_2$  do polohy 1,  $P_1$  a  $P_3$  nastavíme tak, aby barvy na obrazovce byly syté při vhodném kontrastu. Potom přepneme  $P_2$  do polohy 2 a musí být možné měnit plynule potenciometrem  $P_2$  barvy od normálních (dolní doraz) do inverzního obrazu.

### Triky

Zařízení má ještě další možnosti použití. Chceme-li, aby polovina obrazu byla normální a polovina invertovaná, zapojíme do série k rezistoru  $R_{10}$  odporový trimr. Překlápcí čas se tedy nechá prodloužit tak, že na inverzi se přístroj přepne někde uprostřed obrazového rádku. Prodloužíme-li tento čas ještě více, přístroj se přepne až při následující rádce. Tedy jedna rádka bude normální, jedna inverzní. Při extrémním prodloužení lze dosáhnout toho, že popsaný jev je jen na části obrazu. Pro tyto možnosti volíme potenciometr  $P_2 = 100 \text{ k}\Omega$ .

Celé zařízení je na rozdíl od komerčních velmi levné. Můžeme tedy klidně zhotovit dva a několik kusů a zařadit je do série. Tím vznikne velké množství možností různých triků, které nelze ani probudit. Např. zařadíme-li dva invertory za sebe, druhým invertujeme barvu, ale prvním nikoli, obdržíme obraz, u něhož souhlasí černá–bílá, ale barvy jsou inverzní. Druhá možnost spočívá v tom, že první inverter je nastaven tak, že část obrazu je normální. U druhé části obrazu uprostřed je invertovaná černá–bílá. Druhý inverter invertuje černou–bílou zase zpátky na normál a invertuje barvu. Celý obraz je potom rozdělen na tři části – normální, invertující černou–bílou, invertující barvu. K tomu ovšem musí být na obou invertorech přidány potenciometry  $100 \text{ k}\Omega$ .



Obr. 80. Současné připojení videorekordéru a monitoru

Pokud chceme na výstup invertoru kromě videorekordéru zapojit současně monitor, upravíme výstupní obvody podle obr. 80.

Elektron 10/1984

Jako operační zesilovače  $IO_1$  až  $IO_4$  můžeme použít typy MAC156 nebo MAB356. Vhodnejší je však použít čtyřnásobný OZ z NDR, B084 (ekvivalent TL084), který se v poslední době prodává v prodejnách TESLA.

Směšovací zařízení lze napájet např. ze dvou devítivoltových baterií, případně z jednoduchého síťového zdroje  $\pm 9 \text{ V}$ .

### TV modulátor

Velká většina u nás prodávaných televizorů nemá vstup video, nýbrž pouze vstupy VHF a UHF. Pokud chceme k takovému TV připojit videorekordér bez tunerové části nebo doma zhotovený počítač, musíme si zhotovit ještě modulátor VHF-UHF. TV modulátor je vlastně malý televizní vysílač. Zpravidla se jednoduchým oscilátorem získá signál nosného kmitočtu někde v rozsahu VHF nebo UHF. Signál nosného kmitočtu je amplitudově modulován videosignálem a současně kabelem veden do TV přijímače. Pak stačí naladit televizor na kmitočet nosné.

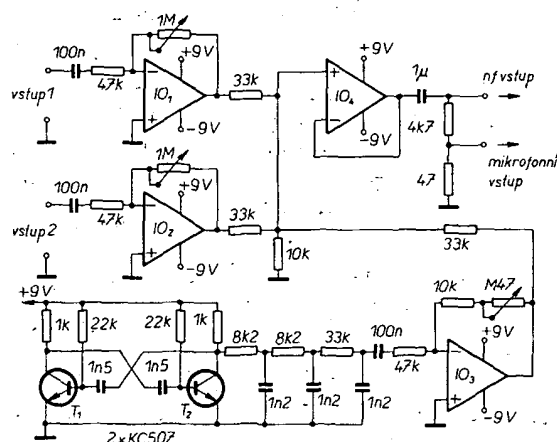
### Zapojení

Tak jednoduchá celá věc ovšem zase není, protože na minivysílač je kladěna celá řada požadavků. Kmitočet musí být velice stabilní, rovněž na kvalitu obrazu musí být při návrhu pamatováno. Stabilitu lze zajistit krystalem. Kvality obrazu dosahujeme asi jako na běžném televizoru, to znamená, že 80 znaků na řádku je dobré čitelných, samozřejmě ne však v kvalitě monitoru.

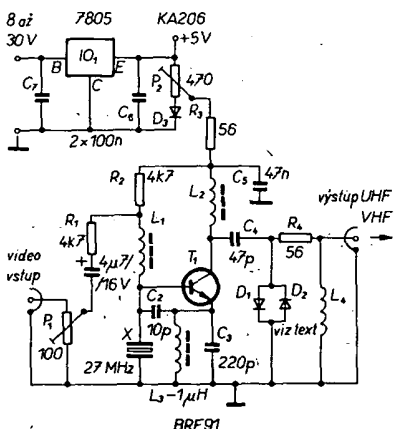
Nebolo by dobré, kdyby přístroj dodával pouze jeden, i když „krystalově stabilní“ signál, protože použijeme-li starší televizor, může být na některém kmitočtu (kanálu) jakost obrazu horší či lepší. Mimo to lze signál nosný na několika kmitočtech při ladění snáze najít. Proto je za oscilátorem  $27 \text{ MHz}$  zařazen generátor harmonických. Tím se výstupní signál oscilátoru mění ve spektrum, které mimo základní kmitočet obsahuje množství signálů jeho celistvých násobků. Při měření tyto signály zjistíme až do  $1800 \text{ MHz}$ . Kmitočtové spektrum zaručuje, že minimálně jeden signál najdeme v pásmu I, minimálně jeden v pásmu III a nespočet v pásmu IV/V.

Zatím jsme mluvili o základním kmitočtu  $27 \text{ MHz}$ , protože krystal  $27 \text{ MHz}$  je dobrý a levný. Použit však můžeme jakýkoli krystal v rozsahu  $25$  až  $30 \text{ MHz}$ .

Zapojení modulátoru je na obr. 82. Oscilátor je vytvořen z tranzistoru  $T_1$  (BFR91, výrobce např. Siemens). Signál oscilátoru je amplitudově modulován vý-



Obr. 81. Mixážní zařízení pro videorekordéry



Obr. 82. Televizní modulátor

deosignálem v bázi  $T_1$ . Více se nedá o oscilátoru uvést. Snad jen to, že součástky kolem  $T_1$  musí být v úzkých tolerancích a kvalitní. To ale platí ve v technice všeobecně.

Generátor harmonických je tvořen dvěma Schottkyho diodami  $D_1$  a  $D_2$ . Protože musí velice rychle spínat (v rytu 27 MHz), postaráj se o harmonické až do oblasti gigahertzů.

Odporným trimrem  $P_1$  můžeme nastavit hlobukou modulace, zatím co  $P_2$  nastavuje ss režim oscilátoru. Nastavováním obou odporových trimrů můžeme nastavit jak pozitivní, tak negativní modulaci, jak bude vysvětleno později.

Jako napájecí napětí můžeme použít nestabilizovaný zdroj napětí 8 až 30 V, popř. stabilizované napětí 5 V (například z počítače). V tom případě odpadá přízeně  $IO_1$  a  $C_7$ .

#### Stavba

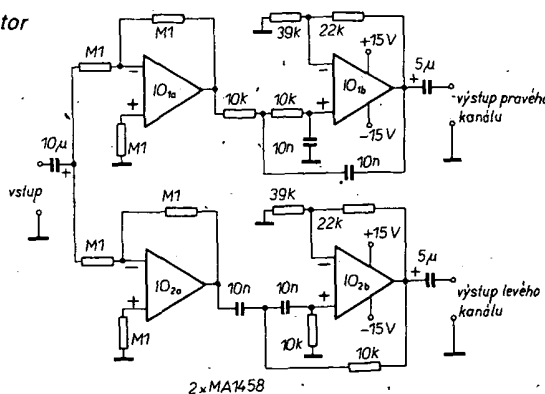
Desku s plošnými spoji můžeme zhotovit jako jednostrannou, oboustranná deska není pro stabilitu podmínkou. Cívky  $L_1$  a  $L_2$  mají 3,5 závitu drátu Ø 0,2 mm CuL na feritovém toroidu 3,5 × 3,5 mm.  $L_3$  je na feritovém jádře a má mítl indukčnost 1  $\mu$ H.  $L_4$  tvoří jeden závit drátu o Ø 0,8 až 1 mm CuL na trnu o průměru 8 mm. Krystal je nejlevnější a nejdostupnější použít z mozdlařských souprav RC (27 MHz). Jako UHF Schottkyho diody můžeme použít např. typy: BA280, HSCH1001, 1N6263, BA481 atd. U nás podobné typy, zatím k dispozici nejsou.

#### Nastavení

Nastavení TV modulátoru vyžaduje jistý cit. Jednoduchý recept, jak všechny trimry nastavíme do střední polohy, zde neplatí, protože při nastavování velmi záleží na tom, kterou harmonickou naladíme. Nejlépe, když budete postupovat takto:

1. Jas a kontrast na televizoru nastavíme na maximum.
2. Na vstup videomodulátoru připojíme zdroj zkušebního obrazce (monoskop, videorekordér se záznamem monoskopu nebo zkušební obrazec z počítače) a výstup připojíme souosým kabelem 75  $\Omega$  na vstup televizního přijímače.
3.  $P_2$  nastavíme do střední polohy a  $P_1$  na nulový odpor.
4. Přijímač naladíme na některou harmoniku – nejlépe v pásmu VHF (2. až 12. kanál). Naladění poznáme podle toho, že z obrazovky zmizí „sníh“, popř. obraz ztmavne.

Obr. 83. Stereofonní simulátor



5. Nyní otáčíme  $P_1$ , až je vidět obraz.
6. Potom trimrem  $P_2$  nastavíme kvalitu signálu. Není-li výsledek uspokojivý, dodládíme  $P_1$  a potom opět  $P_2$ .
7. Nepodaří-li se dostat dobrý obraz, přeladíme televizor na nejbližší harmonickou a nastavování opakujeme.

Při použití videorekordéru jako zdroje zkušebního signálu musíme mít na paměti, že šířka pásmá je u téhoto přístrojů mnohem menší než šířka TV signálu. Kvalita obrazu je tedy horší než originální televizní obraz a zlepšit dodávaný signál modulátor neumi.

Elektor 1/85

#### Stereofonní simulátor

Toto jednoduché zařízení vytváří z monofonního signálu dva signály. Stereofonní efekt vytváří kmitočtovým rozlišením kanálů. Zařízení je na obr. 83.  $IO_{1a}$  a  $IO_{2a}$  jsou oddělovací zesilovače. Za nimi následují  $IO_{1b}$  a  $IO_{2b}$ , které jsou zapojeny jako pásmové propusti se strmostí 12 dB/okt.  $IO_{1b}$  pracuje jako dolní propust,  $IO_{2b}$  jako horní propust. Dělicí kmitočet je 2 kHz. Odběr zařízení je asi 3 mA. K napájení lze použít libovolný symetrický zdroj napětí  $\pm 10$  až  $\pm 15$  V, stabilizovaného Zenerovými diodami. Jako operační zesilovače je použit dvojitý operační zesilovač MA1458. Původní zapojení používalo čtyřnásobný OZ LM348. Jinak lze použít např. MAA748, MAC155, MAC157 atd.

Electronics today 9/77

#### Elektronická výhybka se strmostí 24 dB/okt pro aktivní reprodukторové soustavy

V poslední době se v oblasti techniky hi-fi prosazují aktivní reproducitorové soustavy. Jejich výhody nespočívají jen v úspore místa pro výkonový zesilovač, který je vestavěn přímo v „bednách“, ale

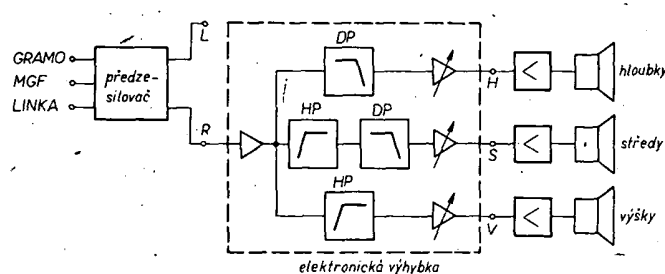
také v tom, že reproduktory jsou buzeny signály ostře ohrazených kmitočtových pásem, takže se do nich nedostanou nevhodné kmitočty, na které nejsou konstruovány. Také lze dobře regulovat úroveň vybuzení jednotlivých reproduktorů, a tím i poměr výkonů v jednotlivých kmitočtových pásmech.

Nevýhodou aktivních reproduktoriček je především jejich cena a složitost. Proto jsou určeny pro náročné posluchače.

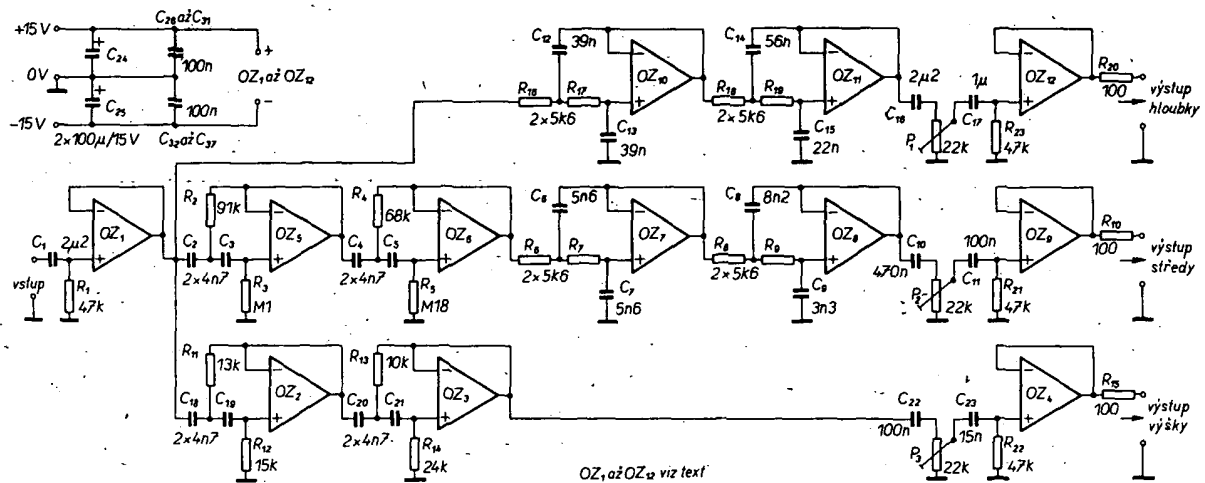
Na obr. 84 je blokové schéma aktivního reproduktoriček soustavy. Je to třípásmová soustava. Každý reproduktor má svůj výkonový zesilovač. Konstrukce výkonových zesilovačů neuvádí, protože se jedná o běžné libovolné typy koncových stupňů (např. Transiwatt, Texan, Sinclair atd.), které byly již mnohokrát v AR uveřejněny.

Výškový zesilovač je napájen přes horní propust. Středový zesilovač je napájen z kombinace horní a dolní propusti a hloubkový zesilovač je napájen z dolní propusti. Na výstupu každé propusti je zařazen regulátor zesílení. Všechny jejich vstupy jsou spojeny do jednoho bodu a jsou přes oddělovací zesilovač napájeny signálem z předzesilovače. Propusti bývají nejčastěji Besselova typu. Strmost použitých propustí byla volena 24 dB/okt. V tom také spočívá její výhoda oproti dříve uveřejněovaným, které měly většinou 12 dB/okt., maximálně 18 dB/okt.

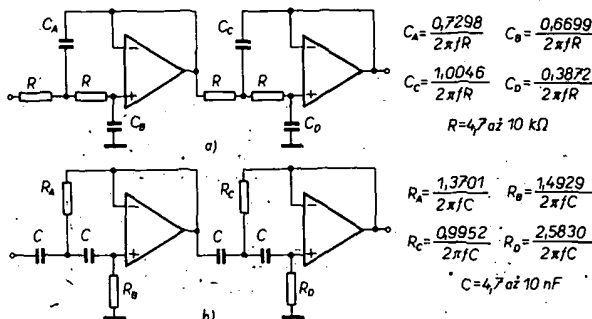
Schéma výhybky je na obr. 85. Dělicí kmitočty můžeme zvolit podle potřeby podle vzorců na obr. 86. V našem případě jsme volili 500 Hz a 3500 Hz. Celé zapojení je realizováno z operačních zesilovačů. Nejlépe je použít OZ NE5534 (TDA-1034) s malým šumem nebo ještě lépe dva v jednom pouzdře, NE5532. Tyto obvody se však u nás nevyrobají. Proto můžeme s poněkud horšími šumovými parametry použít „fetové“ operační zesilovače MAC155 (MAB355) nebo MAC156 (MAB356). Také by bylo možné použít ekvivalenty „fetových“ operačních zesilovačů TL071, které se vyrábějí v NDR.



Obr. 84. Blokové schéma aktivní reproducitorové soustavy



Obr. 85. Elektronická výhybka



Kondenzátory používáme pokud možno svítkové, odpory metalizované s tolerancí 5 %. Hodnoty součástek získaných výpočtem zaokrouhlíme na nejbližší hodnotu v řadě E24, nebo sestavíme jako paralelní, či sériovou kombinaci.

*Elektor 9/84*

### Zesilovače PDM

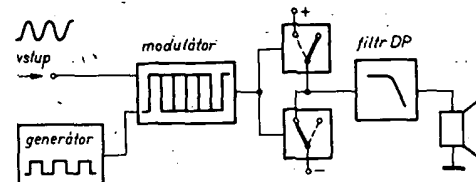
Rovněž v nízkofrekvenční oblasti pracuje digitalizace přenosových systémů. Začínají se uplatňovat „digitální“ koncové zesilovače. Zvláště pozornost zasluhuje zesilovače pracující na principu pulsní délkové modulace, které jsou označovány jako PDM nebo zesilovače třídy D. Nezávisle na označení jde o stejný princip. Analogový nf signál je proměněn v pravoúhlý, přičemž informace je obsažena v proměnlivé délce impulsu.

Na obr. 87 je blokové schéma, které je společné takřka všem zesilovačům PDM. Symetrický pravoúhlý signál je širokově modulován nf signálem. Výsledný signál bude koncový stupeň zesilovače, který odevzdává požadovaný výkon. Koncový stupeň nepracuje jako obvyklé s analogovými prvky, které více či méně vedou v závislosti na budicím signálu, ale s elektronickými spínači. Protože ty mají (teoreticky) pouze dva stavů, nemůže mít takový zesilovač teoreticky žádný ztrátový výkon ve formě tepla. V praxi je účinnost zesilovačů PDM větší než zesilovačů analogových. Další přednosti jsou malé nároky na linearity koncového stupně (připomeňme si obávané přechodové zkreslení) ve srovnání s analogovými ekvivalenty. Problematické je odfiltrování vysokofrekvenčního přepínacího kmitočtu. Kdybychom ne-

používali filtr, stal by se z nf zesilovače i silný relativně širokopásmový vf zesilovač.

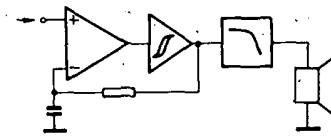
Zesilovač PDM je možné realizovat různými metodami. Většina z nich je však v pokusném stadiu, přestože firmy již tyto zesilovače vyrábějí. Mezi tyto metody patří i princip kmitajícího zesilovače, který bude dále popsán. Vzniká spojením generátoru pravoúhlého signálu širokového modulátoru a koncového stupně v jednu funkční jednotku, kterou je možno označit jako „širokově modulovaný výkon“. Je nutno dodat, že tato verze zesilovače PDM může být realizována značně jednodušeji než ostatní.

V popsaný zesilovač má výkon 10 W při zárate 4 Ω a je vhodný pro použití například do auta. Jeho blokové zapojení je na obr. 80. Operační zesilovač řídí Schmittův klopný obvod, jehož výstup je porovnáván



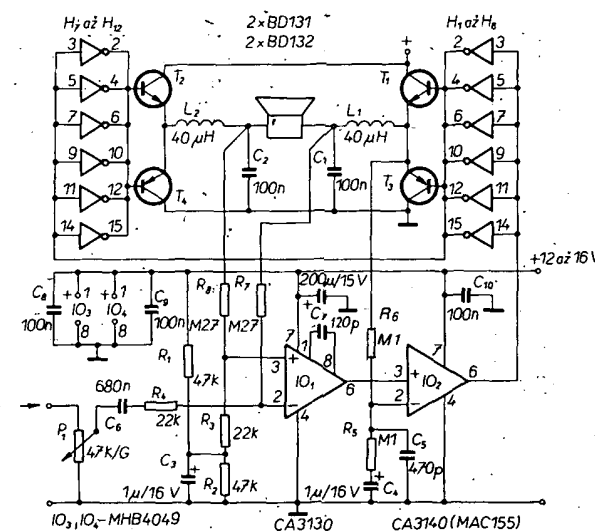
Obr. 87. Obecné blokové schéma zesilovače PDM

Obr. 86. Vztahy pro výpočet propustí: a) dolní, b) horní propust

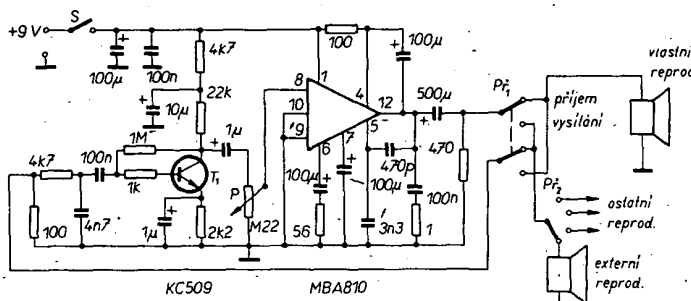


Obr. 88. Blokové schéma zesilovače PDM do auta

se vstupním signálem. Systém se samochinně nastavuje tak, aby na obou OZ bylo stejně napětí. To je však možné jen tehdy, mění-li se šířka impulsů. Nerůží-li to možné, systém se přizpůsobuje snižováním kmitočtu kmitání. Na obr. 89 je vpravo řídící polovina můstku tvořena IO<sub>2</sub>, H<sub>1</sub> až H<sub>6</sub>, T<sub>1</sub> a T<sub>3</sub>. Druhou polovinu tvoří H<sub>7</sub> až H<sub>12</sub>, které dělají řídící protifázový signál pro T<sub>2</sub> a T<sub>4</sub>. Nevýhodou tohoto uspořádání je to, že „protifázový podíl“ není v záporné zpětné



Obr. 89. Zapojení zesilovače PDM do auta



Obr. 90. Hlasitý domácí telefon

vazbě, ale v kladné vazbě. Mimoto nastává přechodové zkreslení, protože spínací rychlosť není nekončená. Přesto jsou vlastnosti zapojení natolik dobré, že signál v obou zesilovačích jsou zavedeny na vstupy IO, jako zpětná vazba.

Vlastnostmi se tento zesilovač vyrovná svému většemu analogovému protějšku. Výstupní výkon je závislý na použitých tranzistorech. Pár BD131/BD132 dává výstupní výkon 10 W při zkreslení 0,3 %, maximálně 12 W při zkreslení 10 %. U tranzistorů nezáleží pouze na výkonu, ale také na spínacích vlastnostech.

Pořež tento zesilovač byl určen pro provoz v automobilu, platí všechny údaje pro napájení 13,8 V. Vstupní signál je minimálně 800 mV. K filtraci napájecího napětí je použita cívka 1 mH a kondenzátor 2200  $\mu$ F/25 V.

Celý zesilovač se vejde na destičku 90 x 60 mm. Tranzistory T<sub>1</sub>, a T<sub>2</sub>, T<sub>3</sub> a T<sub>4</sub> můžeme dát na společný chladič. Cívky L<sub>1</sub> a L<sub>2</sub> musí mít indukčnost 40  $\mu$ H a jmenovitý proud 3 A. Cívky lze navinout na feritový toroid o průměru 25 mm.

*Elektor 9/79, 7-8/83*

### Hlasitý domácí telefon

Zapojení podle obr. 90 můžeme použít především jako hlasitého vrátného, ale také pro spojení v rozlehlých budovách a komunikovat s lidmi na různých místech. Pro signalizaci však musíme použít zvonkový systém.

Rídící středisko je centrálovou, má po ruce přepínač příjem-vysílání, ostatní stanice v místech s reproduktory (slouží také jako mikrofony) jsou jen pasivní (lze do nich hovořit pouze po jejich připojení centrálovou). Je-li přepínač P<sub>1</sub> v poloze příjem, je připojen na výstup zesilovače vlastní reproduktor a hovor z externího reproduktoru jde na výstup zesilovače. Přepínač P<sub>1</sub> v poloze vysílání připojí vlastní reproduktor na výstup zesilovače a externí na výstup zesilovače, kde bude slyšet nás hlas. Přepínač P<sub>2</sub> umožňuje volit místo, se kterým chceme mluvit.

Použité zapojení má velké zesílení. Tranzistor T<sub>1</sub> pracuje jako předzesilovač

s uzemněným emitorem. Člen RC na vstupu omezuje šířku pásmu, ale k přenášení hovoru šířka pásmu bohatě postačuje. Šířku pásmu můžeme měnit změnou kapacit kondenzátorů 470 pF a 3,3 nF (je třeba měnit i v tom případě, kdy by měl zesilovač sklon k rozkmitávání; obvyklý Boucherotův člen (100 nF, 1  $\Omega$ ) slouží k podobnému účelu). Zesílení můžeme měnit změnou odporu rezistoru 56  $\Omega$  (jeho zvětšením se zesílení zmenší a obráceně), změnou zesílení se mění i stabilita a kmitočtové pásmo. Integrovaný zesilovač není výkonově plně využit, v zapojení na obr. 90 získáme na reproduktoru 4  $\Omega$  při napájení 9 V výkon až 1,5 W, to je však více než dostatečné. Potenciometrem P můžeme změnit hlasitost. Reproduktory mohou mít impedanci 4 až 16  $\Omega$ . Vedení k externímu reproduktoru by měla být stíněná. K napájení postačí dvě ploché baterie – pokud zařízení nebude stále v provozu. Jinak bude třeba napájet zařízení z malého síťového zdroje 9 V.

*Rádiotechnika 1/1983*

### Doplňky pro motorová vozidla

#### Otáčkoměr pro „diesel“

Otáčkoměrů pro benzinové motory již bylo uveřejněno i na stránkách AR ve velmi mnoho, ale dosud nebyl zveřejněn popis otáčkoměru pro dieselovy motory. Zapojení podle obr. 91 chce vyplnit tuto mezeru.

U otáčkoměrů pro benzinové motory získáváme řídící impulsy z přerušovače, u dieselových motorů přerušovače nejsou. Signál, který byl úmerný rychlosti otáčení motoru, můžeme získat jedině z alternátora. Vycházíme proto z toho, že rychlosť otáčení trifázového alternátora je lineárně závislá na rychlosťi otáčení motoru – když nebereme v úvahu skluz klínového řemenu, který je většinou zádatelný. Signál odebíráme z některé z cívek statoru alternátora (obr. 91a – body A, B nebo C), kde můžeme naměřit

kladné půlvlny asi 15 V. Kmitočet signálu se pohybuje podle rychlosťi otáčení v mezech asi 100 Hz až 1 kHz a je ovlivněn převodem mezi motorem a alternátorem.

Získané krátké půlvlny na vstupu otáčkoměru se po filtrace, omezení a formování přivádějí na invertující vstup operačního zesilovače. Dioda D<sub>2</sub> ořezává záporné půlvlny a omezuje kladné asi na 12 V. Operační zesilovač pracuje jako komparátor s velkým zesílením a kladnou zpětnou vazbou jako spínač. Na jeho výstupu bude signál pravoúhlého průběhu o velikosti plného napájecího napětí, jehož kmitočet bude odpovídat rychlosťi otáčení motoru. Tento signál diferencujeme (C<sub>3</sub>, R<sub>8</sub>), omezujeme (D<sub>3</sub>) a tím získáme záporný impuls, kterým spustíme IO<sub>2</sub>, který pracuje v režimu spouštěného monostabilního multivibrátoru. Na výstupu časovače dostaneme pravoúhlé impulsy s konstantní šířkou a s amplitudou napájecího napětí, jejichž kmitočet bude úmerný rychlosťi otáčení motoru. Šířku impulsu určují P<sub>1</sub>, R<sub>9</sub> a C<sub>4</sub>. Z toho vyplyná, že střední usměrněné výstupní napětí IO<sub>2</sub> bude lineárně závislé na rychlosťi otáčení motoru, tedy na četnosti spouštěcích impulsů. Střední hodnotu výstupního signálu integruje člen R<sub>11</sub>, C<sub>6</sub> po omezení R<sub>10</sub>, D<sub>4</sub>. Na kondenzátoru C<sub>6</sub> bude stejněměrné napětí, úmerné rychlosťi otáčení motoru, které měříme ručkovým měřidlem. Stupnice můžeme kalibrovat odpovídajícím trimrem P<sub>1</sub> známou metodou (se signálním generátorem). Celkové zapojení otáčkoměru je na obr. 91b.

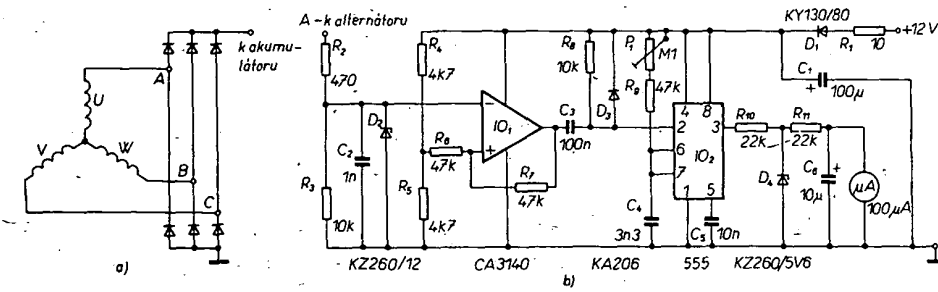
Otáčkoměr lze vylepšit již jinde popsaným zapojením pro digitální indikaci.

*Ročenka Rádiotechnika 1986*

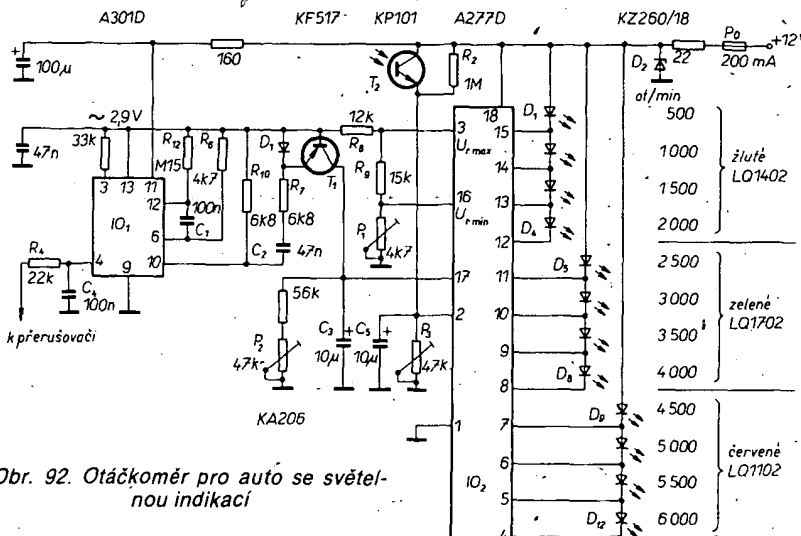
#### Otáčkoměr pro auto se světelníou indikací

Na obr. 92 je otáčkoměr, který má světelníou indikaci ze svítivých diod k měření rychlosťi otáčení motoru. Na vstupní obvod byl použit známý prvek z NDR – A301D, který je zde jako monostabilní multivibrátor. Protože má vnitřní stabilizaci napětí, máme zaručenou stálou amplitudu výstupních impulsů.

Rídící signál odebíráme z přerušovače, výstupní signál z monostabilního multivibrátoru – vývod 10 – má konstantní amplitudu. Stabilizované napětí IO<sub>1</sub> je zároveň referenčním napětím pro IO<sub>2</sub>, pomocí děliče R<sub>8</sub>, R<sub>9</sub>, P<sub>1</sub> nastavíme napětí U<sub>r, max</sub> a U<sub>r, min</sub> na IO<sub>2</sub>. Tato napětí odpovídají rozsvícení D<sub>1</sub> a D<sub>12</sub> – tím je nastavena celá stupnice s D<sub>1</sub> až D<sub>12</sub>. Výstupní impulsy monostabilního multivibrátoru řídí emitor tranzistoru T<sub>1</sub>, tranzistor během trvání impulsu vede. V této době se náboj kondenzátoru C<sub>2</sub> prevede do kondenzátoru C<sub>3</sub>, napětí na něm bude úmerné rychlosťi otáčení motoru. Napětí na kondenzátoru C<sub>3</sub> je řídícím napětím na vstupu IO<sub>2</sub>.



Obr. 91. Otáčkoměr pro dieselovy motory



Obr. 92. Otáčkomér pro auto se světelnou indikací

Otačkomér se cejchuje trimry P<sub>1</sub> a P<sub>2</sub>. Jednotlivé svítivé diody indikují rychlosť otáčení po pěti stech otáčkách, D<sub>1</sub> indikuje 500, D<sub>12</sub> pak 6000 ot/min.

Fototranzistorem T<sub>2</sub> se automaticky reguluje jas svítivých diod podle okolního osvětlení, pro nastavení slouží P<sub>3</sub>. Fototranzistor umístíme tak, aby byl osvětlen okolím, na kterém závisí viditelnost rozsvícení diod LED.

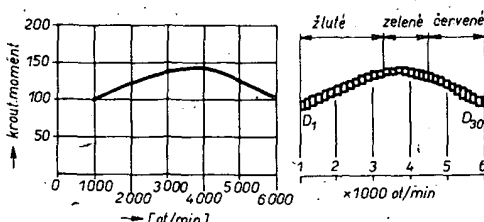
Otačkomér cejchujeme přesným generátorem a pravouhlými impulzy.

Ročenka Rádiotechnika 1985

### Otačkomér do auta s indikací krouticího momentu

Otačkomery dávají jen jedinou informaci: rychlosť otáčení motoru v otáčkách za minutu. Důležitou veličinou je však i krouticí moment, protože motor pracuje optimálně jen v určitém rozsahu rychlosťi otáčení a v tomto rozsahu má i optimální krouticí moment. V tomto rozsahu je jízda nejekonomičtější s nejmenší spotřebou.

Každý typ vozu má svůj graf, v němž je uvedena křivka závislosti krouticího momentu na rychlosťi otáčení motoru. Kupř. na obr. 93 je křivka, podle které má motor maximální krouticí moment při 4000 otáčkách za minutu. Optimální pro tento motor bude tedy rychlosť otáčení od 3300 do 4500 otáček za minutu. Abychom to viděli i názorně a nemuseli stále odvozovat od rychlosťi otáčení motoru, uspořádáme svítivé diody v počtu třícti (různobarevné, pokud možno hranaté) do křivky grafu krouticího momentu a při jízdě můžeme sledovat nás způsob jízdy jako na osciloskopu: v rozsahu malých rychlosťí otáčení budou svítit diody žluté, při optimální rychlosťi zelené a při velkých rychlosťech červené. Tak jediným pohledem zjistíme



Obr. 93. Křivka krouticího momentu a indikace diodami LED

intenzitu jasu svítivých diod podle okolního osvětlení. Jednoduchý stabilizátor napětí slouží k napájení IO<sub>4</sub>, místo IO<sub>3</sub> postačuje i Zenerova dioda.

K nastavení potřebujeme generátor – nejlépe pravouhlého signálu, příp. čítač. Přepočteme „otáčky“ na kmitočet:

$$f [\text{Hz}] = uPB,$$

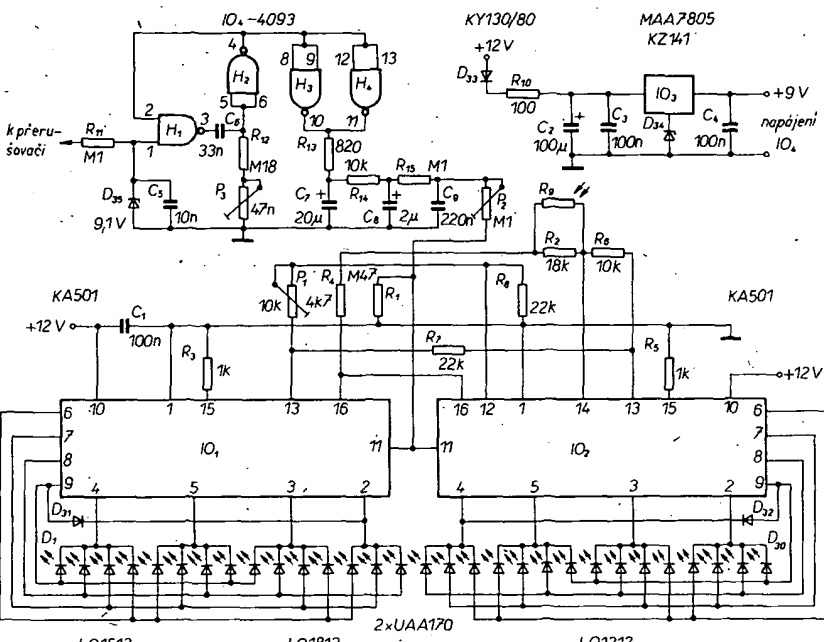
kde  $u$  je počet otáček za minutu,  $P$  počet válců a  $B$  počet zapálení směsi ve válcích během 1 ot/min, pro čtyřdobý motor je to 0,5.

Kupř. pro čtyřdobý motor, čtyři válce:

$$f = 2000/60 \cdot 4 \cdot 0,5 = 66,67 \text{ Hz},$$

6000 otáček:  $f = 6000/60 \cdot 4 \cdot 0,5 = 200 \text{ Hz}$ . Generátor nastavíme asi na 130 Hz, P<sub>1</sub> až P<sub>3</sub> jsou ve střední poloze. Otáčíme P<sub>3</sub>, aby se ve středu stupnice rozsvítla jedna dioda. Potom pomocí P<sub>1</sub> dosáhneme, že se při malé změně kmitočtu rozsvítí D<sub>15</sub> a zhasne D<sub>16</sub> a obráceně. Nastavíme-li P<sub>1</sub> přesně, potom při kmitočtu 66 Hz se má rozsvítit D<sub>1</sub> a při 200 Hz D<sub>30</sub>. Při zvyšování kmitočtu od 66 Hz se mají jednotlivé diody postupně rozsvěcovat, svítit má vždy jen jedna dioda.

Elektron 4/1985



Obr. 94. Zapojení otáčkoměru s indikací krouticího momentu

sobný klopný obvod v provedení CMOS (4093) a UAA170 také nemůžeme plně nahradit obvodem A277. Problém bude i sehnání třícti různobarevných svítivých diod, i když se u nás vyrábějí.

Zapojení přístroje je na obr. 94. Impulsy z píeraušovače vedeme na měnič, který z nich podle jejich četnosti vytvoří určité stejnosměrné napětí. Čím jsou impulsy četnější, tím bude stejnosměrné napětí větší. Tímto napětím se pak řídí rozsvěcování svítivých diod.

R<sub>11</sub>, D<sub>35</sub> a C<sub>5</sub> připravují impulsy z přerušovače ke vstupu hradla H<sub>1</sub>, které s H<sub>2</sub>, C<sub>6</sub>, R<sub>12</sub> a P<sub>3</sub> tvoří monostabilní klopný obvod, z jehož výstupu se přes H<sub>3</sub> a H<sub>4</sub> dostává signál na integrátor R<sub>13</sub> až R<sub>15</sub>, C<sub>7</sub> až C<sub>9</sub>, kde se objeví stejnosměrné napětí, jehož velikost je úměrná počtu impulsů, tedy rychlosťi otáčení motoru. Trimrem P<sub>2</sub> řídíme napětí potřebné k postupnému rozsvěcování svítivých diod. Dva obvody UAA170 jsou spojeny v kaskádě a postupně rozsvěcují LED podle napětí, které přivádime na jejich vstupy. Trimrem P<sub>1</sub> vyrovnáme rozdíly mezi IO<sub>1</sub> a IO<sub>2</sub>. R<sub>9</sub> je fotorezistor libovolného typu, který řídí

### INZERCE

Inzerci přijímá osobně a poštou Vydatelství Naše vojsko, inzerční oddělení (inzerce AR), Vladislavova 26, 113 66 Praha 1, tel. 26 06 51–9, linka 294. Uzávěrka tohoto čísla byla dne 13. 6. 1986, do kdyžme museli obdržet úhradu za inzerát. Neopomeňte uvést prodejní cenu, jinak inzerát neuveřejníme. Text inzerátu pište čitelně, aby se předešlo chybám vznikajícím z nečitelnosti předlohy.

### PRODEJ

RLC můstek (480), různé přístroj. skřínky a 80). Jiří Forejt, Nad úpadem 439, 149 00 Praha 4.